

## V TOMTO SEŠITĚ

Náš interview . . . . .	441
Setkání radioamatérů VKV . . . . .	442
Cestou osvobození . . . . .	442
R15 - Na co vysílaj A. S. Popov . . . . .	444
Jak na to . . . . .	447
Malý přehled LED . . . . .	449
Stabilizátor napětí se spojitu regulaci . . . . .	452
Integrované stabilizované zdroje . . . . .	453
Univerzální intervalový spínač stírače . . . . .	454
Zjednodušené početní řešení lineárních tranzistorových útváru . . . . .	456
Měnič pro záblesková zařízení . . . . .	458
Feritová anténa pro dva rozsahy . . . . .	465
Zajímavá zapojení ze zahraničí . . . . .	467
Geometrie okolo družice Oscar 7 . . . . .	469
Tranzistorový transceiver TRAMP 160 . . . . .	472
Automatický klíčovač vysílače lišky . . . . .	474
Soutěže a závody . . . . .	475
DX . . . . .	475
KV . . . . .	475
VKV . . . . .	475
Naše předpověď . . . . .	477
Amatérská televize - SSTV . . . . .	478
Nezapomeňte, že . . . . .	479
Přečteme si . . . . .	479
Četli jsme . . . . .	479
Inzerce . . . . .	479
Na str. 459 až 462 je obsah ročníku 1975 a seznam vyráběných desek s plošnými spoji k návodům v tomto ročníku obsaženým.	

## AMATÉRSKÉ RADIO

Vydává ÚV Svazarmu ve vydavatelství MAGNET, Vladislavova 26, PSC 113 66 Praha 1, telefon 260651-7. Šéfredaktor ing. František Smolík, zástupce Luboš Kalousek. Redakční rada: K. Bartoš, V. Brzák, K. Donát, A. Glanc, I. Harminc, L. Hlinšký, ing. L. Hloušek, A. Hofhans, Z. Hradík, ing. J. T. Hyanc, ing. J. Jaros, ing. F. Králík, ing. J. Navrátil, K. Novák, ing. O. Petrátek, L. Tichý, ing. J. Vacák, CSc., laureát st. ceny KG, ing. J. Zimá, J. Ženíšek, laureát st. ceny KG. Redakce Jungmannova 24, PSC 113 66, Praha 1, tel. 260651-7, ing. Smolík linka 354, redaktor Kalousek, ing. Engel, l. 353, ing. Myslk l. 348, sekretářka l. 355. Ročně vyjde 12 čísel. Cena výtisku 5 Kčs, poletní předplatné 30 Kčs. Rozšířuje PNS, v jednotkách ozbrojených sil vydavatelství MAGNET, administrace Vladislavova 26, Praha 1. Objednávky přijímá každá pošta i doručovatel. Dohledací pošta Praha 07. Objednávky do zahraničí vyřizuje PNS, vývoz tisku, Jindřišská 14, Praha 1. Tiskne Polygrafia 1, n. p., Praha. Inzerci přijímá vydavatelství MAGNET, linka 294. Za původnost a správnost přispěvků ručí autor. Návštěvy v redakci a telefonické dotazy pouze po 14. hod. Č. indexu 46028

Toto číslo výšlo 10. prosince 1975  
© Vydavatelství MAGNET, Praha

# náš interview

s ing. Z. Proškem, pracovníkem odboru radiokomunikací Federálního ministerstva spojů, o povolování amatérských vysílacích stanic.

V říjnu to byl rok, co Federální ministerstvo spojů převzalo od Federálního ministerstva vnitra agendu povolování a kontroly provozu amatérských vysílacích radiových stanic. Jak je celá agenda organizována a jaké jsou s ní dosavadní zkušenosti?

Agendu povolování a kontroly amatérských vysílacích radiových stanic jsme převzali od FMV dne 3. 10. 1975 společnou vyhláškou FMS a FMV č. 92/1974 Sb. Zůstaly přitom v platnosti původní povolovací listiny po dobu, v nich uvedenou. Povolovací podmínky se změní jenom nepatrně v některých organizačních otázkách a v názvech povolujícího orgánu.

V ČSSR existují nyní tři povolující orgány. Pro ČSR je to Správa radiokomunikací Praha, výkonným orgánem je Inspektorát radiokomunikací, oddělení povolování a evidence radiostanic (PER). Odpovědným referentem je V. Tomš, adresa Rumunská 12, 120 00 Praha 2, telefon 290 500. Pro SSR je povolujícím orgánem Správa radiokomunikací Bratislava, výkonným orgánem rovněž oddělení PER Inspektorátu radiokomunikací, odpovědný referent s. Szerelmy, adresa Trnavská 82, 829 00 Bratislava, telefon 27297. Třetím povolujícím orgánem je odbor radiokomunikací Federálního ministerstva spojů, který vydává povolení pro cizí státní příslušníky a řeší zvláštní případy.

Prezoufání žadatelů a vydání vyvědění o vykonaných zkouškách zajišťují národní radiokluby Svazarmu ČSR a SSR. K tomu účelu jsou sestaveny zkušební komise národních radio klubů, schválené FMS.

Předání agendy a její dosavadní vedení proběhlo zatím bez závažnějších problémů a potíží.

Jaký je tedy v současné době přesný a správný postup při podávání žádostí o povolení ke zřízení a provozu amatérské vysílači radiové stanice?

Zadatel vyplní na předepsaném formuláři (který obdrží na národním radioklubu nebo u povolovacího orgánu) žádost. Tu si nechá doporučit od ZO Svazarmu, Okresní rady radioamatérů a Okresního výboru Svazarmu. Dále vyplní příslušný jednostránkový dotazník a přiloží stručný obecný životopis. Na dotazník nalepí jednu svoji fotografií. To vše zašle povolujícímu orgánu výhradně prostřednictvím národního radioklubu Svazarmu (tj. bud ČRK, Vlnita 33, 147 00 Praha 4, nebo SRK, nám. Lud. Štúra 1, 801 00 Bratislava). V případě, že žadatel již dříve složil zkoušky před platnou komisi, přiloží k žádosti vyvědění o vykonaných zkouškách. Jinak je pozván ke složení zkoušek národním radioklubem. Před



Ing. Z. Prošek, OK1PG

vydáním povolení si vyžádá povolující orgán od žadatele správní poplatek ve výši 100 Kčs podle vyhlášky ministerstva financí č. 138/1971 Sb., o správních poplatcích. Tento poplatek se uhradí zasláním kolku.

Přes národní radiokluby se posilují dále žádosti o přerazení do vyšší třídy, povolení zvláštních druhů provozu apod. Přímo povolujícímu orgánu se posilují žádosti o evidenci změny stanoviště, adresy a o povolení vysílání z přechodného stanoviště. Podle již citované vyhlášky musí být všechny tyto žádosti opatřeny kolkem v hodnotě 5 Kčs.

Jakým způsobem kontroluj povolující orgány dodržování povolovacích podmínek držiteli povolení?

Kontrolu amatérských vysílacích radiových stanic lze rozdělit na kontrolu dodržování předepsaných technických parametrů zařízení, kontrolu správného vedení písemnosti a zabezpečení amatérské vysílaci stanice a kontrolu provozu amatérských stanic na amatérských pásmech. Kontrolu provádějí příslušné složky Inspektorátů radiokomunikací ČSR a SSR. Během uplynulého roku bylo zkонтrolováno již několik desítek radioamatérů přímo v místě jejich bydliště. Kontroluje se hlavně dodržování povoleného příkonu a vyzařování harmonických kmitočtů. Nejčastějším přestupkem v provozu na amatérských pásmech je nedodržování krajních kmitočtů přidělených kmitočtových pásem a vyzařování vysílaného signálu mimo amatérská pásmá, způsobené špatným technickým stavem zařízení.

FMS připravuje vydání nových povolovacích podmínek. K jakým závažnějším změnám v nich dojde?

Stávající povolovací podmínky byly převzaty od FMV v témtě původní době s tím, že vytvoření nových povolovacích podmínek je dlouhodobou záležitostí, mají-li opravdu postihnout současný stav vědeckotechnického rozvoje a společensko politické postavení radioamatérské činnosti.

Uvažujeme o zvýšení povoleného příkonu PA pro operátořskou třídu A a B, zavedení nové operátořské třídy D (zvláštní povolení pouze pro VKV s minimálními nároky na znalost telegrafie). Bude asi požadováno, aby každý výkonější vysílač měl výstup přizpůsobený na impedanci 50 až 75 Ω s možností

rychlého změření výkonu a vyzařování harmonických kmitočtů kontrolními orgány. Povolovací podmínky budou obsahovat i předpisy pro provoz RTTY a SSTV. Uvažuje se o zjednodušení vedení písemnosti amatérské vysílaci stanice. K některým změnám dojde i v organizaci provozu kolektivních stanic.

V souvislosti s vydáním nových povolovacích podmínek budou pravděpodobně vydány i nové povolovací listiny, jejichž uspořádání umožní samostatné používání dvojjazyčného osvědčení o vykonaných zkouškách (např. při cestě do zahraničí). V jednání jsou i otázky reciprocity s jinými státy v povolování amatérského vysílání.

Nové Povolovací podmínky vstoupí v platnost během roku 1976 a radioamatérů o nich budou včas informováni.

**V roce 1979 se bude konat Světová telematika konference, na které bude mimo jiné projednáváno znovurozdělení jednotlivých kmitočtových pásem pro různé služby. Co mohou od této konference očekávat radioamatéři?**

Se stále se zvětšujícím rozsahem komunikací přes družice, s rozvojem pochyblivých služeb, zejména radiotelefonních sítí, je již dnes nedostatek volných kmitočtů v oblasti VKV. Naopak se vzhledem k tomu částečně zmenšuje hustota provozu v některých pásmech KV vzhledem k přesunu uvedených služeb do oblasti VKV. FMS obdrželo od ÚRK ČSSR návrhy na úpravu stávajících rozsahů amatérských pásem a na vyčlenění některých dalších kmitočtových pásem KV pro amatérské vysílání. Tyto požadavky budou projednávány a řešeny souběžně s přípravami na zmíněnou Světovou správní konferenci. Z uvedeného vyplývá, že lze očekávat zúžení popř. i ztrátu některých pásem KV (zejména v oblasti decimetrových vln) a naopak nelze vyloučit zlepšení dosavadní situace v krátkovlnné oblasti.

**Co byste řekl našim radioamatérům na závěr našeho rozhovoru?**

Federální ministerstvo spojů má zájem ve smyslu usncsní XIV. sjezdu KSČ, zákona o branné výchově a usnesení o vědeckotechnickém rozvoji všeobecně podporovat radioamatérskou činnost a její rozvoj. Proto úzce spolupracujeme s Ustředním radioklubem Svazarmu ČSSR a společně řešíme všechny problémy a záležitosti související s amatérským vysíláním. Věřím, že se naše spolupráce s ÚRK bude úspěšně vyvijet i nadále a přejí všem radioamatérům v jejich společensky prospěšné činnosti mnoho úspěchů.

*Rozmlouval ing. Alek Myslik*

#### SETKÁNÍ RADIOAMATÉRŮ VKV

V rekreacích středisk n. p. Transporta Chrudim a n. p. Tesla Pardubice v Horním Bradle uspořádali chrudimští radioamatéři ve dnech 12. až 14. září letošní setkání VKV amatérů. Během pátečního odpoledne a večera se sjelo téměř 200 radioamatérů se svými rodinnými příslušníky.

V sobotu dopoledne setkání oficiálně zahájil Jiří Štěpán, předseda organizačního výboru. V krátkých vystoupeních přítomné pozdravili s. L. Hlinký, OK1GL, předseda ČUR ČRK, s. ppk. Pauckert, předseda východočeského KV Svazarmu, s. Holec, tajemník OV KSČ v Chrudimi, s. Buval, tajemník ONV v Chrudimi, s. Dopita, předseda MĚNV v Chrudimi a další čestní hosté a zástupci chrudimských podniků.

V dopoledních hodinách odjela dvacetiletá delegace účastníků setkání do pietního území Ležáky, kde uctila památku obětí fašistického teroru položením věnce u pomnika vyvražděných obyvatel této osady.

Pracovní program setkání zahájila přednáška ing. K. Jordána, OK1BMW, o provozu přes družcové převáděče. Byly otevřeny i dvě radioamatérské prodejny – prodejna II. jakosti z Rožnova, kterou jako obvykle „Dřivez“ Slávek, OK2AJ, s XYL, a prodejna ÚRK ČSSR. Velmi rušno bylo i ve vstupní hale, kde probíhala radioamatérská burza. Byla zde i specializovaná „QSL služba“ kolektivky OK1KC z Českých Budějovic, kde bylo možné získat upomínkový QSL lístek ve formě látkové vlažky za spojení s OK1CB z letošní výstavy „Země životitelka“. Jejím manažerem byl Lojza, OK1HAI.

Po obědě byly na programu další dvě velmi zajímavé přednášky – Jarda Klátil, OK2JI, hovořil o koncepci mezfrekvenčního přijímače pro VKV a Jirka Bittner, OK1OA, o vstupních obvodech přijímače pro 145 MHz. Obzvláště tato přednáška byla velmi zajímavá a Jirka svým způsobem výkladu upoutal mnohé z těch, kteří přednášku původně neměli v úmyslu sledovat. Snad se to pozná i na technické úrovni jejich vstupních dílů...

Odpoledne se také uskutečnil již tradiční Minicontest v pásmu 145 MHz. Zúčastnil se ho mezi jinými i OK1ASA s transceiverem, který vidět na obr. 1, 2 a 3. Subminiaturní zařízení z běžných součástek má dvě (!) VFO a dvě stupnice, zvlášť pro přijímač a pro vysílač, aby bylo umožněno provoz přes převáděče. Je uvnitř i reproduktor a osm napájecích tužkových článků. Jirka slibil, že vylepšenou verzi tohoto zařízení popíše pro Amatérské rádio.

Po večeru se všichni znova sešli, aby se společně pobavili na společenském večeru. V programu vystoupila skupina SSM n. p. Transporta Chrudim a „kouzelník“ František Táborský, člen radioklubu Chrudim a přímý pamětník události v Ležákcích 24. 6. 1942. Vitaným zpestřením večera byla bohatá radioamatérská tombola, ve které snad každý něco vyhrál. S rutinou profesionálního konferenciéra ji uváděl Laco, OK1IQ.

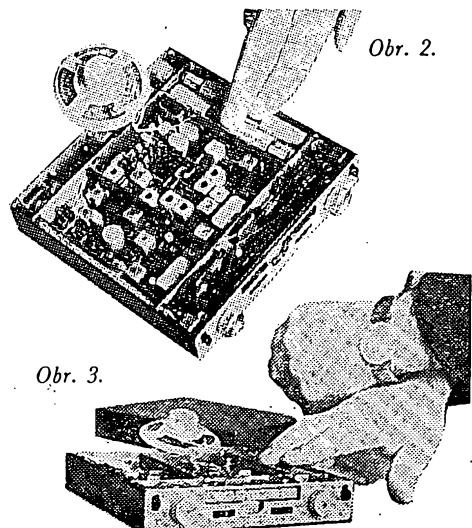
V neděli dopoledne pokračoval program setkání další přednáškou. Hovořil Pavel Sir, OK1AY, o získání SSB na 1 296 MHz směšováním. Podrobnej popsal i ukázal svoje zařízení, lineární převáděč ze 2 m na 23 a 70 cm. Zařízení umožňuje vysílání na 435 a 1 296 MHz SSB při použití buďče 145 MHz a příjem na této pásmec při použití laděné mezfrekvence 144 až 146 MHz. Je zhotoven obvyklou Pavlovou technikou – postupným přistavováním jednotlivých stupňů na šasi z pocinovaného plechu (viz obr. 10 na 2. straně obálky).

Po krátké nepříliš podávané besedě se členy oddoru VKV bylo setkání oficiálně ukončeno a po obědě se všichni rozjeli domů. Budou, myslím, v dobrém vzpomínat na kolektiv OK1KCR, který jim připravil pěkné tři dny v pěkném prostředí a s dobrým programem.

Obr. 1.



Obr. 2.



Obr. 3.



## CESTOU OSVOBOZENÍ EXPEDICE AR 30

V Libochovicích nás čekalo originální přijetí. Dojeli jsme v dopoledních hodinách za pěkného počasí k Toníkovi, OK1GW. Ten nás uvítal se skupinou kluků a s přijímači pro hon na lišku. A že nesmíme dovnitř dříve, než najdeme v libochovickém parku tři lišky. Všichni tři jsme drželi přijímač pro hon na lišku poprvé v ruce (jako závodníci). V perfektně připravené a zorganizované soutěži byli našimi soupeři místní mladí liškaři. Startovalo nás celkem 8 v intervalech po 3 minutách. Nczyhrali jsme, ale také jsme nebyli poslední; a to na nás byla připravena taková specialita jako „mobilní“ liška – vysílač připevněný na krunýři želvy, která se s ním pohybovala (želvím tempem) po parku. Spolu s její „obsluhou“ ji můžete vidět na obr. 1.

Po obědě nás přijal předseda MNV v Libochovicích s. Maleček. Seznámili jsme ho s posláním a dosavadním průběhem naší expedice a od něj jsme se dovíděli některé údaje o Libochovicích a o podpoře, kterou poskytuje MNV



Obr. 1. Pohyblivá „liška“, upevněná na krunýř želvy



Obr. 2. Přijetí na MNV Libochovice

veškré práci s mládeží. Kromě OK1GW nás doprovázela ještě s. K. Hynouš, předseda zdejší ZO Svazarmu.

Na 13. hod. jsme měli připravenu návštěvu radiotechnického kroužku ve zdejší škole. Ředitel školy, který přislíbil účast, na nás bohužel nepočkal a tak jsme se sešli s chlapci, členy kroužku, které tu A. Glanc, OK1GW, vede. Ukažali nám několik efektních pokusů s barevnými neónovými výbojkami a pobesedovali jsme s nimi o telegrafii a telegrafních soutěžích. Odpoledne

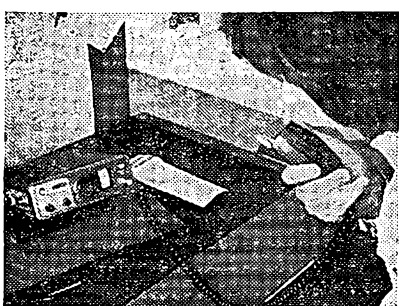


Obr. 3. V kolektivce OK1KAI

jsme navštívili libochovickou kolektivku OK1KAI. Jejím vedoucím operatérem je Franta, OK1GC, a má 3 PO a 4 RO. Vysílají na RM31 a anténu G5RV.

V podvečer jsme přijali pohostinství OK1GW. Navázali jsme odtud svá pravidelná spojení SSB na 80 m, na zařízení OL4ASL (syna OK1GW) jsme navázali i několik spojení v pásmu 145 MHz přes převáděče OK0A a OK0B, shlédlí jsme několik spojení SSTV.

V pondělí ráno jsme se ještě zastavili u Franty, OK1CC. Prohlédli jsme si jeho „hamovnu“ i dílnu, rozdělaný Z-styl, a navázali jsme od něj několik spojení. Asi v 10 hodin jsme se rozloučili a odjeli do Mělníka. Vyhledali jsme Vaška, OK1AFA, který nás do Mělníka pozval a spolu s ním jsme si prohlédli kolektivku OK1KRJ. Radioklub má



Obr. 4. Se zařízením OL4ASL jsme se „objevili“ i na 145 MHz

25 členů a aktivně pracuje s dětmi – byli jsme přítomni průběhu takového kroužku v poměrně vyhovujících místnostech v budově OV Svazarmu. V místnostech radioklubu jsme pobesedovali s členy radioklubu a Vláda, OK1ANN, předseda radioklubu, nám jménem celého kolektivu předal jako upomínu na naši návštěvu obrazovou publikaci o Mělníku. Vašek, OK1AFA, nás potom provedl po městě a vyprávěl nám mnoho zajímavostí z historie i ze současnosti Mělníka.

Předposlední zastávkou naší expedice byly Hořovice. Pozval nás sem jménem radioklubu MUDr. A. Skřivánek, OK1FSA. Ohlásili jsme se tedy po přjezdu v hořovické nemocnici; Tonda se nás ujal a obětav se nám věnoval po celou dobu našeho pobytu v Hořovicích. Ukázal nám pašnátná místa boju II. světové války v okolí Hořovic, zapojil nám svoje zařízení i QTH k našemu odpolednímu vysílání a u něj se také sešli odpoledne téměř všichni členové hořovického radioklubu. Pěkně jsme si popovídali a domluvili jsme se i na další spolupráci. Večer jsme se znova sešli s našimi novými přáteli i s jejich manželkami a strávili jsme společně velmi pěkný večer. Již po několikáté jsme zkonstatovali, že v malých městech a v malých radioklubech je většinou lepší kolektiv než tam, kde by se to dalo vzhledem k podmírkám očekávat.

A přišel závěr naší Expedice – středa 8. 5. 1975. Dopoledne se k nám připojil šéfredaktor ing. F. Smolík, OK1ASF, a posléze v Příbrami i jeho zástupce, L. Kalousek, OK1FAC, spolu s N. Grigorjevou, redaktorkou sovětského časopisu Radio. V Příbrami se nás ujali manželé Zahoutovi – Jožka, OK1FBIL, a Karel, OK1ADW. Společně jsme navštívili známou kolektivku okresního radioklubu OK1KPB, odkud jsme také odpoledne vysílali. Nejaktivnější kolektivkou je nyní radioklub mladých OK1OFA, s kterým nás seznámil Silvestr, OK1AYA. Navštívili jsme i „táťu“ příbramských radioamatérů, Jaroslava Matouška, OK1BD. Letos mu bylo již 75 let a o jeho aktivitě svědčí jeho vlastní výrok: „Já mám čas jen tak ráno od 5 do 8 hodin.“ Školi brance, pracuje s mladými, nezbývá mu ani příliš času na vlastní vysílání a stavbu zařízení. Radioamatérem se stal v roce 1947 a koncesi získal v roce 1955. Byl zakladajícím členem OK1KPB i OK1OFA.

Třetí kolektivkou v Příbrami je OK1KNG při Okresním učilišti rudných dolů. Jejimi členy jsou převážně žáci učiliště.

Odpoledne jsme odjeli k novému pomníku nedaleko Slivic, místa, kde padly z 11. na 12. 5. 1945 poslední výstřely II. světové války. Poklonili jsme se pamáce padlých a od přímého účastníka tchdejších událostí, s. P. Hoška, i od Karla, OK1ADW, jsme se dozvěděli mnoho podrobností. Bylo to důstojné zakončení programu naší expedice „Cestou osvobození“.

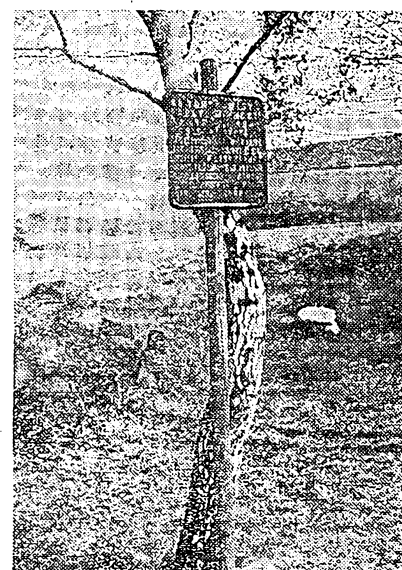
Večer jsme expedici k 30. výročí osvobození Československa oficiálně zakončili v Kulturním domě v Příbrami v kolktivu příbramských radioamatérů.

V Příbrami tedy skončila naše největší akce, pořádaná na počest 30. výročí osvobození, i největší akce tohoto druhu v historii AR – a v tomto čísle končí i reportáz z našeho cestování. Vzhledem k velkému množství navštívených radioklubů i jednotlivců a ještě většimu množství zážitků, informací a dojmů je

velmi obtížné tuto akci stručně zhodnotit. Poznatky z ní nám budou pomáhat v naší redakční práci ještě hodně dlouho a navázané známosti a přátelství jistě také neskončí zároveň s naší reportáží. Přesto bych se pokusil shrnout alespoň těch základních poznatků. Radioamatérská činnost je mnohem lépe organizovaná na Slovensku než v Českých zemích. Jednotlivé organizační stupně vyvíjejí aktivní činnost a existuje důsledná návaznost na nižší i vyšší složky. Přesvědčili jsme se o tom na mnoha místech. Československým radioamatérům nejvíce chybí vhodné návody – kuchařky ke stavbě základního vybavení amatérské vysílací stanice a alespoň průměrná součástková základna. V některých místech s rozvinutou radioamatérskou činností (obzvláště na Slovensku) je nejbližší prodejna elektro vzdálena i více než 50 km. A prodávají tam televizory, vysavače, vařiče a občas nějakou elektronku nebo odporník. Nelze se potom divit, že se mnohde používá ještě inkurantní vojenské zařízení (které již rovněž „oslavilo“ svoje 30. výročí). Nedocenitelným krokem v tomto směru byla výroba transceiveru PETR 103 a v současné době transceiveru Otava. Zhodení podobného zařízení v podmírkách venkovských radioklubů je v podstatě nerealizovatelné. Čím menší obec a radioklub, tím soudržnější kolektiv a pravidelnější činnost. To je také mnohokrát ověřená skutečnost. V některých okresních radioklubech se pravidelně každý týden scházejí radioamatéři z okruhu až 60 km a průměrná účast je 80 %. Ve velkých městech je problém zajistit účast 30 % a každý to má maximálně 20 minut.

A my jsme si samozřejmě ověřili, že psát a vytvářet si názory o radioamatérském hnutí se u redakčního stolu nedá. Ze je nutné a nenahraditelné vyjet a vidět a mluvit s lidmi. I když bychom museli být „pohádkovými dědečky“ abychom mohli všude pomoci, poradit, zařídit, poslat, sehnat, jak jsme se s tím během naší expedice „Cestou osvobození“ setkávali.

OKIAMY



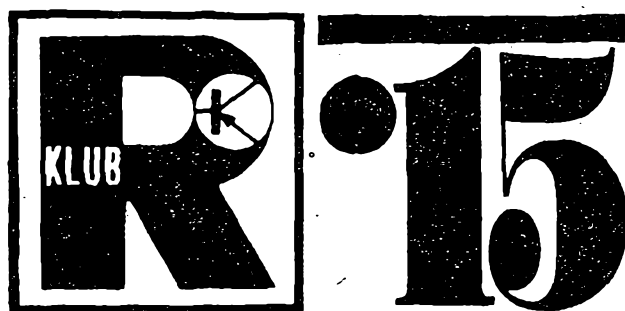
Obr. 5. „Na tomto místě padly v noci na 12. 5. 1945 poslední výstřely II. světové války v Evropě“

## RUBRIKA PRO NEJMLADŠÍ ČTENÁŘE AR

Když německý fyzik H. R. Hertz (1850 až 1894), který se zabýval výzkumem šíření elektromagnetických vln, dokázal r. 1885 jejich existenci, vznikla myšlenka použít Hertzova objevu k bezdrátovému spojení. Velkým krokem k uskutečnění této myšlenky byl objev pařížského fyzika a chemika E. Branlyho (1890). Zjistil, že odpor, který kladou kovové pilinky elektrickému proudu, se značně zmenší, dopadnou-li na ně elektromagnetické vlny. Po mechanickém otřesu opět nabudou původního velkého odporu. Toto jevu využil v Anglii fyzik O. J. Lodge (r. 1893) pro své pokusy k indikaci elektromagnetických vln. Uzavřel pilinky mezi dvě elektrody do skleněné trubičky a dal tomu přístroji (detektoru) název koherer.

První přijímač, schopný prakticky přijímat telegrafní značky bezdrátově, sestrojil až r. 1895 A. Popov (1859 až 1905), profesor ruské vojenské akademie v Kronštadtu. Uspořádání Popovova přístroje je patrné z obr. 1.

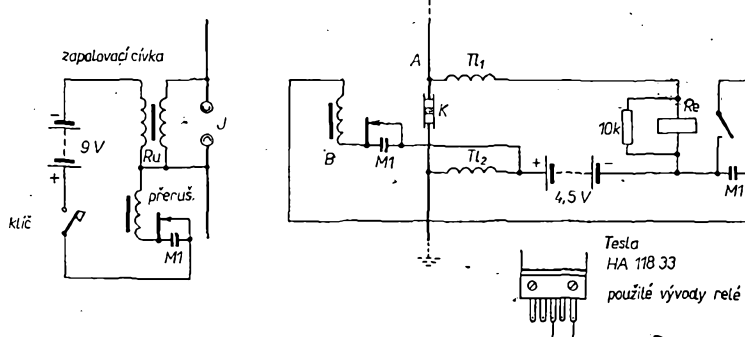
Elektromagnetické tlumené vlny, vycházející z jiskřítě J Ruhmkorfova induktoru  $Ru$ , jsou zachyceny anténou A. Po projití kohererem K, který je tlumivkami  $Tl_1$ ,  $Tl_2$  vysokofrekvenčně oddělen od ostatních stejnosměrných ob-



## Na co vysílal A.S. POPOV

K 80. výročí prvního Popovova bezdrátového telegrafního přenosu

Zdeněk Kavan



Obr. 1. Schéma Popovova vysílače a přijímače

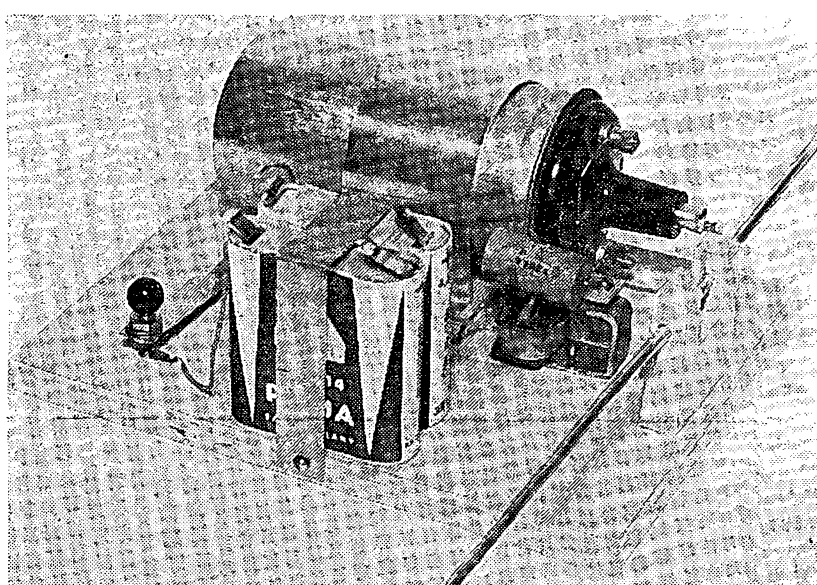
vodů, sepne kohezi pilinek relé  $Re$ . Relé uvede v činnost buzúčák B, jehož palíčka otřese kohererem. Tím se koherer uvede do původního stavu a relé rozepte. Přístroj může reagovat na další signál. Ke zvýšení citlivosti a dosahu přijímače použil Popov poprvé k přijímači anténu. Zprvu sloužil Popovův přijímač k ohlašování bouřek pomocí registráčního zapisovacího přístroje zapojeného paralelně ke buzúčku (zvonku).

V dubnu 1895 oznámil Popov Fyzikální a chemické společnosti v Petrohradě, že se mu podařilo přenášet elektromagnetickými vlnami signály na vzdálost 5 km. Po dalších pokusech s bezdrátovým přenosem v dalším sdělení ze dne 5. prosince téhož roku uvádí, že se mu podaří použít mohutnějšího vysílače zřídit pravidelné bezdrátové telegrafní spojení. Radikálnějšího zlepšení by býval Popov dosáhl připojením antény také k vysílači. Tuto důležitou změnu provedl o rok později italský inženýr G. Marconi (1874–1937), který na bezdrátové jiskrové telegrafii s Popovovým přístrojem pracoval. Ždonkalil koherer a připojil k Popovovu

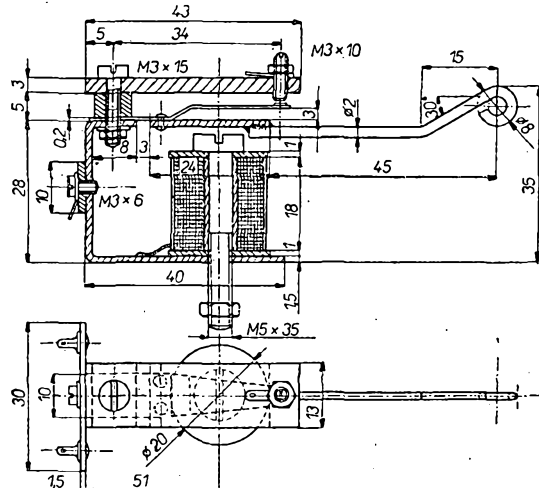
přístroji laditelný oscilační okruh a indukčně oddělil vysílací i přijímací anténu. Vznikl tak nový systém bezdrátového jiskrového přístroje, nazvaný systém Marconi-Braunův, nebo systém sladěné telegrafie, který se v praxi velmi osvědčil. Po mnohých intenzivních pokusech a dalších zdokonaleních se dne 29. prosince 1902 podařilo Marconi dosáhnout telegrafního spojení přes Atlantský oceán, ze stanice v Poldhu v Cornwallu v Irsku, do stanice v Cap Breston v Novém Šotsku v Kanadě, vzdálené 3 800 km.

Z této velmi stručné historie vyniká průkopnická genialita A. Popova, který vytvořil první pramenek k pozdějšímu mohutnému proudu nových technických a vědeckých poznatků.

Dominávám se, že mladí radioamatéři, zejména ti v zájmových radiokroužcích, uvitají nenáročný a vyzkoušený návod na zhotovení pokusného „pokrovového“ přístroje, sestaveného podle slavného Popovova historického zařízení, který přinese mnoho zábavy, po-



Obr. 2. Fotografie sestaveného vysílače

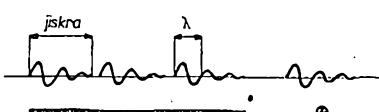


Obr. 3. Konstrukční uspořádání přerušovače

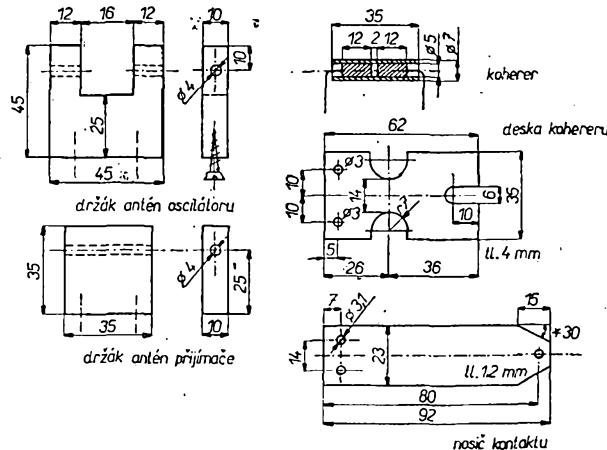
učení a radosti z vlastnoručně vyrobeného historického modelu, jaký vlastní již jen málokteré technické muzeum.

## **Návod k sestavení přístroje Oscilátor**

Začneme oscilátorem, jiskrovým vysílačem tlumených kmitů (obr. 2). Na místo těžko dosažitelného a nákladného induktoru Ruhmkorfova použijeme automobilovou indukční cívku (12 V), které si zhotovíte přerušovač (Wágnero-vo kladičko) podle obr. 3. Kdybyste si netroufali jej zhotovit, můžete jej nahradit upraveným elektrickým zvonkem na stejnosměrný proud. Protože tyto systémy budete potřebovat dva, jeden jako přerušovač, druhý jako elektrický buzák, zhotovte všechny součásti z výkresu na obr. 3 hned dvojmo. Cívku pro přerušovač navíjte plnou drátem CuL o průměru 0,6 mm, pro buzák drátem o průměru 0,25 mm. Přerušovač a ostatní součásti oscilátoru připevněte k základové desce z překližky o rozměru 200 × 150 × 10 mm podle obr. 2. Přerušovač připevněte vyčnívajícím šroubem M5. Telegrafní klíč je improvizován z pásku mosazného plechu tl. 1 mm. Vývod vysokého napětí tvoří trubička stočená z mosazného plechu s pájecím výstupkem, zastrčená do otvoru zděře vysokého napětí v izolované části indukční cívky (obr. 2). Cívka je připevněna k desce páskem z blíníkového plechu tl. 0,8 až 1 mm, stejně jako dvě ploché baterie. Antény, které tvoří svými do kulata zapilovanými konci jiskřiště, jsou zhotoveny z drátu (polovitě slitiny hliníku) o průměru 4 mm a délce 300 mm. Zde se trochu odchylíme od A. S. Popova, který žádnou anténu u vysílače neužíval. Držák antény zhotovte z překližky tl. 10 mm podle výkresu (obr. 4). Antény zastrčte do otvorů v držáku současně s přivodními dráty, zakulacenými konci k sobě. Po zapojení vysílače podle obr. 1 odzkoušejte jiskru, bude asi 3 mm dlouhá. Potom antény přiblížte k sobě na vzdálenost asi 1 mm. V tomto stavu budete oscilátor používat.



Obr. 5. Průběh „tečky“ a „čárky“ vyslané sestaveným oscilátorem

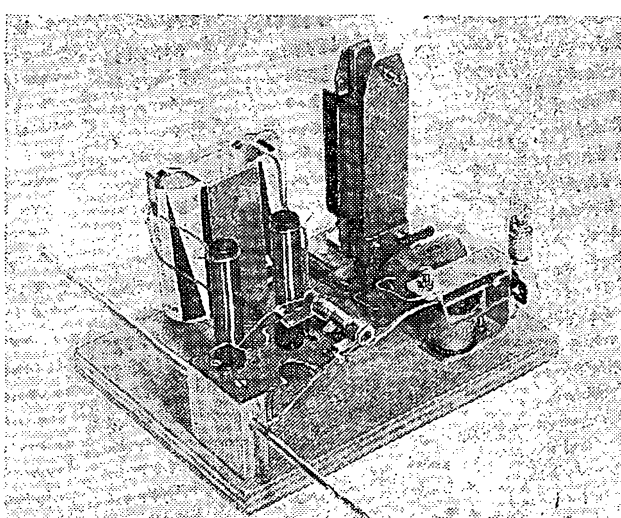


Obr. 4. Konstrukční díly

sí připravte malou hromádku pilinek, asi jako zrnko rýže. Pilinky musí být velmi jemné, nejlépe z tvrdé oceli, např. opilováním nekalené části pilníku. Přilijte co nejjemnějším hodinářským pilníčkem nad kouskem čistého papíru. Čím budou pilinky jemnější a tvrdší, tím dokonalejší bude koherer. Trochu pilinek nasypete do připravené trubičky s vlepenou elektrodou a odzkušejte, zda při vzdálenosti elektrod 2 mm pilinky vyplňují prostor mezi válečky asi do 1/4 průměru válečků. Potom můžete vlepít druhý váleček, ale pozorně, aby se lepidlo nedostalo do prostoru pro pilinky! Po zatuhnutí lepidla odzkušejte citlivost kohereru. Do série s plochou baterií 4,5 V zapojte koherer a voltmetr s odporem alespoň  $500\Omega/1$  V a při rozsahu voltmetu 4,5 V nesmí ručka voltmetu učinit sebemenší výchylku. Při zajiskrování oscilátoru ve vzdálenosti asi 1/4 m má ručka voltmetu okamžitě ukázat kolem 4,5 V, poklepem na koherer opět klesnout na nulu. Dobrý koherer pro nás účel by měl reagovat na vzdálenost až 4 m.

## Sestavení přijímače

Na prkénko z překližky o rozměrech  $120 \times 160 \times 10$  mm upevněte podle



Obr. 6. Fotografie modelu Popovova přijímače

trubičku uchopíte prsty těsně u rýhy a za silného tahu trubičku energicky zlomíte. Ostré hrany zabrousíte brusným papírem s trochu vody. Mezitím

obr. 6 druhý bzučák, ale s připájenou paličkou z mosazného drátu, podle výkresu na obr. 3. Baterii připevněte podobně jako u oscilátoru. Dvě tlumivky navijte na trubičky z tvrzeného papíru jednou vrstvou drátu CuL o  $\varnothing$  0,15 mm na délku asi 50 mm a nalepte na základní desku. Koherer přišroubujte k pružné destičce z tvrzeného papíru lečmo přišroubované k dřevěnému stojánu, ve kterém budou nastrčeny opět dvě anténky, stejných rozměrů jako u oscilátoru. Vše je zřejmě z fotografie a výkresu. Drát paličky bzučáku ohněte tak, aby palička energicky tloukla do trubičky koherera, což je nutné pro důkladné „kypření“ pilinek.

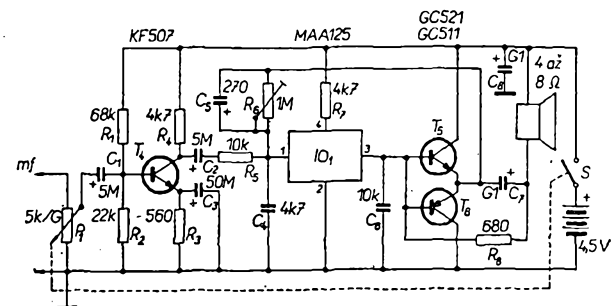
Jestě zbývá úprava telefonního relé, které levně zakoupíte v partiiových prodejnách. Použito bylo relé typu TEŠLA HA11833. Můžete však použít každý jiný typ relé, které spíná proud 1,5 mA při napětí z jedné ploché baterie (4,5 V). Telefonní relé bude nutno rozetřebat a upravit. Nejprve odstraňte všechna kontaktní pera a ponechte pouze jediné, s postříbřenými kontakty otočenými ven z relé. Proti kontaktnímu peru přitáhněte neizolované pomocné kovové podložky z relé destičku podle výkresu na obr. 4. Do destičky vyřízněte závit M3 naproti kontaktu pera. Přijde do ní stavěcí mosazný šroubek s připájeným kontaktem, zajištěný maticí. Poštířené kontakty můžete získat odstrízením ze zbylých kontaktních per relé. Vývody cívky relé zapojte podle obr. 1 a pokuste se nastavit relé na největší citlivost. Vzdálenost kotvičky od jádra relé nastavte při hnutí mosazného jazyčku nad horním čelem cívky na 1 mm. Silu, která odtahuje kotvu, je možno měnit buď předpřužením kontaktního pera, nebo nastavením třmínku, o který je pero opěno zahnuto částí. Stavěcí kontakt proti kontaktu pera nastavte tak, aby k sepnutí došlo o něco dříve, než kotva dorazi na jádro cívky relé, aby byl zaručen spolehlivý kontakt. Relé je nutno přišroubovat podložením dřevěného špalíčku asi o 10 milimetrech výše. K bzučáku můžete ještě připojit žárovíčku k optickému sledování signálů. Po zapojení přijímače proti němu postavte oscilátor na vzdálenost asi 1 m a pokuste se o první „spojení“. Antény mají směrový účinek. Nakonec upozorňuji na možnost rušení radia i televize a doporučuji opatrnost při všech pokusech.

### Úprava přijímače Diamant

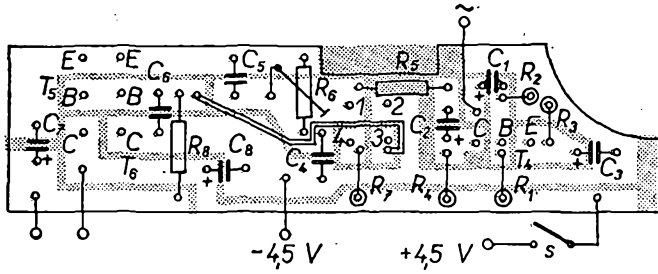
Reprodukce tohoto tranzistorového přijímače je naprostě nevhodující vzhledem k jeho rozměrům a kvalitě vý a mf části. Rozhodl jsem se proto zhovit nf zesilovače s větším výkonom.

Jedná se o třistupňový zesilovač osazený třemi tranzistory a integrovaným obvodem (viz obr. 1). Předzesilovací stupeň je osazen křemíkovým tranzistorem KF507 (KF508). Pracovní bod prvního stupně je zvolen tak, aby měl stupeň malý šum a zkreslení. V dalším stupni je použit integrovaný obvod MAA125. Jego pracovní bod se nastavuje proměnným odporem  $R_6$ . Tako zesílený signál stačí k vybuzení koncového zesilovače. Pracuje ve třídě B a je tvořen doplňkovými tranzistory GC521 a GC511. Timto zapojením dosahne me-

Obr. 1. Zapojení nf zesilovače



Obr. 2. Rozmístění součástek na destičce s plošnými spoji J61



poměrně malé spotřeby. Zkreslení omezuje zpětná vazba tvořená odporem  $R_8$ . Takovýto zesilovač má výkon asi 350 mW při zkreslení 10 %.

Celyj zesilovač je postaven na destičce s plošnými spoji (viz obr. 2). Deska je rozměrově přizpůsobena velikosti původního zesilovače. Použil jsem reproduktor typu ARZ081. Odpory jsou miniaturní, kondenzátory polštářkového typu, elektrol. kondenzátory s jednostrannými vývody na 6 V.

Pavel Veselý

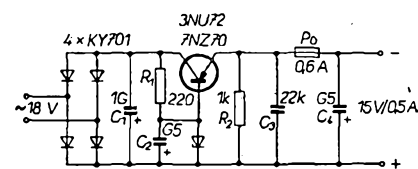
prázdnou; 15,0 V při odběru (závisí na  $h_{21E}$   $T_1$ ).

Výstupní napětí závisí na referenčním napěti Zenerovy diody -6NZ70  $\pm$  12 V - Tranzistor upewněný na chladiči se znatelně nezahřívá. Při zkouškách chránila pojistka 0,6 A tranzistor i při zkratu mezi výst. svorkami. Všechny součástky kromě  $C_4$  jsou umístěny na destičce s plošnými spoji J61. Kondenzátor  $C_4$  (G5/15 V) je upevněn přímo mezi výstupní svorky.

### Literatura

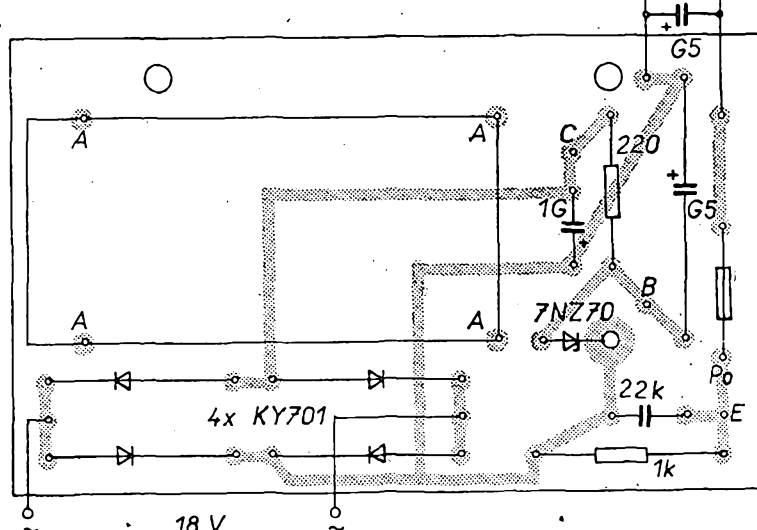
- [1] Syrovátko, M.: Nízkofrekvenční tranzistorová zapojení. SNTL : Praha 1973.
- [2] Amatérské radio 1/1973.

Jiří Konvalinka



Obr. 1. Schéma napájecího zdroje

Stabilita výstupního napětí : 15,5 V na-



Obr. 2. Rozmístění součástek napájecího zdroje na destičce s plošnými spoji J62 (pohled ze strany součástek)

# ? Jak na to AR?

## Jednoduché napájecí zdroje

Pro hračky, tranzistorové rozhlasové přijímače a nenáročná elektronická zařízení s malým odběrem proudu (zpravidla asi 500 mA) se hodně používá tzv. tranzistorová filtrace napájecího napětí. Tranzistor v obr. 1 pracuje jako filtrační člen, přičemž toto uspořádání má např. jednu výhodu: kdybychom chtěli tranzistor nahradit pouze jediným filtračním kondenzátorem nebo filtračním řetězcem (jak se běžně používá), musel by mít potřebný elektrolytický kondenzátor velkou kapacitu a velké rozměry (např. TC 934 o kapacitě 10 000  $\mu$ F/12 V má průměr 62 mm a výšku 92 mm). Zdroj s tranzistorem spolu s odporem a se dvěma kondenzátory s relativně malými kapacitami (v obr. 1 je to  $T$ ,  $C_1$ ,  $C_2$  a odpor  $R$ ) je i výhodnější i pokud jde o cenu a co do velikosti bude celý zdroj i menší než uvedený kondenzátor.

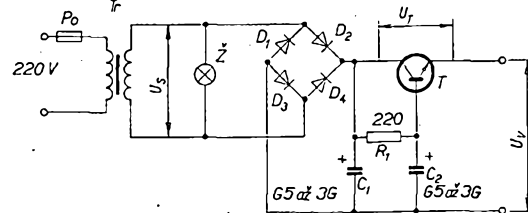
### Princip zapojení

Síťové střídavé napětí vedeme přes pojistku  $P_0$  a transformujeme na potřebnou úroveň transformátorem  $T_r$ , na jehož sekundárním vinutí dostaneme napětí  $U_s$ . Zárovka  $Z$  po zapnutí signalaže, že zdroj je v chodu. Střídavé napětí se usměrňuje čtyřmi diodami  $D_1$  až  $D_4$  a částečně filtreuje kondenzátorem  $C_1$ . Kondenzátor  $C_2$  se nabíjí přes odpor  $R_1$  a tvoří část filtračního řetězce. Napětí na  $C_2$  je již poměrně dobře vyfiltrováno, neboť  $C_2$  je připojen do báze tranzistoru  $T$  a vybíjí se pouze jeho vstupním proudem  $I_B$ , který je relativně malý. Tranzistor je zapojen jako zesilovač, či spíše jako sledovač, a otevírá se a přivírá tak, aby na emitoru byl stejný průběh napětí jako na bázi. Na kolektoru je nedostatečně vyfiltrované napětí, na emitoru se však napětí tímto jevem, tj. přivíráním a otevíráním tranzistoru filtreuje poměrně dobře.

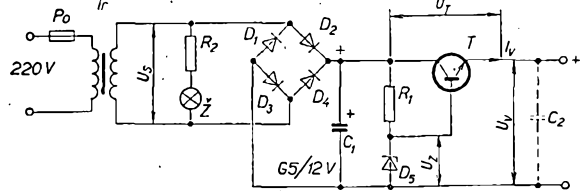
Výstupní napětí  $U_v$  je filtrované, jeho zvlnění je úměrné zvlnění napětí v bázi tranzistoru  $T$  (tj. na kondenzátoru  $C_2$ ) a tomu, jak se tranzistor stačí otevřít a zavírat, což závisí zejména na prourovém zesilovacím činiteli použitého tranzistoru. Čím je zesilovací činitel tranzistoru větší, tím lepší je filtrace. Při návrhu a volbě součástek vycházíme z potřebného napětí  $U_v$  a maximálního odebíraného proudu. Napětí  $U_v \doteq 1,4U_s - U_T$  (naprázdno). Maximální odběr proudu je určen typem tranzistoru, nesmíme překročit povolený maximální proud  $I_{Cg}$  tranzistorem. Nесmíme zároveň překročit i kolektorovou ztrátu tranzistoru, tj. součin maximálního proudu a napětí  $U_T$  nesmí být větší než povolená katalogová ztráta  $P_{max}$  použitého tranzistoru (při ideálním chladiči).

Tranzistorová filtrace se většinou kombinuje s jednoduchou stabilizací výstupního napětí  $U_v$ , obr. 2. Zdroj má pak podstatně lepší parametry. Navíc je použita pouze jedna Zenerova dioda  $D_5$ , která plní zároveň dvě funkce. Napětí na bázi tranzistoru filtreuje lépe než kondenzátor a současně toto napětí stabilizuje. Odpor  $R$  určuje příčný proud Zenerovou diodou; je ho třeba zvolit tak, aby diodou tekl dostatečný proud. Minimální hranice proudu je prakticky stanovena již výrobcem Ze-

Obr. 1. „Tranzistorová“ filtrace napájecího napětí



Obr. 2. „Tranzistorová“ filtrace se stabilizací Zenerovou diodou



nerovy diody; např. v katalogu TESLA je určeno, že má-li být  $R_4$ , tj. dynamický vnitřní odpor diody menší než  $2\Omega$ , musí diodou např. INZ70 těci proud 100 mA. Odpor  $R_1$  pak odhadneme přibližně ze vztahu

$$R_1 \doteq \frac{1,4 U_s - U_z}{I_z}, \text{ kde}$$

$U_s$  je sekundární napětí použitého transformátoru,  $U_z$  Zenerovo napětí použité diody  $D_5$  a  $I_z$  příčný proud Zenerovou diodou, zjištěný z katalogu. Zvolíme-li příčný proud menší – a to bývá velice

častá chyba při používání Zenerových diod – nemá dioda dostatečně malý vnitřní odpor, pracuje někde v ohýbu charakteristiky, nestabilizuje a zdroj je náčelný např. i ke kmitání.

Pro funkci tranzistoru  $T$  platí vše, co již bylo řečeno o zapojení na obr. 1. Na schématu v obr. 2 je pouze ten rozdíl, že na bázi tranzistoru je napětí nejenom vyhlazeno, ale i stabilizováno. Výstupní napětí  $U_v$  je pak rovnou napětí  $U_z$  méně napětí  $U_{BE}$  použitého tranzistoru  $T$ , což je zpravidla asi 0,7 V. —at—

## Zapouzdřené nikloadmiové akumulátory

Pro malé spotřebiče, tranzistorové hračky, přenosná zařízení obsahující tranzistory (popř. integrované obvody) jsou při přepočtu váhy a schopnosti do-

Tab. 1. Zapouzdřené nikloadmiové akumulátory n. p. Bateria Slaný

Typ	Jmenovité napětí [V]	Vybíjecí proud [mA]	Vybíjecí doba celkem [h]	Konečné vybíjecí napětí [V]	Kapacita [mAh]
NiCd 225	1,2	22,5	10	1,1	225
NiCd 226	1,2	22,5	10	1,1	225
NiCd 450	1,2	45	10	1,1	450
NiCd 451	1,2	45	10	11	450
NiCd 900	1,2	90	10	1,1	900
NiCd 901	1,2	90	10	1,1	900
NiCd 2000	1,2	200	10	1,1	2 000
10 NiCd 228	12	22,5	10	11	225

Počet vybijecích a nabíjecích cyklů	Norma	Rozměry [mm]	Hmotnost [g]	Poznámka
60	ČSN 36 4371	$\varnothing 25 \times 8,9$	11	knoflikové provedení
60	ČSN 36 4371	$\varnothing 25 \times 8,9$	13	knoflikové provedení s přivařenými vývody
100	ČSN 36 4371	$\varnothing 15 \times 50$	23	
100	ČSN 36 4371	$\varnothing 15 \times 50$	25	s přivařenými vývody
100	ČSN 36 4371	$\varnothing 15 \times 90,5$	40	
100	ČSN 36 4371	$\varnothing 15 \times 90,5$	42	s přivařenými vývody
100	ČSN 36 4371	$\varnothing 34 \times 62$	150	rozměry monočlánku
200 300*	mimo normu	$\varnothing 27 \times 89$	110	

\* Počet vybijecích a nabíjecích cyklů je uvažován do zmenšení kapacity na 80% — 200 cyklů, dalších 100 cyklů do zmenšení kapacity na 70% jmenovité velikosti.

dávat určité množství energie nejvýhodnější malé nikloadmiové zapouzdřené akumulátory. Také cenově, přepočítame-li jejich cenu k ceně suchých článků, jsou poměrně výhodné. Jediným výrobcem akumulátorů NiCd v tuzemsku je n. p. Bateria Slaný. Přehled výráběných typů je uveden v tab. 4. Výhodou těchto akumulátorů je dlouhá doba života. Kromě nabíjení nevyžadují žádnou údržbu.

Výrobce je doporučuje nabíjet konstantním proudem odvozeným z 1/10 kapacity po 16 hodin (tab. 1), tj. např. typ NiCd 225 s kapacitou 225 mAh nabijíme konstantním proudem 22,5 mA po dobu 16 hodin. Protože se stav nabíjení akumulátorů poměrně obtížně určuje, doporučuje se nabíjet celých 16 hodin i akumulátor vybitý pouze částečně. Také nový akumulátor, který jsme kupili, je pouze částečně nabity (akumulátory se prodávají v polonabitém stavu) – dobijíme ho vždy po uvedených 16 hodin. Krátkodobé přebíjení zapouzdřeným nikloadmiovým akumulátorům nevadí. Typy uvedené v tabulce však nezapojujeme trvale k spotřebiči jako rezervní zdroj. V některých návodech se sice doporučuje ponechávat nikloadmiové zapouzdřené akumulátory např. u přenosných přijimačů v přijimačích a neodpojovat je ani při připojení přijimače k síti, takže se trvale dobíjejí. Pro tyto účely je však třeba používat zapouzdřené nikloadmiové akumulátory s tzv. sintrovanými elektrodami, které jsou nepoměrně dražší a které snášejí trvalé nabíjení, nabíjení větším proudem, vybijení zkratem, mají delší dobu života atd. Bohužel nikloadmiové zapouzdřené akumulátory se sintrovánými elektrodami jsou pro nás běžně nedostupné, neboť se v maloobchodě nevyskytují. Typy akumulátorů, které jsou uvedeny v tab. 4, jsou běžného provedení.

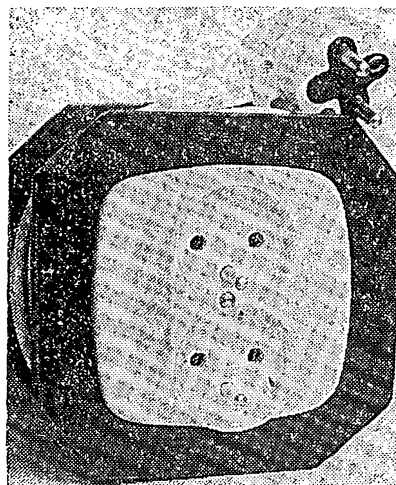
Akumulátory nabijíme při pokojové teplotě 20 °C. Dbáme toho, abychom články nepřepólovali. Vady akumulátorů se většinou projevují zvyšováním teploty při nabíjení, případně „nafouknutím“ akumulátoru.

Při vybijení se nedoporučuje vybijet akumulátor pod velikost konečného vybijecího napětí. Vybijet akumulátor pod tuto mez je zvlášť nebezpečné u akumulátorů, spojených do baterie; u již opotřebovaných akumulátorů má totiž každý akumulátor baterie poněkud jinou kapacitu, takže může nastat okamžik, kdy některý z článků je již vybit a ostatní ještě poskytuje vybijecí proud. Pak se akumulátor s nejmenší kapacitou začne nabijet „protiproudem“ na opačné napětí a přepoluje se – nezbývá než celou baterii rozpojit, přepolovaný akumulátor nejprve vybit a jednotlivé články nabijet každý zvlášť.

Na pouzdro akumulátorů se nedoporučuje pájet ani přivařovat vývody, neboť akumulátor se může snadno přehřát a zničit. Proto se vyrábějí typy s přívárenými pájecími oky, na něž lze pájet přivodní dráty bez nebezpečí. I v tomto případě je však bezpečnější pájet tak, že pájecí oko držíme čelistmi kleští, abychom odvedli přebytečné teplo a zbytčně nepřehřívali akumulátor. – ar-

### Sítový rozvod

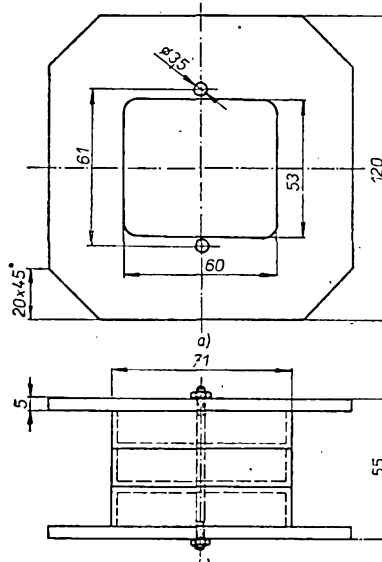
Mnozí amatéři nemají vlastní dílnu a jsou proto nuteni vytvořit si pracoviště, které je skladné a pohotové. Jedním ze základních zařízení je vhodný sítový rozvod, umožňující připojení většího počtu spotřebičů (páječky, zdroje atd.). Velmi efektní a praktické je provedení podle obr. 1. Dvě dvojité zásuvky



Obr. 1. Pohled na hotový rozvod

jsou upevněny na jádru cívky, na které je navinuta přivodní sítová šnúra.

K výrobě potřebujeme kromě uvedených zásuvek dvě pertinaxové (novodurovové, texgumoidové) desky o rozměrech 120 × 120 mm a o tloušťce nejlépe 5 mm,



Obr. 2. Čelo cívky (a), sestava (b)

které upravíme podle obr. 2. Jádro cívky pořídime levně ze tří čtvercových zásuvkových krabic pod omítku, jejich slepé otvory pro vruty provrtáme vrtáčkem o průměru 3,5 mm. Celou konstrukci i se zásuvkami spojíme dvěma svorníky o průměru 3 mm a o délce 65 mm. Dnu krabiček provrtáme (otvory pro vodiče spojující obě zásuvky). V boční stěně jedné z krabiček vyvrátáme otvor pro přívod sítové šnury. Po sestavení ovineme jádro cívky izolační páskou, nejlépe lepicí páskou na koberce.

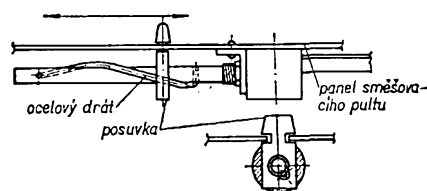
Na cívku se vejdé 6 m třížilové bílé trojlinky s největším průřezem vodičů. Je výhodné upevnit do krabičky doutnavku, která signalizuje přítomnost napětí.

Při použití rozvodu si odvineme sítovou šnúru na délku, kterou potřebujeme. Čtvercový tvar cívky je výhodný; zaručuje stabilní polohu rozvodu na pracovním stole.

Ing. M. Procházka

### Úprava potenciometru pro směšovací pult

Při konstrukci směšovacího pultu jsem přemýšlel, jak vyrobit „tahové“ regulátory hlasitosti. Z několika řešení jsem vybral toto: na obou koncích vnější části hřidele potenciometru vyvrátáme otvory, do nichž upevníme pájením nebo roznýtováním konce ocelového drátu, stočeného do spirály tak, aby tvořil závit s velkým stoupáním (obr. 1). Hřide-



Obr. 1. Úprava potenciometru

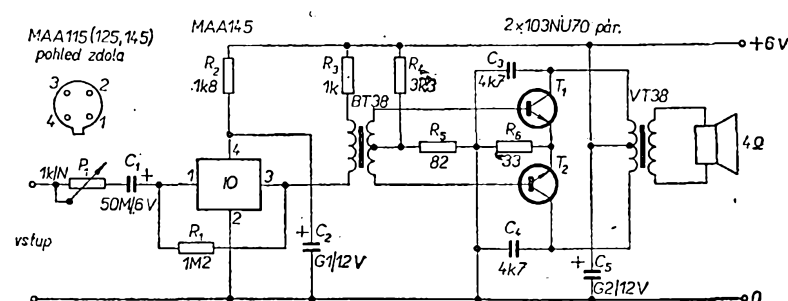
lem otáčí posuvka zhotovená ze silonu nebo z pertinaxu. Na přesnosti výřezu pro hřidel a drát závisí lehký chod regulátoru. Je-li drát na hřideli volný, je nutno jej k němu opatrně připájet.

M. Andrýsek

### Jednoduchý zesilovač s MAA145

Zesilovač je postaven většinou ze starších součástek, pouze v předzesilovači je integrovaný obvod MAA145. Je možno jej použít např. jako nf zesilovač pro tzv. „druhý přijímač do domácnosti“, jako sledovač signálu atd.

Potenciometr  $P_1$  slouží k nastavení vstupní citlivosti zesilovače. Dále jede signál přes kondenzátor  $C_1$  na integrova-



Obr. 1. Schéma zapojení zesilovače

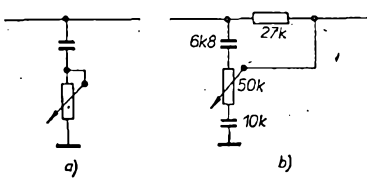
ný obvod MAA145 (lze použít i obvod MAA125 bez změny součástek, popř. MAA115, přičemž je třeba poněkud zvětšit odpor  $R_2$ ). Budíci a výstupní transformátorky jsou typu BT 38 a VT 38 (ze starších zásob). Zapojení koncového stupně je běžné a pro co nejmenší odběr proudu jsou použity za cenu menšího zesílení párované tranzistory 103NU70. Při uvádění do chodu je vhodné nahradit některé odpory odporovými trimry a pracovní bod nastavit individuálně. Odpor  $R_1$  a  $R_4$  lze nahradit trimry 1,5 M $\Omega$  a 4,7 k $\Omega$ ,  $R_3$  2,2 k $\Omega$ . Zapojení zesilovače je na obr. 1.

M. Neužil

### Úprava pasivního korektoru

Velmi často se u přístrojů nižší jakostní třídy vyskytuje pasivní korektor k regulaci výšek, zapojený podle obr. 1a. Jednoduchou úpravou podle obr. 1b z něho vznikne korektor, jenž nejen plní původní funkci, ale má větší rozsah a umožnuje lepší volbu zabarvení reprodukce.

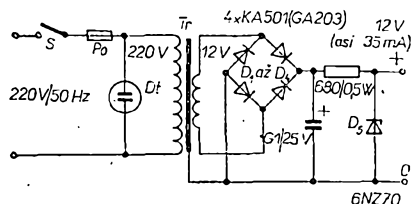
L. Nový



Obr. 1. Úprava korektoru

### Levný síťový zdroj pro amatérské konvertovery pro IV. a V. TV pásmo

S bateriovým napájením amatérského konvertoru mám zkušenosť, že baterie se dříve zničí chemickými pochody, než se vybije. Po určité době provozu je nutno baterie kontrolovat, aby vytékající elektrolyt neposkočil konvertor. A právě toto a úsporné důvody mě vedly k sestavení levného síťového zdroje z vyřazených součástek. Při tomto řešení lze i časťecně usporit prostor. Zapojení zdroje (obr. 1) je obvyklé zapojení dvoucestného usměrňovače, jehož výstupní napětí je stabilizováno Zenerovou diodou. Zdroj je doplněn indikační doutnavkou, která pouze signalizuje přítomnost síťového napěti. Výstupní napětí jsem zvolil 12 V, neboť vyhovuje tématu pro všechny konvertovery, jejichž zapojení byla u nás publikována. Ze zdroje lze odebírat proud asi 30 až 35 mA. Na celé konstrukci je problematické pouze získání síťového transformátorku. Proto jsem se rozhodl jej navinout na jádro vyřazeného budíčího transformátorku VT 38, který byl před časem v prodeji. Většina amatérů doma určitě najde ve své zásobě transformátorek této řady (VT 37, 38, 39, nebo BT...). Namísto původního vinutí jsem navinul primární vinutí pro 220 V, které má 9 600 z drátem CuL o  $\varnothing$  0,05 mm (lze použít i drát o  $\varnothing$  0,08).



Obr. 1. Schéma zapojení zdroje

Na izolační vrstvu na primárním vinutí jsem navinul sekundární, které má 555 z drátem CuL o  $\varnothing$  0,08 mm (max. 0,1 mm, jinak se na kostřu nevezde).

Transformátorové plechy je třeba dobré utěsnit, popř. je k sobě stáhnout, aby při provozu nekmitaly. Jádro transformátoru uzemníme. M. Neužil

# malý přehled LED

Ing. Karel Mráček

*V poslední době se na západním trhu (a i mezi našimi amatéry) objevuje velký počet typů sedmsegmentových displejů LED, nabízených za výhodné ceny, mnohdy nižší, než ceny digitronů. Protože se dostávají v mnoha typech různým způsobem i k nám, vyštíváva pořeba jejich určování a srovnatelnost. Při velkém množství výrobců se v typech orientuje velmi obtížně i pokročilý amatér v západních zemích. U nás je situace o to obtížnější, že chybí jakékoli katalogové podklady. Navíc při přebírání schémat ze zahraničních časopisů je často nutno použít displej nahradit tím, který máme po ruce. Tento článek má proto poskytnout přehled o vlastnostech a zámnostech jednotlivých typů.*

### Úvod

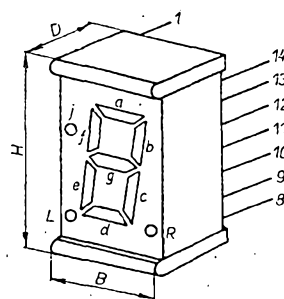
Nejprve jsou uvedena technická data jednotlivých displejů s jejich zapojením včetně vlnové délky vyzařovaného světla a přibližného tvaru. Jsou uvedeny pouze displeje se společnou anodou, které jsou nabízeny s naprostou převahou a jsou přímo použitelné v zapojeních s obvody TTL ve spojení s dekódérem SN7447.

Dále je uvedena srovnávací tabulka jednotlivých typů, umožňující rychlý přehled, a nakonec uvádíme několik poznámek, užitečných při volbě displeje.

### Technická data

V tabulce 1 jsou uvedena technická data displejů se společnou anodou. Nejsou uvedeny displeje s „divokým“ rozložením vývodů a typy sdružující několik číslic ve společném bloku, protože takový přehled by přesáhl rámec tohoto článku. Přibližný tvar zde uvedených displejů je na obr. 1. Rozměry jsou v tabulce 1. Některé výrobci i při malé číslici volí dost veliké rozměry základního bloku, s čímž je nutno počítat při montáži. Mohou také někdy nastat potíže při sestavování vícečíselného bloku. V obr. 2 je pro osvězení paměti uveden vztah mezi vlnovou délkou a barvou světla. Oba údaje jsou pro každý typ uvedeny v tabulce 1. Tam, kde není v tabulce údaj, výrobce jej neudává, nebo (u intenzity vyzařovaného světla) používá jednotku jinou, u nás neobvyklou.

Protože má tabulka velké rozdíly, uvádíme z technických důvodů vysvětlivky použitých symbolů zvlášť.



Obr. 1. Tvar sedmsegmentových displejů

Ve sloupci „Výrobce“ značí:

B - Boss, D - Dialco, E - EEP, H - Hewlett-Packard, L - Litronix, M - Monsanto, N - Noridian, O - Optoe, T - Texas Instruments, X - Xeonit.

Ve sloupci „Barva“ značí:

R - červená, G - zelená a Y - žlutá.

Symboly ve sloupci „Zapojení vývodu“ se vztahují k obr. 1. Přitom 0 znamená nezapojený přívod a - značí, že celý přívod chybí. Písmeno A značí anodu. Kde je značena u více vývodů, je zapotřebí všechny propojit!

Ve sloupci „Provozní hodnoty“ značí:

$I_p$  = maximální vyzařovanou vlnovou délku světla v nm,  
 $I_v$  = intenzitu vyzařovaného světla při udaném proudu v mcd,  
 $U_{f8}$  = napětí na segmentu při udaném proudu ve V,  
 $U_{fd}$  = napětí na teče při udaném proudu ve V,  
 $I_f$  = jmenovitý proud segmentu v mA.

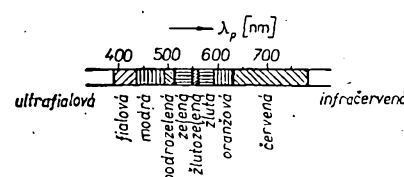
Ve sloupci „Mezní hodnoty“ značí:

$U_{rs}$  = maximální napětí na segmentu v závěrném směru ve V,  
 $U_{rd}$  = maximální napětí na teče v závěrném směru ve V,  
 $I_{s max}$  = maximální proud segmentu v mA,  
 $P_{tot}$  = celkový ztrátový výkon v mW.

Rozměry jsou uvedeny v mm, symboly se vztahují k obr. 1.

### Srovnávací tabulka

Je uvedena pro rychlý přehled zámnostech jednotlivých typů. V první řadě najdeme typ, který máme, ve svislém sloupci potom čteme typy, které můžeme našim nahradit. A značí ekvivalentní typ s přímou možností nahradby, B značí, že zámnost je možná, ale je nutno v tomto případě vyhledat v tab. 1 odlišnosti. Například dva typy mohou mít stejně vlastnosti, ale liší se vyzařovanou vlnovou délkou. Kde není uvedeno nic, je



Obr. 2. Vzájemný vztah vlnové délky a barev

záměna problematická, tzn. je např. nutno provádět změny v plošných spojích apod.

#### Poznámky k volbě displeje

Mnoho typů, které nejsou uvedeny v tabulce 2 jako podobné (B), lze přesto zaměnit i bez změny návrhu plošných spojů. Některé typy mají například vyvědenu jednu společnou anodu, jiné i tři dílny, které jsou buď spojeny uvnitř (potom je možno další odstranit), nebo je nutno spojit je vně (pívody je možno ohnout a spájet nad deskou s plošnými spoji ke hlavnímu přívodu). O vnitřním spojení se samozřejmě můžeme jednoduše presvědčit kontrolním zapojením. Přebytečné vývody označené v tab. 1 0 lze odštípat.

I když jsou dva typy displejů elektricky shodné, jejich optoelektronické vlastnosti se mohou lišit. Zpravidla jsou zelené a žluté displeje hůře čitelné nežli červené, i když oko zvýšenou citlivostí pro zelenou a žlutou částečně vyrovnává zhoršenou vyzařovací účinnost. Všeobecně platí, že nejméně světla poskytuje displej žlutý.

Poměrně dlouhá doba života displeje LED platí pouze za předpokladu, že bude dodržen jmenovitý proud podle tab. 1. Při zámeně typu bývá někdy nutno vypočítat nové katodové odpory podle vzorce

$$R_k = \frac{U_b - U_{fs}}{I_t} \quad [\text{k}\Omega; \text{V, mA}],$$

kde  $U_b$  je napětí zdroje,  $U_{fs}$  a  $I_t$  jsou udány v tab. 1.

Pracuje-li LED v multiplexním provozu, zkracuje se provozní čas a vzorec je možno změnit

$$R_k = \frac{U_b - U_{fs}}{n I_t}$$

kde  $n$  je počet míst. Za  $U_b$  dosadíme napětí zdroje zmenšené o saturaci napěti tranzistoru, který je zapojen v řízení multiplexního provozu.

#### Určení neznámého displeje

Protože výčet displejů nemůže být úplný, může se čtenáři snadno stát, že dostane ruky LED, který zde není uveden. Přesto je i tak možno určit poměrně snadno zapojení a provozní hodnoty. Při určování zapojení je vhodný libovolný stejnosměrný zdroj 3 V. Přes

Tab. 1. Technické údaje displejů

Typ	Barva	Zapojení vývodů														Provozní hodnoty					Mezní hodnoty				Míry				Výr.
		1	2	3	4	5	6	7	8	9	10	11	12	13	14	$\lambda_p$	$I_v$	$U_{fs}$	$U_{fd}$	$I_t$	$U_{rs}$	$U_{rd}$	$I_{s_{max}}$	$P_{tot}$	$B$	$H$	$D$	$h$	
BLM72R	R	a	f	A	—	—	L	e	d	0	c	g	—	b	A	697	0,25	1,9	1,9	10	5	5	25	400	10	19	4,6	7,7	B
BIM52G	G	a	f	A	—	—	L	e	d	0	c	g	—	b	A	560	0,25	1,9	1,9	10	5	5	25	400	10	19	4,6	7,7	B
BIM82Y	Y	a	f	A	—	—	L	e	d	0	c	g	—	b	A	580	0,25	1,9	1,9	10	5	5	25	400	10	19	4,6	7,7	B
EP 1	R	a	f	0	0	0	L	e	d	0	c	g	0	b	A	690	1,0	2,1	2,1	15	5,5	5,5	40	750	10	19	3,2	8,5	E
EP 21	R	a	f	A	—	—	L	e	d	0	c	g	—	b	A	697	0,25	1,9	1,9	10	5	5	25	400	10	19	4,6	7,7	E
EP 21 G	G	a	f	A	—	—	L	e	d	0	c	g	—	b	A	560	0,25	1,9	1,9	10	5	5	25	400	10	19	4,6	7,7	E
EP 21 Y	Y	a	f	A	—	—	L	e	d	0	c	g	—	b	A	580	0,25	1,9	1,9	10	5	5	25	400	10	19	4,6	7,7	E
EP 27	R	a	f	0	0	0	L	e	d	0	c	g	0	b	A	690	0,3	2,2	2,2	20	3	3	40	750	10	19	3,2	8,5	E
EP 28	R	a	f	0	0	0	L	e	d	0	c	g	0	b	A	690	0,6	2,2	2,2	20	3	3	40	750	10	19	3,2	8,5	E
5082-7730	R	a	f	A	—	—	L	e	d	0	c	g	—	b	A	655	0,25	1,6	1,6	20	6	6	25	400	10	19	4,6	7,6	H
5082-7731	R	a	f	A	—	—	0	e	d	R	c	g	—	b	A	655	0,25	1,6	1,6	20	6	6	25	400	10	19	4,6	7,6	H
5082-7750	R	a	f	A	—	—	L	e	d	0	c	g	—	b	A	655	0,25	1,6	1,6	20	6	6	25	400	13	19	6,4	11	H
5082-7751	R	a	f	A	—	—	0	e	d	R	c	g	—	b	A	655	0,25	1,6	1,6	20	6	6	25	400	13	19	6,4	11	H
DL 1 A	R	a	f	A	0	0	L	e	d	A	c	g	0	b	A	630	3,4	1,6	20	6	3	30	750	10	19	3	6,9	L	
DL 10	R	a	f	A	0	0	L	e	d	A	c	g	0	b	A	630	3,4	1,6	20	6	3	30	750	10	19	3	6,9	L	
DL 10 A	R	a	f	A	0	0	L	e	d	A	c	g	0	b	A	630	3,4	1,6	20	6	3	25	650	10	19	3	6,9	L	
DL 707	R	a	f	A	0	0	L	e	d	A	c	g	0	b	A	630	1,4	1,7	1,7	20	3	3	30	500	11	20	7,4	7,6	L
DL707R	R	a	f	A	0	0	R	e	d	A	c	g	0	b	A	630	1,4	1,7	1,7	20	3	3	30	500	11	20	7,4	7,6	L
MAN 1	R	a	f	A	0	0	L	e	d	A	c	g	0	b	A	630	3,4	1,6	20	6	3	30	750	10	19	3	6,9	M	
MAN 1A	R	a	f	A	0	0	L	e	d	A	c	g	0	b	A	630	3,4	1,6	20	6	3	30	750	10	19	3	6,9	M	
MAN 5	G	a	f	A	—	—	L	e	d	A	c	g	—	b	A	565	0,23	2,5	2,5	20	3	3	40	960	11	20	5,8	6,9	M
MAN 7	R	a	f	A	—	—	L	e	d	A	c	g	—	b	A	630	0,2	2,0	2,0	20	5	5	30	960	11	20	5,8	6,9	M
MAN 8	Y	a	f	A	—	—	L	e	d	A	c	g	—	b	A	589	0,25	2,5	2,5	20	6	3	40	960	11	20	5,8	6,9	M
MAN 51	G	a	f	A	—	—	R	e	d	A	c	g	—	b	A	565	0,32	2,5	2,5	20	3	3	30	700	10	20	5	7,6	M
MAN 52	G	a	f	A	—	—	L	e	d	A	c	g	—	b	A	565	0,32	2,5	2,5	20	3	3	30	700	10	20	5	7,6	M
MAN 71	R	a	f	A	—	—	R	e	d	A	c	g	—	b	A	650	0,3	1,6	1,6	20	5	5	30	700	10	20	5	7,6	M
MAN 72	R	a	f	A	—	—	L	e	d	A	c	g	—	b	A	650	0,3	1,5	1,6	20	5	5	30	700	10	20	5	7,6	M
MAN 81	Y	a	f	A	—	—	R	e	d	A	c	g	—	b	A	590	0,34	2,5	2,5	20	3	3	30	700	10	20	5	7,6	M
MAN 82	Y	a	f	A	—	—	L	e	d	A	c	g	—	b	A	590	0,34	2,5	2,5	20	3	3	30	700	10	20	5	7,6	M
MAN 3610	Oran.	a	f	A	—	—	R	e	d	A	c	g	—	b	A	630	1,2	2,0	2,0	10	3	3	20	400	10	20	5	7,6	M
MAN 3620	Oran.	a	f	A	—	—	L	e	d	A	c	g	—	b	A	630	1,2	2,0	2,0	10	3	3	20	400	10	20	5	7,6	M
NOR 1	R	a	f	0	0	0	L	e	d	0	c	g	0	b	A	690	1	2,1	2,1	15	5,5	5,5	40	750	10	19	3,1	8,4	N
NDP 1	R	a	f	0	0	0	0	e	d	0	c	g	0	b	A	690	1	2,1	2,1	15	5,5	5,5	40	750	10	19	3,1	8,4	N
NOR 1R	R	a	f	0	f	g	0	e	A	d	c	0	0	R	b	690	1	2,1	2,1	15	5,5	5,5	40	750	10	19	3,1	8,4	N
NOR 1C	R	a	f	j	0	0	L	e	d	0	c	g	0	b	A	690	1	2,1	2,1	15	5,5	5,5	40	750	10	19	3,1	8,4	N
NOR 7	R	a	f	0	0	0	L	e	d	0	c	g	0	b	A	690	0,3	2,2	2,2	20	3	3	40	750	10	19	3,1	8,4	N
NOR 8	R	a	f	0	0	0	L	e	d	0	c	g	0	b	A	690	0,6	2,2	2,2	20	3	3	40	750	10	19	3,1	8,4	N
SLA 1	R	a	f	0	0	0	L	e	d	0	c	g	0	b	A	690	1	2,1	2,1	15	5,5	5,5	40	750	10	19	3,2	8,4	O
SLA 7	R	a	f	0	0	0	L	e	d	0	c	g	0	b	A	690	0,3	2,1	2,1	20	3	3	40	750	10	19	3,2	8,4	O
SLA 11	G	a	f	0	0	0	L	e	d	0	c	g	0	b	A	560	0,7	2,6	2,6	40	5,5	5,5	50	1480	10	19	3,2	8,4	O
SLA 21	Y	a	f	0	0	0	L	e	d	0	c	g	0	b	A	580	0,7	2,6	2,6	40	5,5	5,5	50	1480	10	19	3,2	8,4	O
TIL 302	R	a	f	A	—	—	L	e	d	A	c	g	—	b	A	650	0,28	3,4	1,6	20	6	3	30	800	10	19	3	6,5	T
TIL 303	R	a	A	f	g	—	e	A	d	c	R	—	—	A	b	650	0,28	3,4	1,6	20	6	3	30	800	10	19	3	6,5	T
XAN 72	R	a	f	A	—	—	L	e	d	0	c	g	—	b	A	697	0,25	1,9	1,9	10	5	5	25	400	10	19	4,6	7,7	X
XAN 52	G	a	f	A	—	—	L	e	d	0	c	g	—	b	A	560	0,25	1,9	1,9	10	5	5	25	400	10	19	4,6	7,7	X
XAN 82																													

sériový odpor  $150\ \Omega$  se dotýkáme vždy dvou vývodů tak dlouho, až se nám podaří jeden segment rozsvítit. Potom vyzkoušíme, jedná-li se o typ se společnou anodou (jako všechny typy zde uvedené), nebo katodou (např. Litronix DL704). Postupně tak rozsvícením určíme celé zapojení. Provozní proud volíme odhadem podle velikosti číslice srovnáním s tab. I. Kde je pro stejnou číslici více hodnot, volíme z opatrnosti vždy menší.

Může se také stát, že čtenář dostane

do ruky sdružený, třeba osmimístný displej s „podezřele“ malým počtem vývodů – pro náš případ 16. Znamená to, že displej je určen pro multiplexní provoz, sdružená anoda je vyvedena pro každé číslo zvlášť a katody odpovídající cíh si segmenty jednotlivých čísel jsou vyvedeny paralelně.

pádné digitrony, které svou velikostí i napájením v mnoha případech silně zmenšují výhody obvodů TTL, tj. malé rozměry, malé napájecí napětí a nezávislost na síti. Teprve diody LED umožňují využít těchto výhod a konstruovat malé a na síti nezávislé digitální hodiny, čítače, voltmetry apod.

Závěr

Článek má být jakousi „kuchařkou“, umožňující v nejširších mezích použití displejů LED a jejich zámenu za těžko-

*Tab. 2. Srovnávací tabulka displejů*

## Literatura

Firemní listy  
Elektor 53/1975

## STABILIZÁTOR NAPĚTI SE SPOJITOU REGULACÍ VÝSTUPNÍHO NAPĚTI V ROZSAHU 0 AŽ 20 V S MAA723

S aplikacemi integrovaného monolitického stabilizátoru MAA723, popř. MAA723H jsme se setkali na stránkách AR i RK již několikrát. Byla popsána různá zapojení napěťových stabilizátorů kladného i záporného napětí, dále zapojení spojité sériových i paralelních stabilizátorů, a to jak s pevnou, tak i s tzv. plovoucí zemí monolitického obvodu. Dále byla uvedena i zapojení stabilizátorů, pracujících ve spinacím režimu. U popsánych stabilizátorů se obvykle používalo pevné omezení výstupního proudu; v některých případech bylo popsáno i proudové omezení s kladnou zpětnou vazbou, která při zkratu zmenšuje výstupní proud např. na jednu třetinu proudu, při němž „nasazuje“ omezení proudu.

V jednom z posledních příspěvků bylo popsáno zapojení, u něhož bylo možno nastavit omezení výstupního proudu spojité od nuly např. do dvou ampérů. Všechny dosud uveřejněné stabilizátory měly jednu společnou vlastnost: jejich výstupní napětí nebylo možno nastavit od nuly, ale od nějaké určité meze různé od nuly, např. od 2 V.

V tomto příspěvku je popsáno, jak lze zapojit stabilizátor napětí (sobodem MAA723), jehož výstupní napětí lze řídit plynule od nuly do zvolené velikosti.

Schéma stabilizátoru je na obr. 1. Je použit monolitický obvod MAA723, dva tranzistory p-n-p typu KF517 a jeden výkonový tranzistor (KD502). Stabilizátor je navržen pro výstupní napětí 0 až 20 V a výstupní proud až 2 A. Časová i teplotní stabilita zapojení je velmi dobrá, neboť závisí pouze na vnitřním referenčním napětí (stabilizační dioda na čipu obvodu MAA723) a nikoli na úrovni výstupního napětí.

Ke zjednodušení návrhu je výhodné volit poměry tak, aby platilo

R\_1 = R\_4 \quad \text{a} \quad R\_2 = R\_5.

Tato volba také zlepšuje (rozšiřuje) rozsah výstupního napětí a zmenšuje teplotní drift zesilovače chyběvýho napětí. Regulační potenciometr  $R_3$  je volen tak, aby příliš velkým proudem nezatěžoval zdroj referenčního napětí. Při referenčním napětí 7,15 V je při uvedeném potenciometru proud asi

3 mA, což splňuje uvedenou podmíinku s rezervou. Odpor  $R_6$  (47 Ω) přispívá ke zmenšení zbytkového proudu výkonového tranzistoru a tím k dobré funkci stabilizátoru při velmi malých odběrech proudu.

Z podmíny, že pro ustálený stav musí být na obou vstupech zesilovače chyběvýho napětí stejně napětí, lze stanovit vztah pro výpočet výstupního napětí

$$U_{2 \max} = U_{ref} \frac{R_2}{R_1}.$$

Odpor  $R_1$  se volí záměrně větší, aby zdroj referenčního napětí nebyl zatěžován velkým odběrem proudu. Protože obvykle známe požadovanou horní mez výstupního napětí a  $U_{ref}$  je 7,15 V, pak při zvoleném odporu  $R_1$  určíme odpor  $R_2$  ze vztahu

$$R_2 = \frac{U_{2 \max}}{U_{ref}} R_1.$$

Ostatní odpory lze určit z dale uvedených vztahů, jejichž odvozením se vzhledem k obšírnosti výpočtu nebudeme zabývat: – odpor  $R_7$  omezuje výstupní řídící proud z monolitického obvodu asi na 10 mA a určíme ho ze vztahu

$$R_7 = 0,1 U_1 - 0,62 \quad [\text{k}\Omega; \text{V}];$$

přičemž vstupní napětí  $U_1$  nezmí (podle údajů výrobce) být větší než 40 V; – odpor  $R_8$  určuje omezení proudu na výstupu podle vztahu

$$R_8 = \frac{0,65}{I} \quad [\Omega; \text{A}];$$

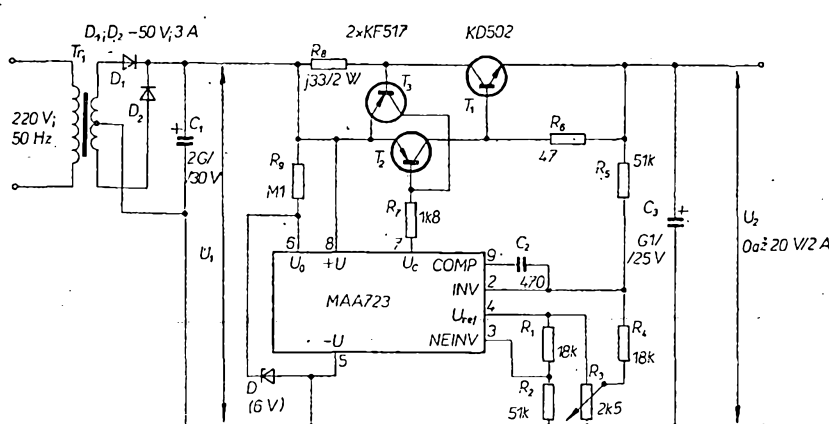
– odporem  $R_9$  se nastavuje proud Zenerovy diody  $D$  na několik mA, odpor lze určit ze vztahu

$$R_9 = 5 U_1 - 31 \quad [\text{k}\Omega; \text{V}].$$

Uvedené vztahy můžeme použít k návrhu sériového stabilizátoru s libovolným rozsahem regulace od 0 až do maximálního výstupního napětí asi 35 V. Při součástkách podle obr. 1 je výstupní napětí stabilizátoru 0 až 20 V a výstupní proud až 2 A.

Popsané zapojení kromě jiného potvrzuje i to, že obvod MAA723 je velmi univerzální a že zavedení jeho výroby bylo velmi účelné a promyšlené.

Ing. Jiří Zima



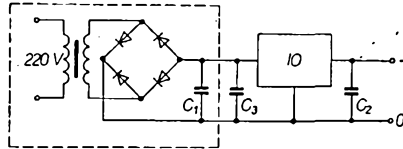
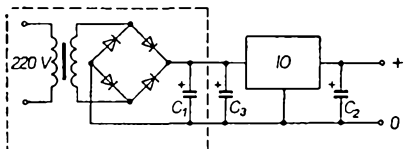
# Integrované stabilizované zdroje

Ing. Karel Mráček

Zdroje stabilizovaného napětí s integrovanými obvody byly již v minulosti na stránkách AR popsané. V poslední době získávají však ve světě oblibu (v neposlední řadě pro svoji jednoduchost) integrované zdroje s pevně nastaveným napětím. Podávám proto jejich stručný přehled, způsob návrhu doplňujících součástek a různá speciální použití.

## Úvod

Všechny regulátory s pevně nastaveným napětím pracují na stejném principu, jako již dříve popsány obvod MAA723. Mají však proti němu celou řadu výhod. Především prostorově – jsou zapouzdřeny do pouzder obvyklých u výkonových tranzistorů a mají také pouze tři vývody: vstup, výstup a společnou zem. Tím odpadá celá řada dalších součástek a základní schéma celého zdroje vypadá potom podle obr. 1a pro zdroj kladného napětí a podle obr. 1b pro zdroj napětí záporného. Odpadá složitý plošný spoj, výběr součástek a jakékoli nastavování. Všechny zdroje bez výjimky jsou vybaveny výstupní ochranou proti zkratu, některé, označené v přehledu, mají ještě přidavnou tepelnou ochranu a ochranu sériového tranzistoru proti přetížení. Stručný přehled vyráběných zdrojů, který si samozřejmě neklade neúměrné nároky na úplnost, podává tab. 1 pro zdroje kladného napětí a tab. 2 pro zdroje napětí záporného.



Obr. 1. Zapojení síťového zdroje a) s kladným b) se záporným výstupním napětím

Tab. 1. Integrované zdroje s kladným výstupním napětím (pokračování na str. 454)

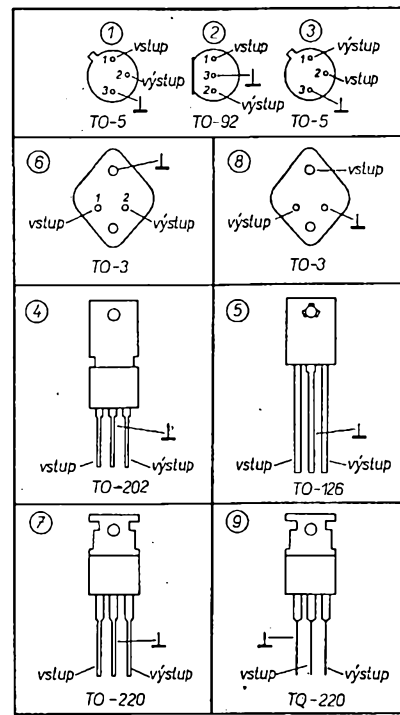
Typ	$U_{\text{vyst}}$ [V]	$I_{\text{vys}}$ [A]	min. [V]	$U_{\text{vyst}}$ max. [V]	Teplotní ochrana	Ochrana sér. tr.	Pouzdro	Umístění vývodu
LM78L05	5	0,1	7	20	x	x	TO-5,92	1,2
TBA625A	5	0,13	8	20	—	—	TO-5	3
LM342-05	5	0,2	7,5	20	x	x	TO-202P	4
μA78M05	5	0,2	7	20	x	x	TO-5	1
LM341-5,0	5	0,5	7,5	20	x	x	TO-202P	4
L129	5	0,85	7,5	20	—	—	TO-126	5
TBA325A	5	1	8	20	—	—	TO-3	6
LM309K	5	1	7	35	x	—	TO-3	6
LM340-05	5	1,5	7	35	x	x	TO-220	7
LM323K	5	3	7,5	20	x	x	TO-3	6
LM5000	5	3	9	20	x	—	TO-3	8
LM342-6	6	0,2	8	25	x	x	TO-202P	4
LM341-6,0	6	0,5	7,2	25	x	x	TO-202P	4
μA78M06	6	0,5	9	21	x	x	TO-5	1
LM340-6	6	1,5	8	25	x	x	TO-220,3	7,6
μA7806	6	1,5	8	25	x	—	TO-220,3	7,6
LM78L08	8	0,1	10,5	23	x	x	TO-5,92	1,2
LM342-8	8	0,2	11	23	x	x	TO-202	4
A78M08	8	0,5	11,5	23	x	x	TO-5	1
LM341-8,0	8	0,5	10,5	25	x	x	TO-202	4,2
μA7808	8	1,5	10,5	25	x	—	TO-3,220	6,7
LM 340-8	8	1,5	10,5	25	x	x	TO-3,220	6,7

## Návrh síťového zdroje

Přidržíme se zapojení podle obr. 1 a volbu jednotlivých součástí si nejlépe ukážeme na praktickém příkladě.

**Příklad:** Navrhnut zdroj 12 V, 60 mA. Z tab. 1 je zřejmé, že tomuto požadavku vyhoví každý z uvedených obvodů, nastavený na napětí 12 V. Použijeme tedy bud obvod, který se nám podařilo sehnat, nebo, máme-li větší možnosti, vybereme si podle tvaru pouzdra. Přitom je nutné dát si dobrý pozor na zapojení vývodů, které podle odkazu v tabulce podává obr. 2. Výrobci totiž nejsou zdaleka jednotní a vývarujeme se tak mnohdy zničení obvodu. Přípustné vstupní napětí udává tabulka. Blížíme-li se k maximální hodnotě, zbytcně se mnoho energie mění v teplo, při napětí blízkém spodní hranici se při výkyvech síťového napětí můžeme dostat mimo rozsah stabilizace. V našem případě je vhodné napětí asi 20 V. Pro sekundární vinutí síťového transformátoru tedy platí přibližně

$$U_{\text{sek}} = \frac{20}{\sqrt{2}} = 15,5 \text{ V}.$$



Obr. 2. Zapojení vývodů IO z tab. 1 a 2 (v části 6 jsou zaměněny vývody vstup a výstup)

Je možné použít transformátor se sekundárním napětím 15 V. Kondenzátor  $C_1$  volíme podle známé „skalní“ poučky – na 1 A proudu 2 200  $\mu\text{F}$ . Postačí tedy kondenzátor 200  $\mu\text{F}$ . Potlačení brumu u integrovaných zdrojů bývá nejméně 30 dB. Zapojení kondenzátoru  $C_2$  o velikosti asi 10  $\mu\text{F}$  na výstupu můžeme poměry ještě o několik dB vylepšit. Kondenzátor  $C_3$  o stejně kapacitě jako  $C_2$  použijeme pouze v tom případě, když  $C_1$  není v blízkosti integrovaného obvodu (IO).

## Speciální případy Zvětšení výstupního napětí

Máme-li náhodou k dispozici integrovaný zdroj s nižším napětím, nežž využíváme, je možno si vypomoci podle obr. 3.

Pro výsledné výstupní napětí platí

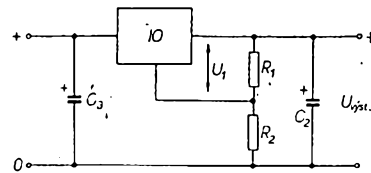
$$U_{\text{vyst}} = U_1 \left( 1 + \frac{R_2}{R_1} \right) + I_R R_2,$$

kde  $U_1$  je výstupní napětí IO,

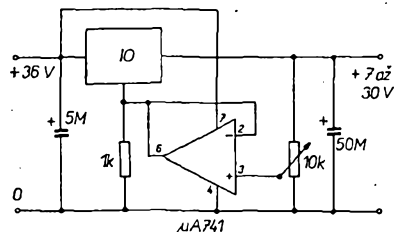
$I_R$  je klidový proud IO.

Protože klidový proud se může u téhož typu lišit i o celé násobky, je nutné jej pro každý jednotlivý kus změřit.

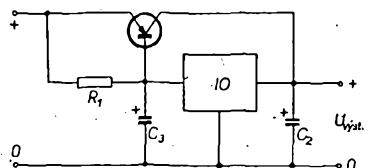
Další možnost rozšíření rozsahu regulače výstupního napětí je v kombinaci s operačním zesilovačem μA741, po



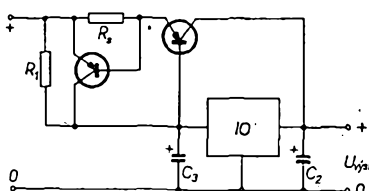
Obr. 3. Zapojení pro zvětšení výstupního napětí



Obr. 4. Zapojení s operačním zesilovačem pro zvětšení rozsahu regulace



Obr. 5. Princip zapojení pro zvětšení výstupního proudu



Obr. 6. Dokonalejší zapojení pro zvětšení výstupního proudu

malé úpravě i s MAA501. Zapojení je na obr. 4. Pro obvod LM309K je rozsah regulace 1 až 30 V při maximálním odběru 1 A.

#### Zvětšení výstupního proudu

Princip zapojení je na obr. 5. Regulátor je sice chráněn proti přetížení, ne tak už ale výkonový tranzistor. Složitější zapojení, které počítá i s jeho ochranou, je na obr. 6.

#### Závěr

Uvedené příklady lze samozřejmě plně aplikovat i na obvody se záporným výstupním napětím. Kombinaci kladného a záporného obvodu získáme zdroj symetrického napětí, vhodný např. pro operační zesilovače.

Na konec ještě ve stručnosti několik užitečných zásad:

1. proudové vedení dostatečně dimenzovat (průřez vodiče nebo šířka plošného spoje) a vést je co možno nejkratší cestou.
2. Zemnicím bodem pro celý zdroj je záporný pól kondenzátoru  $C_1$  (obr. 1). Vyvarujte se složitých dílčích zemních vedení.
3. Výrobci  $IO$  bez výjimky doporučují na místo  $C_2$  a  $C_3$  kondenzátory tantalové, i když jsou podstatně dražší. Volba jejich kapacity není kritická, a proto se hlavně řídí výrobčou řadou.

#### Literatura

Aplikační listy Fairchild, NS, Motorola  
Elektor 54

Typ	$U_{výst}$ [V]	$I_{výst}$ [A]	min. [V]	$U_{výst}$ max [V]	Teploplotní ochrana	Ochrana sér. tr.	Pouzdro	Umístění vývodů
TBA435	8,5	0,14	13	25	—	—	TO-5	3
LM342-10	10	0,2	13	25	x	x	TO-202	4
TBA625B	12	0,1	15	27	—	—	TO-5	3
LM78L12	12	0,1	14,5	27	x	x	TO-5,92	1,2
LM342-12	12	0,2	15	30	x	x	TO-202	4
LM341-12	12	0,5	14,5	30	x	x	TO-202	4
μA78M12	12	0,5	14,5	30	x	x	TO-5	1
TBA325B	12	0,7	15	27	—	—	TO-3	6
L130	12	0,72	14,5	27	—	—	TO-126	5
LM340-12	12	1,5	17,5	30	x	x	TO-3,220	6,7
μA7812	12	1,5	14,5	30	x	—	TO-3,220	6,7
TBA625C	15	0,1	18	27	—	—	TO-5	3
LM78L15	15	0,1	17,5	30	x	x	TO-5,92	1,2
LM342-15	15	0,2	18	30	x	x	TO-202	4
μA78M15	15	0,2	17,5	30	x	x	TO-5	1
LM341-15	15	0,5	17,6	30	x	x	TO-202	4
TBA325C	15	0,5	18	27	—	—	TO-3	6
L131	15	0,6	17,5	27	—	—	TO-126	5
LM340-15	15	1,5	17,5	30	x	x	TO-3,220	6,7
μA7815C	15	1,5	17,5	30	x	—	TO-3,220	6,7
LM78L18	18	0,1	21,4	33	x	x	TO-5,92	1,2
LM342-18	18	0,2	21	33	x	x	TO-202	4
LM341-18	18	0,5	20,7	30	x	x	TO-202	4
LM340-18	18	1	21	33	x	x	TO-3,220	6,7
μA7818	18	1,5	21	33	x	—	TO-3,220	6,7
μA78M20	20	0,5	23	36	x	x	TO-5	1
LM78L24	24	0,1	27,5	38	x	x	TO-5,92	1,2
LM342-24	24	0,2	27,2	38	x	x	TO-202	4
LM341-24	24	0,5	27	38	x	x	TO-202	4
LM340-24	24	1	27	38	x	x	TO-3,220	6,7
μA7824	24	1,5	27	38	x	—	TO-3,220	6,7

Tab. 2. Integrované zdroje se záporným výstupním napětím

LM320T5,0	-5	1,5	-7,5	-25	x	—	TO-220	9
LM345	-5	3	-7,8	-20	x	x	TO-3	8
LM320T6,0	-6	1,5	-8,5	-25	x	—	TO-220	9
LM320T8,0	-8	1,5	-11	-25	x	—	TO-220	9
LM320T12	-12	1,5	-15	-32	x	—	TO-220	9
LM320T15	-15	1,5	-18	-35	x	—	TO-220	9
LM320T18	-18	1,5	-21	-35	x	—	TO-220	9
LM320T24	-24	1,5	-27	-35	x	—	TO-220	9

## Univerzální intervalový spínač stíračů

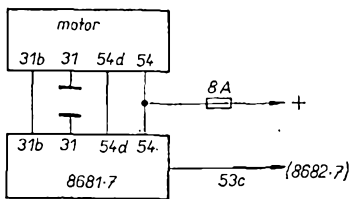
J. Vlčka

Pozn. redakce: v článku autor popisuje úpravy továrně vyráběného intervalového spínače z NDR, které umožní jeho použití i pro jiné typy automobilů. Vzhledem k tomu, že s intervalovým spínačem se čtenáři setkali na stránkách ČR i RK již několikrát, ponecháváme článek v původním „telegrafickém“ zpracování autora pouze s nejznutnějšími úpravami.

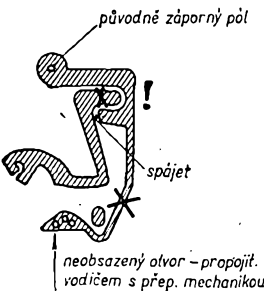
Intervalový spínač pro vozy NDR (Trabant, Wartburg 311, 312, W50, B1000 aj.) se vyrábí ve dvou variantách: jako spínač pouze pro stírače (typ 8681.7) a jako intervalový spínač stíračů, kombinovaný se spínačem kontaktem pro ostřívkač (typ 8682.7). Z návodu přiloženého ke každému výrobku si zopakujeme, že nesmíme zaměnit kontakt 54 a 54d (nebezpečí „upečení“ plošného spoje), přip. 31 a 54. Pro omývač slouží kontakt 53 (ovládán záporným polem napětí). Propojení mezi motorem stírače a intervalovým spínačem je na obr. 1. Spínač lze připojit k rozvodu 6 i 12 V

(obr. 1). Jsou taci, kteří zakoupili spínač pro jiný typ vozu nevědomky anebo proto, že doufali, že spínač bude možno upravit.

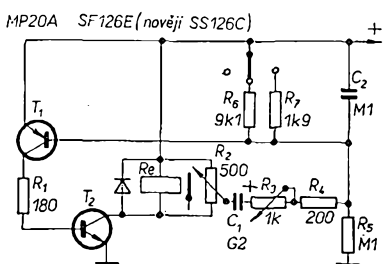
Původní spínač spíná v poloze „vyprůnuto“ vývody 54(+) a 54d a rozpíná 31b a 31. Proto i intervalový spínač v poloze pro trvalý chod stíračů spiná vývody 31 a 31b (v poloze vypnuto je rozpojuje), a to přímo mechanikou spínače; v další poloze I-III přivádí záporný pól napětí (tj. vývod 31) k plošnému spoji – viz níže. Sepnutí, popř. rozpojení vývodů 54, 54d obstarává relé. Před úpravou elektroniky musíme spínač rozebrat.



Obr. 1. Spojení motorku se spínačem



Obr. 3. Úprava plošných spojů



Obr. 2. Schéma zapojení intervalového spínače

Abychom mohli upravit desku s plošnými spoji, musíme nejprve sejmout kryt z PVC (západky krytu mírně roztahnout od sebe na krátkých bočnicích), jehož polohu díky nesouměrně umístěným kontaktům 54, 54d nelze zaměnit; zbývá odvrátat nýty, mechanicky spojující desku s plošnými spoji, bakelitovou desku a kovový kryt. Po odvrácení nýty pozor: mezi bakelitovou deskou, která nese kontakty 31, 31b, popř. 53c a kryci kovovou částí je umístěna silná pružina, která svou direktivní silou přitlačuje sběrací lištu ke kontaktům. Poprvé se s ní setkáme, chceme-li vyjmout knoflík (proti směru otáčení hodinových ručiček, zamáčknout – pružina – a opět pootočit ve stejném smyslu – viz návod). Přepínací mechanika je spojena s deskou plošných spojů jediným přívodem, který je pro zjednodušení pájení umístěn ve výrezu. Po odpájení opět přepínaci mechaniku sestavíme a spojíme alespoň dvěma šroubkami M3 x 20. Pro ty, kterým pružina „vystřeli“ součástky: základní bakelitovou desku orientujeme zahnutými vývody směrem dolů a postupně na sebe skládáme: bakelitovou deskou, kovový kroužek s výrezem, sběrací lištu, pružinu, bakelitový palec. Dolní část palce zapadá do výrezu v základní desce a sousedí tak s plošnými spoji. Tato dolní část má čtverhranný výrez, do něhož zapadá rohatka, tlačená k plošným spojům malou pružinkou. Po sešroubování výše popsaný „polotovar“ přepínací mechaniky obrátíme vzhůru (knoflíkem dolů), do čtverhranného výrezu zasadíme pružinu a rohatku a můžeme přikročit ke kompletnímu sesazení. Na šrouby, jimiž byla mechanika sešroubována, je nutno navléci ještě desku s plošnými spoji, přičemž se mechanika nesmí rozpadnout (pružina!).

Popisovaná úprava elektroniky, která následuje, je určena pro ty, kteří hodlají ovládat motorek stírače ovládáním přívodu kladného pólů napájecího napětí (např. Renault R4CV).

Polovodiče a jejich ekvivalenty (obr. 2): SF126E = KF507 (p-n-p = KF517), MP20A = GC510 (n-p-n = GC520).

#### První alternativa

Při této úpravě se jedná o to, zaměnit přepínací kontakty relé. Jako nejschůd-

nější řešení se nabízí upravit desku s plošnými spoji (obr. 3). Nejprve pájením zbavíme cínu místo po spoji s přepínací mechanikou a zároveň přihneme směrem k bakelitové desce mosazný vývod (nebezpečí zkratu kladné a záporné větve). Nyní přerušíme dvakrát fólie spoju v označených místech, naopak na jednom místě ji pájením propojíme. Do volného, neobsazeného otvoru zapojíme asi 5 cm dlouhý kablík, jehož druhý konec při konečné montáži propojíme s mosazným přívodem na přepínací mechaniku. Emitor SF126E a odpór 100 k $\Omega$  bude tak nahradním způsobem připojen k zápornému pólmu napájecího napětí. Po přezkoušení, zda je fólie bezpečně dvakrát přerušena a jednou propojena, zvýšíme spoj desky s plošnými spoji s přepínací mechanikou. Taktéž upravený intervalový spínač připojíme do vozu takto: 54 = +, 54d k motoru stírače, 31 k -, popř. ostříkovač k 53c (jeho záporný pól; kladný pól ostříkovače trvale spojíme s rozvodem kladné větve ve voze). Před připojením ostříkovače se pro jistotu přesvědčíme, zda vlastní typ, který (jako drtivá většina ostříkovačů) nemá „kostřen“ žádný přívod (zkrat!).

#### Druhá alternativa

Výše popisovaná úprava vyžaduje pro chod motoru stírače trvale zařadit zvláštní spínač. To není výhodné jednak proto, že je optimální vždy minimální počet ovládacích prvků, v některých případech i proto, že nelze použít původní spínač, neboť je konstrukčním celkem (právě R4CV). V tomto případě však můžeme kablík, popisaný v minulé kapitole, přivádějící záporný pól napájecího napětí, využít krytem a zemnit přímo. Pak využijeme možnosti přepínací mechaniky, neodehneme mosazný přívod, zapojíme jej jako před rozebráním a kontakty zapojíme takto: 54 nezařoven, 31 +, 31b přívod kladného napětí pro motor paralelně k 54d, 53c ostříkovač (je zde spinán kladný pól, tedy záporný pól zemníme). Z toho, že je kryt (popř. šroubení) kovový, nemusíme mít obavy, neboť není elektricky propojen s žádným vývodem.

Závěrem tohoto odstavce upozorňuji, že jakoukoli úpravou originálního spínače zaniká záruka. Různé varianty úprav však umožňují vyhovět majiteli v nejrůznějších požadavcích.

#### Třetí alternativa

Ze všech úprav je tato úprava nejlegantnejší. Změníme polaritu, což znamená kromě přeplovování zaměnit polovodiče (n-p-n – p-n-p). Po výměně bude připojen spínač takto: 54 –, 31 přívod +, 31b plus k motoru, popř. 53c + k ostříkovači; 54d ovládá minus (viz. úvodní vlastnosti – činnost relé).

Tranzistor SF126E (KF507) musíme nahradit jeho doplňkovým typem, tzn. KF517 (nebo zahraničním), MP20A rovněž ekvivalentem, v tomto případě n-p-n tranzistor SF126E nelze použít bez změny pracovního bodu (křemíkový germaniový tranzistor). Při této příležitosti lze upozornit, že v první poloze přepínače se používá základní kmitočet obvodu, v dalších dvou se uplatňují odpory v bázi tranzistoru  $T_1$ . Nevyhovuje-li délky intervalů, lze odpory nahradit trimry. Přesto, že bylo mnoho zásad (např. záměna typu p-n-p za n-p-n), již na stránkách AR uvedeno, připomínám známou skutečnost, že vícekrát opakovaným pájením se může plošný spoj zničit.

Závěrem stežejní bod této úpravy. V poloze I-III propojí přepínač mechanika vývod 31, tedy kladný pól k plošnému spoji (k elektronické části spínače). V tom okamžiku je však ještě kotva motoru v klidu a vývod 54d je tedy propojen se záporným pólom, tj. 54. Při případném přerušení vinutí relé by nastal trvalý zkrat a plošný spoj by se zničil. Proto je nutno při třetí alternativě přerušit plošný spoj (označeno v obr. 3 vykříčkem). Vývod 54d připojíme k 31b (kladný pól motoru); to je druhý důvod k přerušení plošného spoje, neboť při poloze „trvalý chod“ je kladné napětí na svorce 31b a tedy i na svorce 54d, která je ovšem při trvalém chodu (kotva v klidové poloze) propojena se záporným pólom (tedy trvalý zkrat). Třetí alternativa tedy vyžaduje přerušit plošný spoj a vyměnit dva tranzistory. Překročilo by rámcem článu uvažovat o tom, která alternativa je optimální, neboť každá má klady i zápory.

#### Činnost elektroniky

Tranzistor  $T_2$  je řízen proudem tekoucím do jeho báze přes  $T_1$ , neboť tranzistory jsou různého typu (p-n-p – n-p-n). Proud tekoucí  $T_1$  závisí na napětí na bázi  $T_1$ . V okamžiku připojení zdroje není kondenzátor  $C_1$  nabité; do báze  $T_1$  potecé proud přes  $R_s$ , tranzistor se otevře a jeho proud začne otevírat  $T_2$  až do stavu nasycení. Proud protékající relé se zvětší a zároveň s ním i náboj kondenzátoru  $C_1$ ; tento náboj se odčerpává otevírajícím se  $T_1$  až do rovnovážného stavu. Když zanikne proud  $I_c T_1$ , uzavře se  $T_2$  a kotva relé odpadne. Na kolektoru  $T_2$  je téměř plné kladné napětí a náboj  $C_1$  ovlivňuje napětí na bázi  $T_1$ , který je tedy dokonale blokován. Na střídnu má vliv především kapacita  $C_1$ . Dobu odpadu kotvy není vhodné ovládat odporem  $R_s$ , neboť je-li  $R_s$  příliš malý, vysadí multivibrátor. Pak musíme adekvátně zmenšovat kapacitu  $C_1$ , čímž zkracujeme dobu sepnutí; tu můžeme opět prodloužit zvětšením  $R_3$ ,  $R_4$ . Odpor  $R_1$  omezuje maximální proud  $T_2$ . Problematikou se zabývá RK 2/67 (schéma obr. 16). a jako „kuchařka“ psaný článek „Ještě jednou regulátor rychlosti stíračů“ autora dr. P. Kuriče (AR 4/69), v němž je opomenuta ochranná dioda. (V původním schématu v RK nebyla totiž záťez indukční). Činnost diody je jednoduchá; protéká-li relé proud, je dioda polarizována v závěrném směru a neuplatní se. Po přerušení proudu se změní polarita na indukční záťez; toto napětí je zkratováno.

# Jednodušné početní řešení lineárních tranzistorových útvarek

Ing. M. Pacák

Početnímu způsobu řešení tranzistorových obvodů se od počátku polovodičové doby skoro každý využívá z důvodu věcných i jiných: údaje potřebné k výpočtu nejsou vždy po ruce a jejich určování bývá asi stejně pracné jako přímé měření přenosu na vzorku. Příslušné úplné vzorce jsou nepřehledné, nenázorné a těžko je možno pamatuji. Dnešní elektronické systémy využívají většinou záporných zpětných vazeb, přičemž zisk rozpojené smyčky stačí znát jen rádové. Při použití katalogových údajů bývají tolerance polovinou až dvoujnásobkem jmenovité hodnoty, takže jejich použití v úplných, přesných vzorcích je problematické, a jejich vyčíslení je nepřiměřeně pracné, není-li k dispozici alespoň kapesní počítač. Přesto se v praxi využívají případně, u nichž je výpočet přenosových hodnot stupňem velmi užitečný, ať už pro odhad správnosti navrhovaného řešení, nebo pro zabezpečení optimálních vlastností zapojení vhodnou volbou této součásti, na nichž záleží nejvíce. Zejména pro tento druhý účel využívají přibližné hodnoty parametrů, protože stačí jen formální výstížnost výsledku; není zapotřebí, aby byl číselně přesný.

## Přehled vzorců

Dosazuje se ve voltech, miliamperech, kilohmech, označení veličin podle obr. 1.

### Parametry $h_E$

$$h_{11} = U_T/I_G = U_T\beta/I_K \quad (1)$$

$$h_{12} = h_{11}h_{22}/2h_{21} \quad (2)$$

$$h_{21} = \beta \quad (3)$$

$$h_{22} = I_K/|U_D| + U_{KE} \quad (4)$$

$$(|U_D|) = 20 \dots 60 \dots 200 \text{ V} \quad (5)$$

$$h = h_{21}/h_{22} \quad (6)$$

$$||h|| = h_{11}h_{22} - h_{12}h_{21} = h_{11}h_{22}/2 \quad (7)$$

$$S = h_{21}/h_{11} = I_K/U_T \quad (8)$$

$$R_1 = h_{11}/||h|| = 2/h_{22} \quad (9)$$

$$\mu = h_{21}/||h|| = S R_1 \quad (10)$$

$$U_T = K T / Q = 8,609 \cdot 10^{-5} \text{ T} \quad (K = 1,38 \cdot 10^{-23} \text{ Ws}; T = 273,15 + t \text{ [dég]})$$

$$Q = 1,603 \cdot 10^{-19} \text{ As}$$

### Přenosy napětí a vnitřní odpory

#### 1. Pro $Z \ll 1/S$ :

$$A_{GK} = -k S Z_{RK} / (Z_K + R_1) = -k S Z_K = -k U_{ZK} / U_T \quad (Ela)$$

$$(Elb) \quad (Elc)$$

$$(k = h_{11}/(h_{11} + Z_0))$$

#### 2. Pro $Z \gg 1/S$ :

$$A_{GK} = -S Z_K / (S Z_E + 1) = -Z_K / Z_E \quad (E2)$$

$$A_{GE} = S Z_E / (S Z_E + 1) = 1 \quad (K1)$$

$$A_{EK} = -A_{GK} = + |A_{GK}| \quad (G1)$$

$$Z_{IG} = h_{11} + Z_{Eh_{21}} \quad (Z1)$$

$$Z_{IE} = (Z_G + h_{11})/h_{21} = 1/S \quad (Z2a,b)$$

$$Z_{IK} = R_1 \quad (\text{pro } Z_E \ll 1/S) \quad (Z3)$$

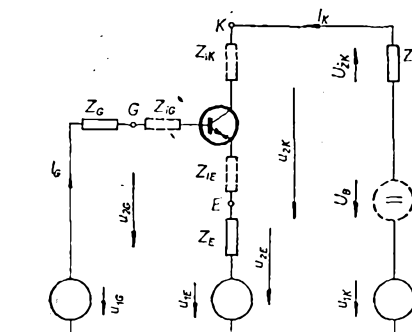
$$Z_{IK} = Z_E h / (Z_E + h_{11} + Z_0 - h_{12}h) \quad (Z4)$$

$$(pro Z_E \gg 1/S)$$

### Úvod

V připojeném přehledu jsou všechny vzorce, potřebné pro zjednodušený výpočet základních tranzistorových stupňů při minimálním počtu výchozích údajů. Je jich na první pohled mnoho, avšak na rozdíl od úplných vzorců jsou většinou velmi jednoduché a pro konkrétní úkol vystačíme vždy jen s několika z nich. Uvedený přehled stačí k praktickému použití. Aby si zájemce mohl postup ověřit, popř. jej dale rozevjet, je uvedeno také stručné odvození.

Zjednodušené vztahy byly získány z úplných vzorců pro základní tranzistorové útvary (s jednou triodou a se společnou nulou pro vstup a výstup) uvedených v [1]. (Pro snazší orientaci při případném použití doporučené literatury je, v tomto článku použito stejně označení veličin, i když se poněkud liší od označení, používaného u tranzistorových obvodů.) Zjednodušení spo-



Obr. 1. Obecný tranzistorový stupeň s úplným využitím: tři vstupní a dva výstupní signály, tři vnější odpory. Pro malé signály a lineární způsob činnosti platí princip superpozice. Libovolné uspořádání obsažené v obrázku může být využito jako algebraický součet signálů, vytvořených jednotlivými vstupními signály působícími samostatně, přičemž ostatní zdroje napětí jsou nahrazeny zkratem

čivá ve vypuštění nezávažných členů, jejichž příspěvek k výsledku je v typických případech menší než 10 %, a dále v takovém uspořádání zbylého výrazu, aby pokud možno naznačoval jednoduché uáhradní schéma a byl snadno zapamatovatelný. Závažnost je někde patrná přímo, např.  $1 - h_{12} = 1; 1 + h_{21} = h_{21}$ , jinde vypadne až s posouzení číselných hodnot typického případu. V mnoha situacích je účelné využít analogie elektronka – tranzistor, protože průzračné elektronkové výroby zatím ještě žijí v povídě starších současníků. V ojedinělých případech je zjednodušení prakticky nemozné (např.  $Z_K \gg 1/S$ ), v mezních situacích, jako např.  $Z_B = 1/S$ , a konečně v nebežných případech, jako přenos kolektor-emitor); potom je vždy možno použít úplných vzorců z [1]. Meze použití této metody jsou uvedeny v závěru.

### Přibližné vztahy pro parametry $h_E$

I pro zjednodušený postup výpočtu je zapotřebí znát parametry  $h_E$  v příslušném pracovním bodě, který je určen velikostí  $I_G$ ,  $I_K$ ,  $U_{KE}$  (obr. 1). V katalogových bývá obvykle uváděn jen proudový zesilovací činitel  $h_{21}$ , a to ještě jen svou dolní, popř. dolní a hornímez. Není-li k dispozici katalogový údaj, je nutné  $h_{21}$  změřit (buď podle definice jako poměr signálových složek  $h_{21} = i_K/i_O$  pro  $U_{KE} = \text{konst.}$ , nebo při zjednodušení  $h_{21} = \beta = I_K/I_G$  jako poměr celkových proudů). Parametr  $h_{21}$  je jediný, který pro zjednodušený postup potřebujeme znát předem.

Pro určení vnitřního odporu  $h_{11}$  řidící elektrody vyjdeme ze vztahu

$I_G = I_{G0} \exp(U_{GE} - U_{G0})/U_T$  (a), kde  $I_{G0}$  je proud diody báze-emitor při napěti  $U_{GE} = U_{G0}$ ;  $U_{G0}$  je pro kfemik při  $40^\circ C$  1,1 V;  $U_T$  udává střední tepelnou energii volných elektronů, viz. vzorec (10) v přehledu. Podle definice je  $h_{11}$  diferenciální odpor řidící elektrody a je možno jej určit jako reciprokou hodnotu derivace  $I_G$  podle  $U_{GE}$ , tj. (po úpravě)  $h_{11} = U_T/I_G$ . Protože  $I_G = I_K/\beta$ , vyjde vzorec (1) z přehledu:

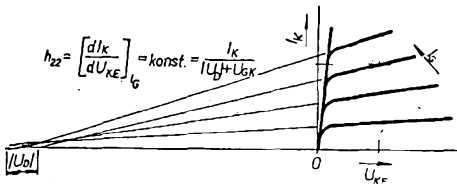
$$h_{11} = \beta U_T/I_K \quad (1).$$

Pro libovolný tranzistor můžeme tedy přibližně určit parametr  $h_{11}$ , známeli  $h_{21}$  a proud kolektoru  $I_K$ .

Vnitřní odpor kolektoru  $1/h_{22}$  při stálém  $I_G$  je možno odhadnout na základě zkušenosti, vyjádřené v obr. 2, že totiž přímkové části charakteristik  $I_K = f(U_{KE})$  při  $I_G = \text{konst.}$  při prodloužení vlevo se protínají téměř přesně v bodě  $|U_D|$  na ose záporných napětí  $U_{KE}$ . Pak je zřejmé, že platí  $h_{22} = i_K/u_{KE} = I_K/|U_D| + U_{KE}$  (4). Fiktivní napětí  $|U_D|$  bývá asi 60 V, při značných  $I_K$  se zmenšuje až ke 20 V, při nepatrnych  $I_K$  se může zvětšit až na 500 V. Proto je často možné zanedbat vzhledem k němu hodnotu  $U_{KE}$ .

Pro poslední parametr  $h_{12}$  neznámé zatím fyzikálně podložený ani empirický vztah. K vymezení jeho velikosti se využije podmínky, že všechny parametry  $h_E$  i determinant  $||h||$  jejich maticy [viz (6) v přehledu] jsou kladné a větší než nula. To je splněno, je-li  $h_{12}$  v otevřeném intervalu (tj. uvnitř mezi, ale mimo ně)  $(0; h_{11}h_{22}/h_{21})$ . Pokud není k dispozici jiné kritérium, např. katalogový údaj podobného tranzistoru, je přípustné použít střed uvedeného intervalu, tj.

$$h_{12} = h_{11}h_{22}/2h_{21} \quad (3).$$



Obr. 2. Odůvodnění empirického vzorce (4) pro vnitřní vodivost kolektorového výstupu  $h_{22}$  za podmínek podle definice, tj. pro  $I_G = \text{konst.}$ ,  $Z_g = 0$ ,  $Z_e = 0$

Potom determinant  $\|h\|$  má velikost  $h_{11}h_{22}/2$ .

Tím jsou určeny všechny potřebné parametry  $h_E$ .

Polovodičové obdoby elektronkových parametrů, strmost  $S$ , vnitřní odpor kolektoru  $R_1$  (pro stálé napětí řidící elektrody) a zesilovací činitel  $\mu$  je možno určit podle definičních vztahů řešením čtyřpolových rovnic. Pro strmost vyjde  $S = i_E/u_{GE} = h_{21}/h_{11}$ , a po dosazení z (1) a (3)

$$S = I_k/U_T (= 37I_k \text{ pro } 40^\circ\text{C}) \quad (7).$$

Pro libovolný tranzistor je tedy možno přibližně určit závažný přenosový parametr strmost, je-li dán jeho kollektorový proud, jemuž je přímo úměrný. Pro teplotu přechodu  $40^\circ\text{C}$  je  $1/U_T = 1/0,027 \text{ V} = 37 \text{ V}^{-1}$ , takže vyjde druhá z forem vztahu (7).

Analogie tzv. vnitřního odporu elektronky, tj. vnitřní odpor kolektoru při konstantním  $U_{GE}$  není  $1/h_{22}$  (vnitřní odpor při konstantním  $I_G$ ), nýbrž

$$R_1 = h_{11}/\|h\| \quad (8).$$

Rovněž řešením čtyřpolových rovnic, nebo přímo z tzv. Barkhausenova vztahu vyjde pro zesilovací činitel výraz

$$\mu = h_{21}/\|h\| = S R_1 \quad (9).$$

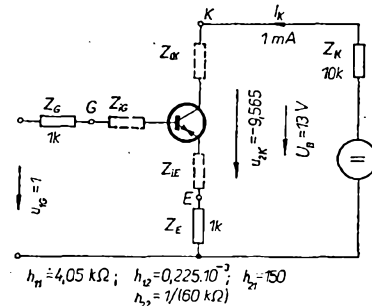
Tím byl vysvětlen původ přibližných vztahů pro parametry  $h_E$  a pro ekvivalenty elektronkových parametrů  $S$ ,  $R_1$ ,  $\mu$ . I když hodnoty získané pomocí nich jsou jen přibližné, poskytují jasnou představu o jejich skutečných velikostech a při výpočtu dávají výsledky obvykle s tolerancemi do 20 %. Cenná je i skutečnost, že přibližné vztahy zahrnují vliv pracovního bodu, jinak uváděný jen ve speciálních, zevrubných katalogách, a to zase s obvyklými širokými tolerancemi. Jak uvedené vztahy, tak přenosové veličiny z nich odvozené platí samozřejmě pro křemíkové tranzistory n-p-n i p-n-p.

#### Odvození zjednodušených vztahů

Na základě parametrů  $h_E$  je možno odvodit vzorce pro všechny přenosové veličiny, tj. přenosy napětí nebo proudu, přenosové imittance (speciálním případem je strmost) a vnitřní odpory. V práci [1] je to provedeno pro přenosy napřízdrobno v obecném základním stupni na obr. 1, a pro vnitřní odpory, vesměs včetně vlivu vnějších odporů v přívodech vstupní a společné elektrody. Zde se vyskytují jen přenosy napětí. Např. pro stupeň E, tj. se společným emitorem, a s odporem  $Z_E$  v jeho přívodu, vychází úplný vzorec v obvyklé polovodičové obširnosti:

$$A_{EK} = -Z_K \frac{h}{(Z_g + h_{11})(Z_E + Z_K + 1/h_{22}) + Z_E [Z_K + h + 1/h_{22}] (1 - h_{12}) - Z_K h_{12} h} \quad (b).$$

Kromě obvyklého zanedbání  $h_{12}$  proti 1 atd. jsou možná ještě další objevit se po dosazení číselných hodnot typického příkladu, pro něž zvolíme tento soubor údajů (obr. 3):



Obr. 3. Uspořádání a parametry stupně, použitého jako příklad pro odvození zjednodušených vztahů. Vnitřní odpory elektrod jsou vyznačeny čárkovaně.

$Z_g = 1 \text{ k}\Omega$ ,  $Z_E = 1 \text{ k}\Omega$ ,  $Z_K = 10 \text{ k}\Omega$ ,  $I_K = 1 \text{ mA}$ ,  $U_{KE} = 2 \text{ V}$ ,  $h_{21} = 150$ . Podle vzorců (1) až (9) z přehledu se vypočte

$$\begin{aligned} h_{11} &= 0,027-150/1 = 4,05 \text{ k}\Omega, \\ h_{22} &= 1/(60 \text{ k}\Omega) \quad (U_{KE} \text{ zanedbáno}), \\ h_{12} &= 4,05/2 \cdot 60 \cdot 150 = 0,225 \cdot 10^{-3}, \\ h &= 150 \cdot 60 = 9000 \text{ k}\Omega, \\ \|h\| &= 4,05/2 \cdot 60 = 33,75 \cdot 10^{-3}, \\ S &= 1/0,027 = 37 \text{ mA/V}, \\ R_1 &= 2 \cdot 60 = 120 \text{ k}\Omega, \\ \mu &= 37 \cdot 120 = 4440. \end{aligned}$$

Dosadíme-li do (b) číselné údaje, dostaneme

$$A_{EK} = -10 \frac{9000 - 1}{(1 + 4,05)(1 + 10 + 60) + 1(10 + 9000 + 60)} = 10,0225 \cdot 9.$$

Zřejmě bylo možno zanedbat  $Z_E$  proti  $h$  v čitateli a  $h_{12}$  proti 1 v druhém členu jmenovatele. Je-li však přípustné, aby odchylka dosáhla až 10 %, je možno vypustit z prvního členu jmenovatele  $Z_g$ ,  $Z_E$  a  $Z_K$ , z druhého  $Z_K$  a  $1/h_{22}$ , a celý člen třetí, a z úplného vzorce (b) zbude po úpravě

$$A_{EK} = -Z_K \frac{h}{h_{11}/h_{22} + Z_E h} = -S Z_K \frac{1}{S Z_E + 1} \quad (c),$$

což je také uvedeno v přehledu (E2). Dosadíme-li údaje ze zvoleného příkladu do vzorců (b) a (c), vyjde

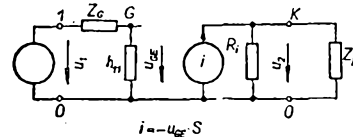
$$A_{EK} = -9,565 \quad -9,737, \quad v \text{ procentech } 100 \quad 101,8.$$

Odchylka pouhých 1,8 % je jistě přípustná. Vzorec (c) platí, bude-li  $Z_E$  podstatně větší než ostatní členy jmenovatele, z nichž největší je  $h_{11}/h_{22}$ . Má tedy být splněna podmínka

$$Z_E h_{21}/h_{22} \gg h_{11}/h_{22}, \quad \text{tj.} \quad Z_E \gg h_{11}/h_{22} = 1/S, \quad (d),$$

jak je také uvedeno v přehledu.

Tato podmínka však není splněna vždy; často bývá u stupně se společným emitorem  $Z_E = 0$ , nebo obecně  $Z_E \ll 1/S$ . V tom případě odpadne z (b) prostřední člen jmenovatele a po další úpravě se dojde ke vzorce (Ela), v němž  $k = h_{11}/(Z_g + h_{11})$  je dělicí poměr dělící napětí z odporů  $Z_g$ ,  $h_{11}$  (obr. 4), ostatní



Obr. 4. Náhradní schéma, které vyplývá ze zjednodušeného vzorce (Ela) pro stupeň se společným emitorem a se zanedbatelným odporem  $Z_E$ . Až na dělitel  $Z_g$ ,  $h_{11}$  se shoduje s náhradním schématem elektronky nebo tranzistoru FET popř. MOS

zapamatovatelný,  $A_{EK} = -k S Z_K$ . Konečně dosadíme-li za  $S$  ze (7) a uvážme-li, že  $I_K Z_K$  představuje úbytek na pracovním odporu  $Z_K$ , vyjde zajímavý konečný tvar (E1c):

$$A_{EK} = -k U_{ZK}/U_T \quad (e).$$

Tento vztah vyjadřuje, že zisk odporného stupně s nulovým odporem v emitoru je převážně určen poměrem úbytku na pracovním odporu a teplotního napětí  $U_T$ . Vzorec (e) platí samozřejmě jen přibližně, ale přesto poskytuje určité závěry: největší dosažitelný zisk stupně s čistě odpornou zátěží nezáleží na pracovním odporu ani na proudu kolektoru, nýbrž jen na jejich součinu, a může být podstatně ovlivněn jen změnou napájecího napětí  $U_B$ . Velikost  $Z_K$  se určuje tak, aby byl přiměřený

následující zátěž (vstupní odpor následujícího stupně, rozptylová kapacita aj.), což poskytuje omezení shora; dále se uplatňuje zřetel na spotřebu (proud  $I_K$ ) popř. na velikost vstupního odporu  $h_{11}$  příslušného stupně (omezení zdola). Pro značný zisk je vhodné napájecí

napětí  $U_B$  pokud možno značné, napětí na tranzistoru  $U_{KE}$  naopak tak malé, kolik připouští požadovaný rozkmit signálu a saturační napětí. Jako zájimavost vypadá odtud i potvrzení účelnosti přímé mezistupňové vazby u integrovaných zesilovačů skupiny MAA100 a jím podobných, u jejichž stupňů (s výjimkou koncového) se vyskytuje  $U_{KE} = U_{GE} \approx 0,5 \text{ V}$ .

Vypočteme-li přenos podle úplného vztahu (b) a přibližných vzorců (Ela, Elb, c) s údaji z předchozího příkladu, vyjde tento přehled:

$$A_{EK} = -270,07 - 273,91 - 296,73, \quad \text{tj.} \quad = 100,0 \quad 101,42 \quad 109,90 [\%].$$

I při použití nejméně přesného vzorce je odchylka menší než 10 % a (aspoň pro odhad) tato přibližnost využívá.

Podobně se postupuje při odvozování ostatních vzorců z přehledu, přičemž vhodným voditkem je vždy jasná představa, k jaké podobě zjednodušeného vztahu bylo vhodné dospět. Kdekoliv by byl uživatel na pochybách, může si pomocí porovnání přibližné úpravy s přesnou pro vhodně sestrojené příklady, přičemž je vynikajícím pomocníkem malý počítač. Můžeme-li pro něj použít aspoň krátký program, je úloha usnadněna tak, že úspora zjednodušením vztahů téměř zaniká.

Závěr

Použitelnost předvedené metodiky je poměrně široká, není však neomezená. Podobně jako jiné lineární způsoby řešení platí jen pro obor tzv. malých signálů, tj. podstatně menších než jsou napájecí, klidová, popř. polarizační napětí. Používají se u ní jen reálné parametry, použití je tedy omezeno na nízké kmitočty, např. do řádu  $10^5$  Hz, kdy se reaktance a konečná rychlosť nositelů náboje u tranzistorů ještě zřetelně neuplatňují. Metodika může být použita i při rezonančním kmitočtu, při němž se reaktance kompenzují. Výstižnost zjednodušených vztahů pro parametry klesá při extrémních hodnotách: u proudu kolektoru většího než asi 0,3 A, u napětí mezi kolektorem a emitorem v oblasti saturace, tj. pro  $U_{KE} < 0,2 U_K$ , a při značných změnách teploty přechodu tranzistoru během činnosti, např. více než  $30^\circ\text{C}$  (působí souhlasnou změnu  $\beta$  zhruba o 10 %). Většina omezení platí ostatně pro každý praktický způsob výpočtu, a proto snad nemusí být pokládána za zásadní.

nemusí být považána za zásadní. Zájemců o tuto problematiku, kteří se pokusili o její ovládnutí jinými zavedenými postupy, nepotřebují bezpochyby další návod. Pro méně zkušené by bylo možné užitečný nějaký příklad použití. Takové příklady jsou uvedeny v [1]; lze jich využít i pro praktické ověření postupu výpočtu podle tohoto článku, v němž je zjednodušení ještě dále rozšířeno. Proto je z důvodu úspory místa neuvedím.

## Literatura

- [1] Pacák, M.: Praktické řešení obecného triodového stupně pomocí parametrů  $h_E$ . Slaboproudý obzor 36, č. 1 (1975), s. 21 až 27.

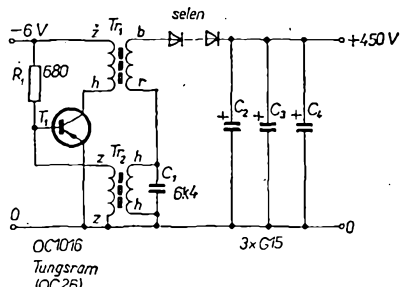
## Přednosti a nevýhody číslicového sdělování

Je pozoruhodné, že přenos hovorových informací - řeči, je stále v analogovém tvaru nejefektivnější a nejjednodušší až do středních vzdáleností teletelekomunikačních sítí. Pro dálkové sdělování se již jeví pro některé aplikace výhodnější číslicový přenos, zvláště s využitím multiplexu a nejnověji laseru. Též je perspektivní impulsní kódová modulace (PCM) a modulace delta. Složitou problematikou je přechod z analogových sítí na číslicové linky a příslušná uzlová spojení.

Radioreléové a družicové spojení je složité, je nutné vykřišť celou řadu nových zařízení, zvláště při číslicovém přenosu, kde je největší důraz kladen na vhodnou šířku přenosového pásmá. Řešení pomocí kanálového vokodéruje přiliš nákladné, když trváme na vysoké jakosti a grozumitelnosti hovoru.

*Reischel, P.: Vývojové tendence sdělovačích sítí. Wehrtechnik 1973, čís. 7, str. 248 až 250.*

A. Hálek



Obr. 1. Původní schéma zapojení TR 50

indikační doutnavku a potenciometr, neuvádime, protože kromě nastavení potenciometru, kterým se řídí bod zážehu indikační doutnavky, nebudeme do krabice reflektoru vůbec zasahovat.

Původní zapojení zábleskového zařízení TR 50 má několik nevýhod. Je to zejména malá účinnost měniče, projevující se značným odběrem z baterii (střední proud minimálně 2,5 A, špičkový proud je téměř dvojnásobný a závisí na střídě). Při tomto odběru se zmenší napětí i nových monolánků na 5 V i méně. Po nabité kondenzátorů se proud sice zmenší asi na 1 A, ale i to je neúnosné mnoho, uvádíme-li, že fotograf někdy dlouho čeká na vhodný okamžik k záběru a během celé této doby je baterie zbytečně zatěžována. Další nevýhodou je zbytkový proud elektrolytických kondenzátorů. Po několika letech občasného používání s delšími přestávkami, jež je u amatérů obvyklé, se vlastnosti kondenzátorů zhoršují a zbytkový proud je několikanásobně větší. Měnič musí kryt tyto ztráty, což se projeví jednak tím, že se zvětší odběr z baterii, jednak se nedosáhne jmenovitých napětí 400 až 450 V, ale např. jen 300 V. Výbojka sice i při tomto napětí spolehlivě zapaluje, avšak podíváme-li se do grafu (obr. 2) znázorňujícího závislost energie [Ws] na kapacitě a na napětí kondenzátoru, popř. závislost směrného čísla na náboji, nahromaděnému v kondenzátoru a na citlivosti filmu, vidíme,

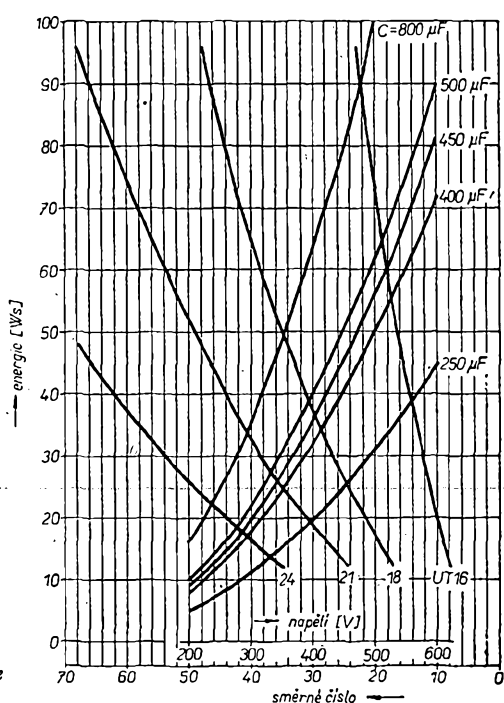
# Měřic pro záblesková zařízení

Pavel F. Smola

Když před lety uvedlo družstvo Mechanika na trh zábleskové zařízení TR 50, byl to bezesporu průkopnický čin. V době, kdy existovaly jen primitivní síťové „blesky“, které si stavěli i amatéři a kdy byl témař za vrchol dokonalosti povozán německý výrobek BRAUN-HOBBY s vibračním měničem, bylo pojednou na trhu zařízení s tranzistorem ve pečlivém a elegantním provedení a s dobrým výkonem. Od té doby uplynulo již dosti času. Dnes vyrábí Mechanika zařízení lepší; je však jistě dosud majitelů staré dobré TR 50, kteří se nechťejí výsměj dosud sloužícím přístrojem rozloučit a kteří by uvítali některá zlepšení. Pro ty je určen tento článek.

#### **Vlastnosti přístroje v původním zapojení**

Původní zapojení (obr. 1) je celkem jednoduché. Výkonový tranzistor OC26 pracuje jako spínač, přerušující proud do primárního vinutí transformátoru vysokého napětí  $T_1$ . Při zapnutí přístroje se tranzistor otevírá proudem, tekoucím přes odpor  $R_1$  do báze. Zpětná vazba je zavedena ze sekundárního vinutí přes pomocný transformátor  $T_2$ . Vysoké napětí, získané na transformátoru  $T_1$ , je usměrňováno selenovým usměrňovačem a nabíjí se jím baterie tří elektrolitických kondenzátorů WK 714, 150  $\mu F/450/500$  V. Měnič je napájen ze čtyř monočlánků typu 1446, tedy napětím 6 V. Zapojení reflektoru s výbojkou, obsahující zapalovací cívku s příslušnými obvody,



Obr. 2. Graf pro určení energie blesku a směrného čísla

že energie se zmenšila přibližně na polovinu a směrné číslo 1,4krát. Prodlužuje se též doba nabíjení, tzn., že se zvětšují nezbytné intervaly mezi jednotlivými snímky. I při použití nových monočlánků je tento interval asi 45 s, většinou však musíme počítat až s dvojnásobnou dobou. Při reportážích nám v té době „utíká“ mnoho zajímavého dění. K odstranění těchto potíží při provozu zestářlého a zastaralého přístroje jsem navrhl a realizoval úpravu, která zařízení zmodernizovala.

### Úpravy zařízení

Obráťme nejprve svou pozornost k elektrolytickým kondenzátorům. Kromě kondenzátorů WK 714, 150  $\mu\text{F}$  /450/500 V, které jsou použity u původního přístroje, je na našem trhu typ TC 509, 250  $\mu\text{F}$ /550 V stejných rozměrů. Nahlédneme-li znovu do grafu na obr. 2, zjistíme, že pro energii 30 W je nutné nabít tento kondenzátor na napětí 490 V. Pro film o citlivosti 18 DIN dosahнемe směrného čísla 26, zatímco výrobce uvádí pro původní zařízení asi 24. Je tedy zřejmé, že nám jediný kondenzátor nahradí původní tři, zvětšíme-li napětí z měniče. Měřením na několika kusech kondenzátorů TC 509, které byly skladovány nejméně jeden rok od data výroby, bylo zjištěno, že zbytkový proud po krátkém zformování je při napětí 500 V asi 250 až 350  $\mu\text{A}$ , zatímco u původních starých kondenzátorů byl tento proud 5 až 10 mA již při napětí 400 V. S jediným kondenzátem TC 509 získáme tedy stejnou energii, značnou úsporu váhy a navíc zkrátíme dobu nabíjení, což vyplývá z menší kapacity kondenzátoru.

Od měničů dnes požadujeme co největší účinnost, automatické vypínání při dosažení požadovaného náboje na sběracím kondenzátoru, rychlé nabíjení, tedy krátký interval mezi záblesky, možnost provozu i při značném sníženém napájecím napětí (při vybitých bateriích). Zapojení podle schématu na obr. 3 splňuje všechny tyto požadavky. Jako spínač pracuje i v novém zapojení výkonový tranzistor  $T_1$  (možno použít původní), doplněný komplementárním tranzistorem, který je v okamžiku zapnutí měniče otvírá proudem do báze přes odpor  $R_3$ . Zpětnovazební vinutí  $L_2$  je přes oddělovací odporek  $R_4$  připojeno rovněž na bázi tranzistoru  $T_2$ . Na výstupní vinutí  $L_3$  navazuje zdvojovač napětí s křemíkovými usměrňovači  $D_1$ ,  $D_2$  a s kondenzátorem  $C_1$ . Toto uspořádání přináší řadu výhod. Vinutí  $L_3$  transformátoru může být dimenzováno na poloviční napětí; diody tvoří zátěž v obou mezních stavech tranzistoru  $T_1$ , takže nemůže při přepínání dojít k napěťovému přetížení kolektoru.

ru  $T_1$ , a konečně poměrně malá kapacita kondenzátoru  $C_1$  odděluje v okamžiku zapnutí, kdy nenabité kondenzátor  $C_2$  představuje zkrat a kmitočet měniče je nízký, záťeh od měniče, který se takto zcela bezpečně „rozběhne“. Transformátor má feritové jádro se vzduchovou mezerou. Protože spinaci tranzistor je otevřán dostatečně velkým proudem bázě až do oblasti saturace, závisí opakovací kmitočet výhradně na magnetických vlastnostech jádra; tranzistor se uzavírá v okamžiku přesycení jádra. Je tedy zřejmé, že kmitočet měniče můžeme ovládat velikostí vzduchové mezery. Nejvyšší kmitočtu dosahneme, vyloučme-li mezeru úplně, se zvětšující se mezerou se bude kmitočet snižovat. Zároveň se však mění odběr z baterií; nejménší (asi 400 mA) je bez mezer, s mezerou 0,5 mm je asi 1,5 A. Účinnost měniče s připojeným sběracím kondenzátorem se nejprve zvětší s velikostí mezer, pak se však opět zmenší vzhledem ke zvětšení odběru z baterií. Nejvhodnější je nastavit takovou mezeru, aby byl střední proud z baterie asi 700 až 800 mA. Vzduchová mezera se obvykle vytváří ubrusováním středního sloupku jádra; to je při amatérské výrobě obtížné; použijeme raději vložku (styroflexovou nebo teflonovou fólii, popř. i tvrzený papír), kterou zasunujeme do obou krajních sloupků jádra. Automatika vypínání je velmi jednoduchá. Tranzistor  $T_3$  je připojen mezi bázi a emitor budicího tranzistoru  $T_2$  a při zapnutí měniče se zprvu neuplatní. Napětí z kondenzátoru  $C_2$  je vedené na odporný dělič  $R_5$ ,  $R_6$  a  $R_7$ . Proměnným odporem  $R_8$  nastavíme takový dělici poměr, aby při požadovaném napětí na kondenzátoru  $C_2$  bylo na děliči napětí, rovněž zápalnému napětí doutnavky  $D_t$ . Proud doutnavkou otvára tranzistor  $T_3$ , který svým výstupem kolektor-emitor spojí do zkratu budicí napětí na bázi tranzistoru  $T_2$ , oba tranzistory  $T_1$  a  $T_2$  se uzavřou a odběr z baterie ustane. Odpálíme-li nyní „blesk“, vybije se kondenzátor  $C_2$ , doutnavka  $D_t$  zhasne a tranzistor  $T_3$  není buzen, zatímco tranzistory  $T_1$  a  $T_2$  se opět otevřou. Měnič zůstane v provozu až do dosažení určeného napětí na  $C_2$ , kdy automatika popisovaným způsobem měnič opět vypne. Kondenzátor  $C_2$  se ovšem zvolna vybije i v případě, že neuděláme snímek, a to přes dělič a doutnavku (obr. 3), přes podobný dělič a indikační doutnavku v reflektoru a konečně také vlastním svodovým proudem. Při zmenšení napětí však rovněž zhasne doutnavka v měniči a ten během velmi krátké doby dobije kondenzátor  $C_2$  na plné napětí. Napětí na kondenzátoru tedy kolísá v určitém rozmezí, které nemá být větší než asi 20 V (pak se to pozorovatelně neprojeví

na energii blesku a tím také na osvitu filmu).

### Dosažené vlastnosti měniče

**Napájení 6 V:** odběr proudu 0,7 až 0,8 A, největší dosažitelné napětí (na kondenzátoru 250  $\mu\text{F}$ ) je 550 V, po záblesku je dosaženo napětí 470 V maximálně za 20 s, 490 V max. za 25 s.

**Napájení 4 V:** odběr proudu asi 0,5 A, max. dosažitelné napětí na kondenzátoru 250  $\mu\text{F}$  je 500 V, po záblesku je dosaženo napětí 470 V asi za 40 vteřin.

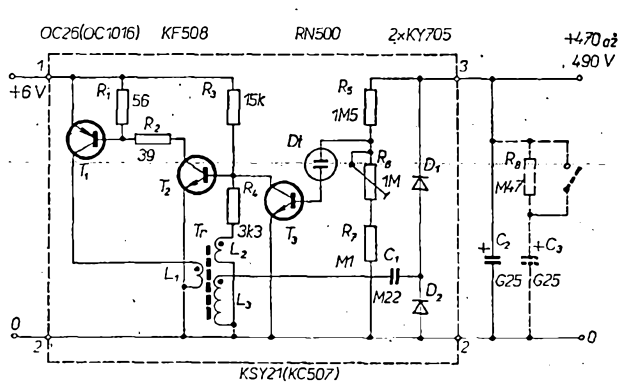
Provoz je možný ještě při napětí baterie 3 V, pak už zpravidla nedosahneme horní meze napětí a měnič je v chodu trvale. Ještě však můžeme fotografovat s plnou energií blesku.

### Konstrukce měniče

Všechny součástky původního měniče (kromě elektrolytického kondenzátoru) jsou umístěny na pertinaxové desce rozměru 40 × 120 mm. Tač deska je uložena do vany lisované z organického skla, jejíž dno je tvarováno pro oba transformátory, tranzistor, odpory a kondenzátor, a která je pečlivě přilepena ke dnu skřínky a nelze ji tedy jednoduchým způsobem odstranit. Nový měnič je však možno umístit do původního prostoru, přičemž vanu lze snadno upravit bez speciálních nástrojů, máme-li kondenzátor  $C_1$  a doutnavku  $D_t$  v patřičně malém provedení.

Kondenzátor  $C_1$  má mít kapacitu 0,22 až 0,25  $\mu\text{F}$  a má být na napětí nejméně 400 V (raději však na 630 V). Nejvhodnější je kondenzátor Siemens MKL B 32112 0,22  $\mu\text{F}$ /630 V, který má opravdu miniaturní rozměry 9 × 23 mm. Lze použít i „paktrop“ TESLA TC 122 0,22  $\mu\text{F}$ /400 V, pokud jež máte v zásobě (již se nevyrábí), nebo MP zastíknutý válcový kondenzátor TC 183, 0,22  $\mu\text{F}$ /400 V, z dalších typů např. epoxidový kondenzátor TESLA TC 193, 0,22  $\mu\text{F}$ /400 V nebo krabicový MP těsný kondenzátor 0,25  $\mu\text{F}$  TC 481 nebo TC 485; s těmi je však už vyloučeno umístit celý měnič do původního prostoru. Naštěstí nám zbývá prostor po dvou elektrolytických kondenzátořech, který je po úpravě volný. Desku s plošnými spoji je nutné navrhnut znovu.

Doutnavka  $D_t$  má být miniaturní se zápalným napětím 100 až 200 V (bez předřadného odporu). Svými rozměry a vlastnostmi nejlépe vyhovuje doutnavka RN 500, kterou vyrábí závod TESLA Holešovice. Lze však stejně dobře použít doutnavku 94525 v balekotivním pouzdru, kterou lze koupit jako náhradní pro vypínače s doutnavkou v prodejnách instalacích potřeb, jejíž zápalné napětí je nejméně 120 V. Vzhledem k naprosté symetrii elektrod je ji však nutné zahojovat po dobu několika hodin stejnosměrným proudem 1 až 2 mA, přičemž si pečlivě (např. barevnou tečkou) označíme polaritu přiloženého napětí, když jsme předtím doutnavku vyjmuli z pouzdra. U doutnavky RN 500 se připojuje záporný pól napětí na vnější válcovou elektrodu, přičemž nás nesmí mylit, že doutnavkový výboj se objeví na vnitřní, kladné elektrodě. Kromě těchto typů můžeme použít též doutnavku s bimetalovým spínačem, používanou ve startéru pro zářivky 40 W. Startér opatrně rozebereme, odstraníme odrůšovací kondenzátor a doutnavku vyjmeme z pouzdra.



Obr. 3. Schéma zapojení měniče

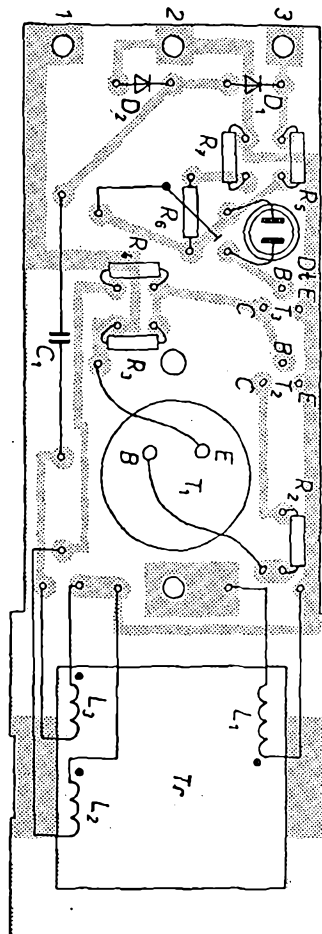
Zahořujeme ji přes předřadný odpor podobně jako doutnavku 94525, přičemž záporný pól připojujeme na delší elektrodu. Protože budeme používat doutnavku při malém proudu (asi 50  $\mu$ A), nemůže dojít k ohřevu a tím k zapnutí spínače. Rozměry doutnavky však nejsou malé a její umístění na desku měniče je už problematické. Ostatní malé typy doutnavek mají zápalné napětí asi 70 V, což není pro naše použití vhodné. Napěťový dělič, na který je doutnavka připojena, musí být navržen pro větší dělící poměr; tím se zvětší interval činnosti měniče a napětí na sběrném kondenzátoru více kolísá (o 70 až 80 V). Tuto doutnavku můžeme použít, jestliže měnič konstruujeme pro malé napětí (do 250 V) pro sovětské bleskové výbojky.

Transformátor má feritové jádro E 12 x 15 z hmoty H10. Cívkové tělesko použijeme buď skládané, nebo si je vyrobíme slepením z lesklé lepenky. Vinutí  $L_1$  je navinuto z drátu o  $\varnothing$  1 mm CuT (izolace z terestralátnového laku) v šíři 25 mm bez prokladu závit vedle závitu. Následují dvě vrstvy lesklé lepenky o tloušťce 0,1 mm. Vazební vinutí  $L_2$  tvoří 20 z drátu o  $\varnothing$  0,2 mm CuT, které umístíme doprostřed okénka a izolujeme opět leskou lepenkou  $2 \times 0,1$  mm. Sekundární vinutí  $L_3$  má 1 320 z drátu o  $\varnothing$  0,2 mm CuT ve čtrnácti vrstvách, opět se šírkou vinutí 25 mm; každá třetí vrstva je proložena jednou vrstvou izolačního papíru o tloušťce 0,05 mm. Vineme velmi pečlivě, protože plňení cívky je velké. Vývody dlouhé 80 mm umístíme podle obr. 4 a nasuneme na ně izolační „bužírky“. Konce vodičů o  $\varnothing$  0,2 mm je výhodné nastavit ohebným kablíkem malého průměru, který vyvedeme. Na hotovou cívku navineme opět vrstvu lesklé lepenky.

Chceme-li umístit transformátor na desku plošných spojů do původního prostoru, pak musíme sáhnout k neobvyklému způsobu sestavy transformátoru a jeho upvezení, který však vyžaduje odzkoušení vzduchové mezery před definitivní montáží. Proto je sestavení transformátoru popsáno ve zvláštním odstavci za popisem uvádění do chodu.

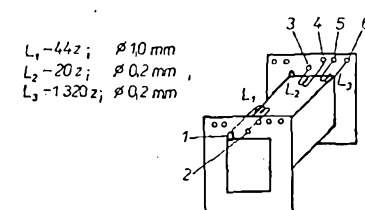
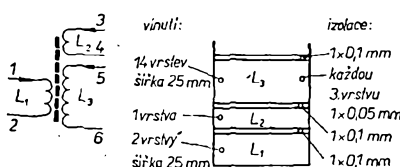
Deska s plošnými spoji pro montáž do původního prostoru je na obr. 5. Pro nedostatek místa jsou všechny odopy umístěny „na výšku“ (kromě odporu  $R_1$ ).

Výkonový tranzistor  $T_1$  je uprostřed desky, upevňuje se na šrouby, které jsou pro tent účel zasazeny do vany z organického skla. Pro odzkoušení desky tedy tranzistor prozatímne přišroubujete. Kolektor je připojen pomocí plošného spoje, báze a emitor se připojí ohebným



Obr. 5. Deska s plošnými spoji J63 měniče (tečky označují konce vinutí)

izolovaným kablíkem; kromě toho se přímo na jeho vývody připojí i odpor  $R_1$ . Ostatní tranzistory pájíme do desky buď přímo, nebo použijeme podložky, v obou případech tak, aby mezi deskou a tranzistorem byla vzdálenost asi 5 mm. Nízkou podložku (v nouzi stačí matice M4) dáme i pod diody KY705. Transformátor připojíme prozatímne, do krajních sloupků jádra zasuneme vložku vymezující vzduchovou mezeru a feritové jádro začíneme stáhnout např. izolovaným drátem. Na výstup (vývody 2, 3) připojíme sběrný kondenzátor a k němu paralelně voltmetr s rozsahem do 600 V. Do přívodu od baterie (vývody 1, 2), nebo od stabilizovaného zdroje 6 V/1 A (což je pro zkoušení výhodnější), zařadíme ampérmetr. Potenciometr  $R_6$  nastavíme na největší hodnotu.



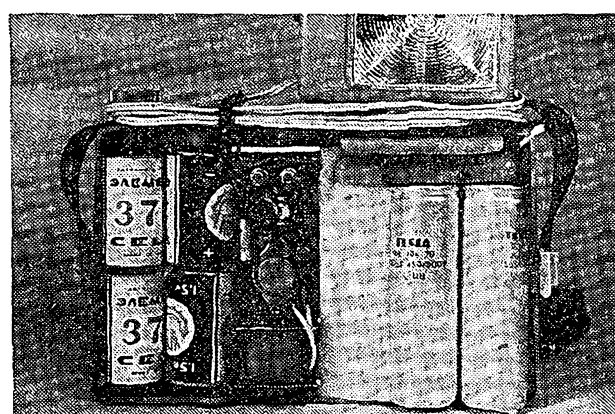
Obr. 4. Vinutí transformátoru

## Uvedení do chodu

Po zapnutí baterie poznáme ihned sluchem, zda měnič pracuje. Odběr při napájecím napěti 6 V má být asi 700 až 800 mA. Napětí na sběrném kondenzátoru se zvětší. V okamžiku, kdy dosáhneme zápalného napěti doutnavky a ta se rozsvítí, uzavřou se prostřednictvím tranzistoru  $T_3$  ostatní tranzistory měniče ( $T_1, T_2$ ). Do měniče nepoteče ze zdroje proud. Zmenší-li se odběr proudu například pouze na 200 mA a výška tónu, ozývající se z transformátoru, se změní, pak to svědčí o tom, že proud doutnavky v použitém zapojení je malý a tranzistor  $T_3$  není dostatečně uzavřen (tranzistory  $T_1$  a  $T_2$  nejsou dostatečně uzavřeny). Jestliže ani po změně polohy běžce potenciometru, kterým nastavíme požadované napětí (490 V), nedojde k zlepšení, můžeme se pokusit o delší zahření doutnavky nebo můžeme změnit odpory děliče ( $R_5, R_6$  a  $R_7$ ); tímto zásahem se však zvětší odběr proudu z elektrolytického kondenzátoru. Můžeme též vybrat vhodnější doutnavku, popř. tranzistory s větším činitelem  $\beta$ . V případě, že odběr ze zdroje překračuje vytíčené meze, upravíme vzduchovou mezeru transformátoru. Pak nastavíme potenciometrem  $R_6$  napětí, při kterém měnič vypíná, na 490 V a změříme napětí, při kterém se začíná kondenzátor opět dobíjet. To má být asi 470 V; závisí převážně na vlastnostech doutnavky a zpravidla dosáhne mezi napětí pro vypnutí a zapnutí měniče 5 až 20 V. Pak můžeme definitivně upevnit transformátor.

## Konečná montáž

Protože není na desce dostatek místa pro použití obvyklých držáků transformátoru, použijeme si takto: jádro transformátoru, ve kterém jsou zasunuty vložky, ověřené při uvádění do chodu, ovineme několika vrstvami samolepicí pásky (popř. textilní pásky „Sport“), přičemž jednotlivé vrstvy co nejvíce utahujeme. Prečinující kraje pásky seřízneme holici čepelkou. Transformátor položíme do výřezu desky. Ve čtyřech rozech jádra jej přilepíme na desku malou kapkou epoxidové pryskyřice EPOXY 1200 po předchozím odmaštění a zdrsnění plochy brusným papírem v příslušných místech (v případě potřeby rozebereme toto spojení zahřátím slepeného místa např. hrotom pistolové páječky). Namísto lepení můžeme transformátor přichytit kovovým páskem, připájeným zespodu k fólii plošného spoje (obr. 5). Vývody transformátoru zkrátíme a definitivně připojíme na desku. Doutnavku přilepíme k desce Dentacrylem nebo Duracrylem.



Obr. 6. Pohled na upravený zdroj blesku TR 50

## Úpravy vany

Nejvýhodnějším nástrojem, kterým obcházíme nutnost frézování, je rotační brousek, jaký používají zubaři a který lze zakoupit v různých velikostech ve speciálních prodejnách lékařských potřeb Sanitas. Práce s ním je snadná a postačí k ní ruční elektrická vrtačka. Nejprve snížime bočnice vany asi o 3 mm v širším místě nové desky s plošnými spoji, kde je upevněn transformátor; pak ubrousíme přepážku mezi dutinou pro cívku původního transformátoru a dutinou pro kondenzátor a prostor ještě mírně rozšíříme do strany. Na dolní upevňovací šroub našroubujeme matici M3 a dotáhneme (zažíšlujeme vodivé spojení šroubu s fólií a tím přívod ke kolektoru tranzistoru  $T_1$ ). Na druhý šroub nasuneme stejně vysokou izolační podložku. Na upevňovací šrouby nasuneme sestavenou desku a přesvědčíme se, zda nebrání nějaká další překážka rovinnému upevnění. Zpravidla bude nutné ještě vyvrátit do vany díru o  $\varnothing$  asi 6 mm v místě, kde je na desce umístěna doutnavka. U dutiny pro výkonový tranzistor „prozívneme“ rotačním brouskem výřezy pro přívodní kablíky, které jsou na straně fólie. Také u diod bude nutné dno vany mírně upravit. Celou desku i s výkonovým tranzistorem připevníme původními šestihrannými distančními sloupky, které zkrátíme o tolik, o kolik je nynější deska upevněna výše. Původní kryt měniče v případě potřeby zkrátíme (není-li jím transformátor zakryt, není dotyk stejně nebezpečný, protože vývody jsou izolované). Presvědčíme se, zda jde nasunout víko krabice. Nový elektrolytický kondenzátor ponecháme v pravé části prostoru a zajistíme jej před pohybem přepážkou z novoduru, kterou ke dnu krabice přilepíme lepidlem na novodur. K zapojení použijeme ohebný kablík, přičemž spínač zařadíme do kladného přívodu od baterie. Kablík k reflektoru je nutno připájet se správnou polaritou.

### Nastavení indikační doutnavky

Rídici prvek (odporový trimr) je přístupný po otevření zadního víka reflektoru. Nastavujeme jej tak, aby se indikační doutnavka rozsvítila při napětí asi o 10 V menším, než je dolní hranice, kterou automatická měnička udržuje na sběracím kondenzátoru.

### Úprava pro dvojnásobný výkon

Protože zábleskové výbojky používané u zařízení TR 50 jsou podle údajů výrobce určeny pro energii 100 až 150 W, nabízí se možnost použít kondenzátor 500  $\mu\text{F}$  (tedy dva kondenzátory 250  $\mu\text{F}$ ). Prostor máme přirozeně k dispozici. Druhý kondenzátor je vhodné připojit přes spínač, přemostěný odporem 470 k $\Omega$ , abychom měli možnost řídit výkon zařízení. V případě potřeby musíme zvětšit odběr z baterie na 0,8 až 1 A. Dosaženou energii a nová směrná čísla zjistíme z grafu (obr. 2). Pohled na hotový přístroj (bez víka) je na obr. 6.

### Použití měniče v jiných typech „blesků“

U sítových zábleskových přístrojů umisťujeme desku měniče společně s bateriemi do vhodné krabice (lze ji vyrobit např. z cuprextitu spájením). Hotovou krabici můžeme polepit samolepicí tapetou a opatřit nezámenným konektorem pro větší napětí, pomocí kterého se připojí vlastní zábleskové zařízení, obsahující již sběrný konden-

zátor. Měnič byl zkoušen na sovětském výrobku, který používá napětí 230 V na kondenzátoru o kapacitě 800  $\mu\text{F}$ . Byl použit původní (sítový) přívod, přepojený přímo na elektrolytický kondenzátor. V měniči byly změněny odpory  $R_s$  a  $R_t$  (oba na 0,82 M $\Omega$ ). V tomto případě lze použít doutnavku s menším zápalným napětím. Potenciometrem  $R_6$  bylo možno bez potíž nastavit napětí 230 V a směrné číslo zůstalo zachováno. Nabíjecí doba (s čerstvými bateriemi) byla asi 8 s. Nastavení indikační doutnavky pochopitelně neměníme.

Dále byl měnič vyzkoušen pro napájení blesku Multilux, který se u nás vyrábí. I v tomto případě byl přívod zaveden přímo na kondenzátor (250  $\mu\text{F}$  /500/550 V) a původní sériový odpor

s tepelnou pojistkou, kondenzátor a usměrňovač zdvojovače napěti byly odstraněny. Protože provozní napětí kondenzátoru (změřené předem) bylo asi 470 V, byl měnič nastaven tak, aby maximální napětí bylo 480 V, minimální asi 460 V; poměry byly tedy i zde zachovány. Směrné číslo se nezměnilo, přičemž rychlosť nabíjení je téměř stejná jako při původním provozu na síť. Provoz zábleskového zařízení na měnič je tak výhodný, že se rádi vzdáme možnosti sítového napájení, které nás nepohodlně poutá k zásuvce elektroprovodné sítě.

Stejně snadno lze upravit kterýkoli sítový blesk; měnič poslouží i tehdy, konstruujeme-li amatérsky celé zábleskové zařízení.

# FERITOVÁ ANTÉNA PRO DNA TORSAHY

Ing. V. Patrovský

*U nepříliš miniaturních i kapesních přijímačů je žádoucí, aby měly kromě základního rozsahu středních vln i další rozsah, a to buď KV nebo DV. Kdo dá přednost dálkovému příjmu, nebo mluvené řeči, zvolí rozsah KV, musí však počítat s malou jakostí příjmu, rušeným poruchami a únikem. Proto není přenos v pásmu KV vhodný pro poslech hudby. K doplnění obvodu přijímače rozsahem KV potřebujeme přepínač s pěti přepínacími kontakty.*

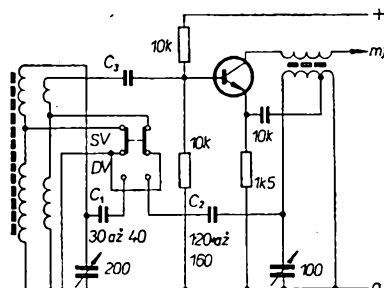
V pásmu DV pracuje několik dobře slyšitelných vysílačů, zejména čs. stanice Hvězda, Varšava, vysílač NDR, dvě sovětské stanice a jedna stanice BBC. Obvody pro příjem v pásmu DV lze do přijímače vestavět velmi snadno, použijeme-li zjednodušené zapojení, např. připojujeme-li k laděnému obvodu oscilátoru, pracujícího původně v rozsahu SV, přídavný kondenzátor; v tom případě není nutno používat další cívku pro rozsah DV. Ve vstupním obvodu přepínáme vinutí na feritové anténě; je však třeba vyuřovat souběh na rozsahu DV připojením malé kapacity ke vstupnímu obvodu. K přepínání rozsahů stačí jednoduchý dvoupólový přepínač. Toto zapojení bylo použito např. v polském přijímači Koliber, v sovětském přijímači Almaz nebo v rumunských přijímačích Neptun a Tomis.

### Střední a dlouhé vlny

Před úpravou můžeme zkontrolovat, zda je přijímač z výroby dobré sladěn. Zjistíme to jednoduše: vyladíme některou stanici na počátku rozsahu a potom jinou na konci rozsahu. V obou případech se snažíme rozladit obvod tím, že k cívce na feritové anténě přiblížíme nejprve kousek feritového materiálu a pak nějaký nemagnetický vodivý (hliníkový nebo měděný) materiál. Je-li signál z reproduktoru po přiblížení feritu hlasitější, je obvod naladěn na vyšší kmitočet, zlepší-li se příjem přiblížení např. hliníku, je obvod naladěn na nižší kmitočet. Obvod dodlážíme na začátku rozsahu (u vyšších kmitočtů) trimrem, na opačném konci rozsahu (u nižších kmitočtů) posouváním cívky po feritové tyčce. Dále zjistíme, jaká je kapacita každé z obou sekci ladícího kondenzátoru. Nesymetrické ladící kondenzátory mají např. přijímače T60 a Doris (175 + 96 pF), Ko-

liber (200 + 100 pF), Rena (150 + 64 pF), Almaz (240 + 120 pF), Aiwa (186 + 78 pF), Bambino a Sharp (165 + 72 pF), Sternchen (200 + 90 pF), Iris a Dana (150 + 60 pF). Je-li ladící kondenzátor symetrický, zmenšuje se zpravidla kapacita v laděném obvodu oscilátoru sériově zapojeným kondenzátorem („pedinkem“); paralelní kondenzátor pro přeladění do pásmu DV se v tomto případě připojuje přepínačem mezi „pedinku“ a dolní konec cívky oscilátoru. Zbývá určit kapacitu obou paralelních kondenzátorů a navinout přidavnou cívku na feritovou anténu.

Předpokládejme, že dvojitý ladící kondenzátor má kapacity 200 a 100 pF (obr. 1). Pro mezní kmitočty rozsahu středních vln 0,54 až 1,6 MHz musí být



Obr. 1. Obvody vstupu a oscilátoru přijímače Koliber;  $C_3$  může být zapojen i u uzemněného konce cívky, v tom případě však nesmí být střední kontakt přepínače přímo (galvanicky) uzemněn

nejmenší a největší kapacita laděného obvodu v poměru (převráceném) dvojmoci obou mezních kmitočtů, tj.  $0,54^2 : 1,6^2 = 1 : 8,8$ . Tomuto poměru odpovídá nastavení trimru, při němž se bude měnit kapacita ladícího obvodu v rozsahu 26 až 226 pF. Indukčnost určíme podle Thompsonova vzorce

$$L = \frac{25\ 330}{Cf^2} = \frac{25\ 330}{226 \cdot 0,29} = 387 \mu\text{H}$$

Při popisovaném zjednodušeném zapojení se poněkud změní rozsah DV, což však nevadí, protože v praxi zpravidla využijeme pouze pásmá kmitočtů asi 0,29 až 0,15 MHz. Při rozsahu DV se tedy bude měnit kapacita v poměru 3,7 : 1, což odpovídá změně kapacity asi 75 až 275 pF, ale protože přídavná kapacita u středních vln byla 26 pF, zbývá přidat přibližně 50 pF. Ve skutečnosti bude tato kapacita menší, asi 30 až 40 pF, protože do nejmenší kapacity obvodu je nutno zahrnout vlastní kapacitu cívky, spojů a počáteční kapacitu kondenzátoru (s tou bychom při přesném výpočtu měli počítat i v předešlých vztazích).

Podobný výpočet provedeme pro obvod oscilátoru. Nejmenší a největší kapacita laděného obvodu bude určena poměrem dvojmoci kmitočtů oscilátoru na začátku a na konci rozsahu (při mi kmitočtu přijímače 0,45 MHz je to  $2,05^2 : 0,99^2$ , tedy přibližně 4,3 : 1). Má-li sekce ladícího kondenzátoru, určená pro oscilátor, kapacitu 100 pF, příslušný trimr pro SV má 30 pF a výsledná kapacita je 30 až 130 pF. Poměrná změna kapacity pro rozsah DV je  $0,74^2 : 0,6^2 = 1,52 : 1$ , kapacita v laděném obvodu oscilátoru tedy bude 180 až 280 pF. Odečteme-li 30 pF (trimr), měla by být přídavná kapacita 150 pF; s ohledem na cívku a spoje můžeme počítat s kapacitou asi 130 až 140 pF.

Zbývá určit indukčnost cívky vstupního obvodu. Pro vstupní obvod DV jsme vypočítali největší kapacitu 275 pF, pro kmitočet 0,15 MHz bude tedy indukčnost 4 070  $\mu\text{H}$ . Odečtením indukčnosti cívky SV určíme potřebnou přídavnou indukčnost (3 683  $\mu\text{H}$ ). Indukčnost cívky je závislá na druhé mocnině počtu závitů. V našem případě je indukčnost pro rozsah DV asi desetkrát větší než indukčnost pro rozsah SV; přídavná cívka by tedy měla mít asi třikrát větší počet závitů než cívka SV, jejíž počet závitů se nám však někdy těžko podaří zjistit. Při malých kapacitách ladících kondenzátorů mívá tato cívka asi 80 z, měli bychom tedy navinout asi 250 z. Cívka bývá umístěna asi v jedné třetině délky feritové tyčky. Přídavnou cívku pro DV, navinutou ve stejném smyslu, umístíme do druhé třetiny délky tyčky a přes ni navineme (opět ve stejném smyslu) 15 až 20 z vazebního vinutí. Po nasunutí hotové cívky DV na tyčku (dříve než začneme s dalšími úpravami) zapneme přijímač a vyladíme některou stanici na konci rozsahu SV (např. Videň nebo Budapešť). Obě vinutí přídavné cívky zkraťujeme a stejným způsobem jako při kontrole sladění přijímače zjistíme zretečné rozladění obvodu vlivem přídavné cívky DV. Na cívku SV musíme přivinout zpravidla 5 až 12 z, abychom

dosáhli původní indukčnosti. Potom zapojíme vstup a oscilátor přijímače podle obr. 1. Obvody SV již nedoladujeme. Pomocí jiného přijímače zjistíme na stupni polohy přijímače Hvězda (těsně u začátku stupnice) a vysílače NDR (asi ve dvou třetinách stupnice), popř. dalšího vysílače na konci stupnice. Na maximální citlivost doladíme obvody výhradně změnou kapacity kondenzátorů  $C_1$  a  $C_2$ .

Jelí v přijímači nesymetrický ladící kondenzátor s menší kapacitou, je postup výpočtu stejný (japonské ladící kondenzátory 160 + 70 pF vyžadují  $C_1$  jen asi 20 pF a  $C_2$  120 pF).

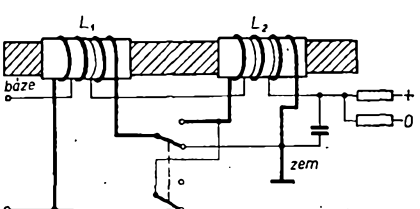
### Střední a krátké vlny

Vzájemné ovlivnění cívek pro SV a KV je nepatrné, cívky se nezkratují (na rozdíl od cívky pro DV) a k volbě rozsahu se používá přepínač s pěti kontakty. Pro rozsah 25 až 75 m a při největší kapacitě laděného obvodu 220 pF vychází indukčnost cívky 7,2  $\mu\text{H}$ , pro rozsah 16 až 50 m 3,2  $\mu\text{H}$ , což odpovídá asi devíti a čtyřem závitům, vinutým s mezerou 1 až 3 mm. Obvykle neznáme druh (vlastnosti materiálu) feritové antény použité v přijímači. Rozsah KV od 16 m zpravidla nemá význam, nepoužijeme-li současně pravovou anténu. Ferit pro pásmo KV má mít malou počáteční permeabilitu (např. typ N 05, označovaný modrou tečkou). Je-li v přijímači nesymetrický ladící kondenzátor, je volba rozsahu jednoznačná: vzhledem k poloviční kapacitě to může být také pouze polovina rozsahu, tedy nejhodněji 30 až 50 m. Kapacitu ve vstupním obvodu musíme ovšem sériovým připojením kondenzátoru o přibližně stejné kapacitě zmenšit, aby výsledná kapacita byla přibližně stejná jako kapacita laděného obvodu oscilátoru (popř. poněkud menší). Současně není u rozsahu KV kritický, cívka oscilátoru musí mít asi o 10 % menší indukčnost než cívka vstupního obvodu, největší kapacita obvodu je asi o 7 % menší.

### Dva rozsahy krátkých vln

U většich nebo speciálních přijímačů je někdy vhodné mít dva rozsahy KV, a to nejen pro snazší ladění, ale i pro obsahnutí většího pásmá kmitočtů, např. 23 až 13 MHz a 14 až 4 MHz, popř. 23 až 9 MHz a 9 až 2 MHz. Přijímač Sport má rozsah 5,9 až 12,1 MHz a 15 až 18 MHz. Cívky jsou sice na společném feritu, ale vinutí na sebe nenavazují a při přepnutí na jeden rozsah je cívka druhého rozsahu KV zkratována. Šířka pásmá obou rozsahů je upravena sériově a paralelně připojenými kondenzátory.

Výhodnější je přepínat cívky do série a paralelně. Pokusné zapojení bylo ověřeno s feritovou tyčkou o  $\varnothing$  10 mm, dlouhou 90 mm a označenou zelenou a stříbrnou barvou; byla původně



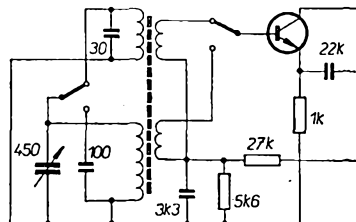
Obr. 2. Zapojení feritové antény pro dva rozsahy KV

použita pro KV v jednom japonském přijímači. V jedné třetině délky feritové tyčky byla umístěna cívka (čtyři závity drátu o  $\varnothing$  1 mm s mezerou mezi závity asi 1,5 mm) a byla změřena její indukčnost; totéž bylo opakováno s cívkou jež měla osm závitů, a konečně byla změřena indukčnost obou cívek, zapojených do série a paralelně. Výsledky měření jsou v tab. 1. Při použití kon-

Tab. 1.

Cívka	Indukčnost [ $\mu\text{H}$ ]
$L_1$ (4 z)	1,6
$L_1$ (8 z)	3,4
$L_1, L_2$ v sérii	6,8
$L_1, L_2$ paralelně	1,8

denzátoru s největší kapacitou 220 pF a nejmenší 20 pF lze při paralelním spojení cívek obsáhnout pásmo 28 až 7,2 MHz a při sériovém spojení pásmo 14 až 4,1 MHz, tedy celkem 11 až 75 m. Doladěním trimru můžeme získat běžný rozsah od 23 MHz a můžeme též vyloučit překrývání pásm. Vazební vinutí cívek jsou u  $L_1$  1,5 z a u  $L_2$  2,5 z; obě jsou zapojena do série. K přepínání potřebujeme tři kontakty (obr. 2), úprava má výhodu v tom, že nakmitané napětí je podstatně vyšší. Podobnou úpravu lze použít i pro rozsah SV a DV. Připojí-li se cívka rozsahu DV trvale na „živý“ konec ladícího kondenzátoru (obr. 3), ušetří se jeden kontakt a nakmitané napětí je rovněž větší. Tato



Obr. 3. Zjednodušené zapojení vstupního obvodu pro rozsah KV a DV u přijímače Perla

úprava byla použita u přijímačů Havana, Akcent a Perla. Lze ji použít také pro krátké vlny, má-li  $L_2$  10 až 12 z (pro nižší kmitočty). V obou případech se vazební vinutí připojuje samostatně (nezkratuje se). V pásmu KV je vhodné zavést neutralizaci, např. podle zapojení přijímače Orbita.

Uvedené úpravy byly použity u přijímačů Bonny (Menuet, Dolly) se samostatnou feritovou anténou pro DV, neboť na původní feritové anténě pro KV mají tyto přijímače vinutí pro KV. Podle obr. 1 byl upraven pro příjem v pásmu DV japonský přijímač s magnetofonem, také zapojení podle obr. 2 bylo ověřeno v praxi.

### Literatura

- [1] Patrovský, V.: Námetky pro stavbu tranzistorových přijímačů. AR č. 8/1968.
- [2] Hyšán, J. T.: RK č. 4/1971.
- [3] Hroudny, L.: Feritové přijímací antény. ST č. 4/1963.
- [4] Patrovský, V.: Vzájemné ovlivňování indukčností soupravy pro tranzistorové přijímače. ST č. 9/1963.
- [5] Sieber, Drábek: Navrhování obvodů tranzistorových přijímačů. Praha: SNTL 1967.

# Zajímavá zapojení zahraničí

Tato pravidelná rubrika slouží k popisu obvodů, popř. přístrojů ze zahraniční literatury, které jsou pozoruhodné svou funkcí, použitím běžných součástek v neobecném zapojení atd. Pomozte nám i vy při sestavování rubriky svými příspěvky – nezapomeňte však uvést vždy původní pramen, z něhož jste při zpracování příspěvku vycházeli, popř. uveďte i své zkušenosti při náhradě zahraničních součástek našími, tuzemskými. Těšíme se na vaše příspěvky. Redakce

## Stabilizovaný zdroj napětí s tyristorem

Na obr. 1 je zajímavé řešení stabilizovaného zdroje napětí bez transformátoru, u něhož je regulačním prvky tyristor (napájecí síťové napětí 220 V  $\pm 10\%$ , 50 Hz, výstup +175 V s přesností  $\pm 1\%$  a zvláštním 0,6 V při odběru 340 mA). Celý zdroj lze konstrukčně realizovat jako velmi malý celek – rozhodně mnohem menší, než dosud používané a vyráběné stabilizované zdroje se síťovým transformátorem. Další podstatnou výhodou tyristorové regulace je skutečnost, že samotný regulační člen je téměř bezzátrátový. Na tyristoru se při odběru 0,5 A ztráci pouze asi 0,5 W. Srováme-li tento zdroj s podobným zdrojem elektronkovým nebo tranzistorovým, je zřejmá nejen značná úspora energie, ale i možnost umístit zdroj do menšího prostoru, protože je třeba odvádět mnohem menší množství tepla. Vice tepelné energie vyzařují pouze omezovací odpory  $R_1$ ,  $R_2$  a  $R_{14}$ . Také cenové srovnání je příznivé. Současné ceny tyristorů nejsou výšší než ceny elektronek a jsou mnohem nižší než ceny výkonových tranzistorů s velkým závěrným napětím.

Funkce obvodu je patrná ze schématu (obr. 1). Kondenzátory  $C_1$ ,  $C_2$  spolu s  $L_1$  a  $L_2$  tvoří odrušovací filtr. Diody  $D_1$  až  $D_4$  jsou běžné usměrňovací diody v můstkovém zapojení. V originálu je použit jediný usměrňovací blok, sestavený ze čtyř diod. Dioda  $D_5$  je Zenerova dioda, na níž se srovnává výstupní ss napětí z děliče  $R_4$ ,  $R_5$  a  $R_6$  se Zenerovým napětím  $D_5$  v bázi řidícího tranzistoru. Protože je na kolektoru tranzistoru  $T$  střídavé pulsující napětí, jsou pro otevření tranzistoru  $T$  a vznik impulsu na jeho kolektoru dvě podmínky: na výstupu děliče musí být kladné napětí větší, než je Zenerovo napětí diody  $D_5$  a pulsující kladné napětí na kolektoru tranzistoru musí být větší, než je napětí na bázi. Impulsy jsou synchronizovány s kmitočtem sítě, mají kmitočet 100 Hz a jejich fázové zpoždění je tím větší, čím je větší výstupní ss napětí.

Kondenzátory  $C_3$  a  $C_4$  jsou jakési akumulátory energie, jakmile impulsní napětí na nich bude větší než  $U_{B0}$  diaku  $D_8$ , pracuje  $D_8$  v záporné části charakteristiky a do řidící elektrody tyristoru přijde přes  $C_8$  impuls. Tyristor je tedy řízen v každé půlperiodě zpožděným impulsem.

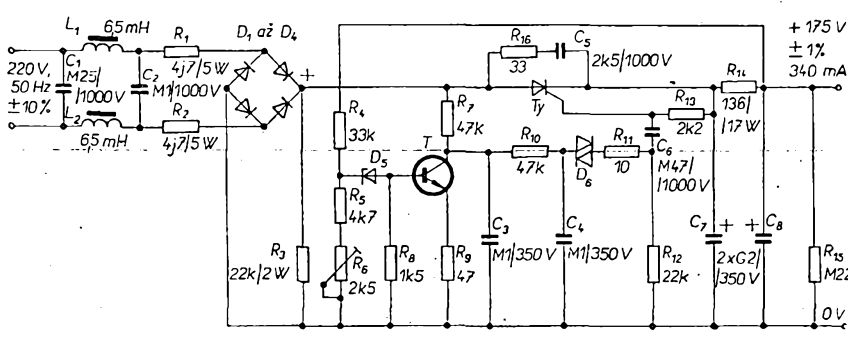
Kondenzátor  $C_5$  a odporník  $R_{16}$  je běžná plovoucí napěťová ochrana tyristoru;  $C_7$ ,  $C_8$  spolu s  $R_{14}$  je filtrační řetězec na výstupu stabilizátora. Přesné výstupní napětí se nastavuje trimrem  $R_8$ .

Všechny polovodiče jsou výrobky Siemens,  $D_1$  až  $D_4$  jsou tvorenými jediným usměrňovacím blokem typu B12 40 - 250/1000/700 ( $U_{et} = 250$  V, provozní proud 0,85 A). Dioda  $D_5$  je typu BZY83C24, je to Zenerova dioda o  $U_Z = 22,8$  až 25,6 V,  $I_Z = 5$  mA. Diak  $D_6$  je typu A9903 o  $U_{B0} = 32 \pm 4$  V. Tranzistor  $T$  je typu BC237, křemíkový, standardní nf tranzistor, n-p-n o  $U_{CE0} = 45$  V,  $I_C = 100$  mA, 300 mW,  $f = 150$  MHz a  $\beta = 240$  až 500. Tyristor  $T_y$  je typu BstBO246 (3,5 A trvalý proud, 700 V max. závěrné napětí).

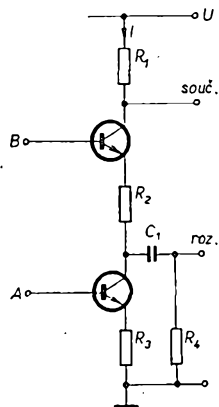
Siemens Halbleiter - Schaltbeispiele 1973/74

## Aktivní součtový a rozdílový obvod

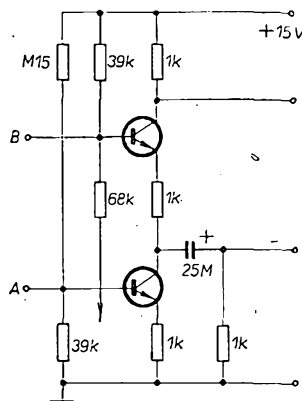
První obvod (obr. 1) je ukázkou, jak vhodně řešit jednoduchý, ekonomický a účelný způsob sčítání a odečítání dvou signálů a je zvlášť vhodný ve stereofonních a kvadrofonických aplikacích. Je-li  $R_1 = R_2 = R_3 = R_4$ , pak signál na horním výstupu je  $1/2(A + B)$  a na spodním výstupu  $1/2(A - B)$ . Při použití součástek na obr. 2 s  $U = 15$  V a  $I = 2$  mA je výstupní signál až 1,4 V. Tranzistor může být BC109 nebo podobný. Malou změnou  $R_a$  můžeme získat přesnou nulu pro vstupy s opačnou fází. Při užití jiných odporek v kolektoru a emitoru mohou být získáni rozdílní vahoví činitelé. Výstup  $A$  je



Obr. 1. Stabilizovaný zdroj napětí s tyristorem



Obr. 1. Aktivní součtový a rozdílový obvod



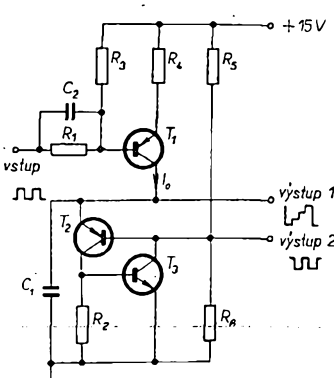
Obr. 2. Aktivní součtový a rozdílový obvod

též dostupný jako „spodní emitor“ a výstup  $B$  jako „horní emitor“, oba mají relativně malou impedanci a malé přeslechy. Spodní konec odporu 68 k $\Omega$  může být uzemněn.

Ing. J. Kratochvíl  
Wireless World 10/1974

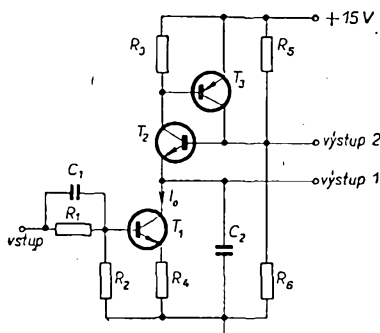
## Generátor napětí schodovitého průběhu

Generátory napětí schodovitého průběhu mají široké použití v automatizaci a číslicové technice. Na obr. 1 je schéma podobného generátoru. Napětí schodovitého průběhu se odeberá z výstupu 1. Daný generátor může též pracovat jako



Obr. 1. Generátor napětí schodovitého průběhu

dělič kmitočtu - výstup 2. Není-li na vstupu impuls, je tranzistor  $T_1$  uzavřen. Při příchodu impulsu na vstup se otevřá  $T_1$  na čas, určený délkou tohoto impulsu. Napětí na  $C_1$  se zvětšuje s každým impulsem o  $U_1$ , úmerné proudu  $I_0$  a nepřímo úmerně kapacitě kondenzátoru  $C_1$ . Dosáhne-li schodovitě se zvětšující napětí na kondenzátoru napětí  $U = nU_1$  ( $n$  je počet „schodů“), otevírá se obvod složený z tranzistorů  $T_2$  a  $T_3$ . Kondenzátor  $C_1$  se plně vybije a děj se opakuje. Klopny obvod složený ze dvou bipolárních tranzistorů je vlastně nahradou tranzistoru UJT. Tranzistory klopového obvodu jsou při napětí na kondenzátoru  $C_1$  menším než je prahové napětí uzavřeny napětím snímaným z děliče  $R_5$ ,  $R_6$ . V době překlápení obvodu se objeví na výstupu 2 krátký pravoúhlý impuls, používaný při funkci generátoru jako dělič kmitočtu. Součinitel dělení je  $n$ . Při konstantní délce vstupních impulsů můžeme součinitel dělení měnit regulováním výšky a počtu „schodů“. V prvním případě je nutno měnit proud  $I_0$  nebo kapacitu kondenzátoru  $C_1$ , v druhém nastavit napětí pro práci klopového obvodu.



Obr. 2. Generátor napěti sestupného schodovitého průběhu

Na obr. 2 je schéma generátoru sestupného schodovitého napěti. Práce generátoru je v podstatě stejná, rozdíly jsou v tom, že kondenzátor  $C_2$  se v tomto případě rychle nabíjí a schodovitě vybije. Zmenší-li se napětí na kondenzátoru na nastavenou úroveň, otevírá se klopny obvod ( $T_2$ ,  $T_3$ ) a nové rychlé nabíjení začíná nový děj.

Podobný generátor lze použít k měření kmitočtu nebo kapacity, nebo jako číslicově analogový prevodník.

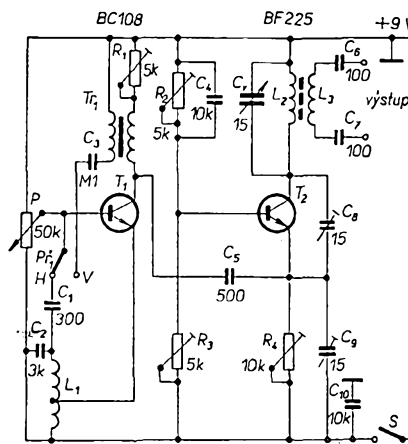
Ing. J. Kratochvíl

Radio (SSSR) 1975

#### Generátor signálu pro opravy TVP

Generátor na obr. 1 je zdrojem obrazového i zvukového signálu, vhodného k opravám televizních přijímačů. Generátor se skládá z několika součástek, proto ho můžeme umístit do pouzdra velmi malých rozměrů, např. do pouzdra malých tranzistorových přijímačů.

Generátor je sestaven ze dvou tranzistorů, jednoho proměnného kondenzátoru s maximální kapacitou 15 pF,



thyristorem podle obr. 1. Jeho výhodou kromě jednoduchosti je malé množství součástek a malý ztrátový výkon všech prvků, takže lze regulátor vestavět např. do zásuvky, stojanu lampy atd. Má obecné vlastnosti všech tyristorových a triakových regulátorů: výbornou energetickou účinnost, na druhé straně je však zdrojem rušení. V zapojení jsou nejvíce tepelně namáhaný tyristor  $T_y$  při použití žárovky 120 V/100 W (max. 1 W) a dělič složený z odporu  $R_1$  a  $R_2$  při plném napěti (0,5 W).

Funkce obvodu je jednoduchá a plyne ze schématu na obr. 1. Síťový dvojpólový spínač, žárovka  $Z$ , jejíž proud regulujeme, tlumivka  $T_1$ , kondenzátor  $C_1$  a regulační tyristor  $T_y$  tvoří síťový obvod, jímž protéká jednocestné usměrněný pulsující proud. Působením regulátoru se tyristor otevří pouze po část kladné půlperiody střídavého napětí a to v závislosti na natočení potenciometru  $P$ . Tlumivka  $T_1$  a kondenzátor  $C_1$  tvoří odrušovací filtr. Ten není funkčně nutný, jeho vynecháním však způsobíme značné potíže všem okolním posluchačům rozhlasu a televize. Ze středu děliče  $R_1$  a  $R_2$  se odeberá střídavé napětí, které se jednocestně usměrňuje diodou  $D_1$ . Na zpožďovacím členu (potenciometr  $P$ , odpor  $R_3$  a kondenzátor  $C_2$ ) vzniká fázové zpoždění pulsujícího usměrněného napěti v závislosti na poloze běžce potenciometru  $P$ . Tranzistory  $T_1$  a  $T_2$  se otevřou až po nabití kondenzátoru  $C_2$ . Tyristor  $T_y$  se otevří kladným napětím na řidici elektrody. Toto kladné napětí prochází přes  $R_1$ ,  $D_1$ ,  $R_4$ , zpožděně se otevřející  $T_2$  a  $R_5$ , až na řidici elektrodu.

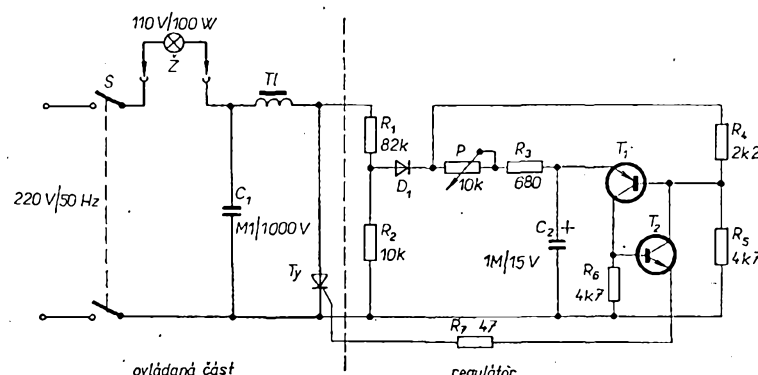
Autor původního článku použil tyto prvky:  $Z$  — žárovka 110 V, 100 W;  $T_y$  — tyristor ST103/4 výrobce RFT (tyristor 1 A v plastovém pouzdře). Tuzemskou obdobou  $T_y$  je typ KT504 nebo KT505;  $D_1$  — dioda SY200 (běžná usměrňovací křemíková dioda o  $I_{AK} = 2$  A a  $U_{AK} = 75$  V);  $T_1$  — germaniový tranzistor p-n-p typu GC121C ( $U_{CBO} = 25$  V,  $\beta = 45$  až 90 a  $I_C = 250$  mA);  $T_2$  — křemíkový tranzistor n-p-n typu SF126D ( $U_{CBO} = 33$  V,  $\beta = 112$  až 280 a  $P = 600$  mW);  $C_1$  je kondenzátor MP a  $C_2$  elektrolytický kondenzátor běžného typu;  $R_1$  a  $R_2$  jsou odpory 0,5 W, všechny ostatní odpory jsou v provedení 0,125 W.

Všechny součástky jsou výrobky závodů NDR.

Při použití žárovky s menším příkonem se doporučuje pro zachování celého rozsahu regulace zvětšit odpor  $R_3$ .

-Ar-

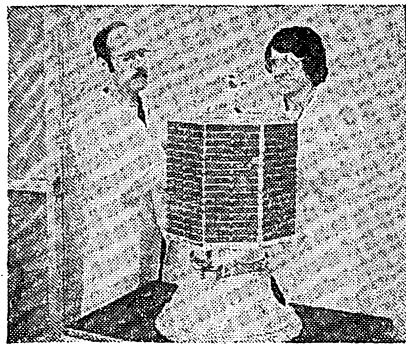
Radio, Fernsehen, Elektronik č. 10/75



Obr. 1. Thyristorový regulátor proudu osvětlovací žárovky

# Geometrie okolo družice Oscar 7

V tomto článku bychom chtěli – jak jsme slibili v AR 4/75 – seznámit čtenáře s těmi vlastnostmi družice OSCAR 7, které vyplývají z její geometrické dráhy; a podrobně je vysvětlit. K vysvětlení je použito základních geometrických a trigonometrických výrazů a několika vzorců ze sférické trigonometrie, tj. z trigonometrie na kouli. Cílem článku je dojít k výpočtu, popř. ke grafickému určení úhlů, ve kterých musíme směrovat anténu k navázání spojení přes družici OSCAR 7.

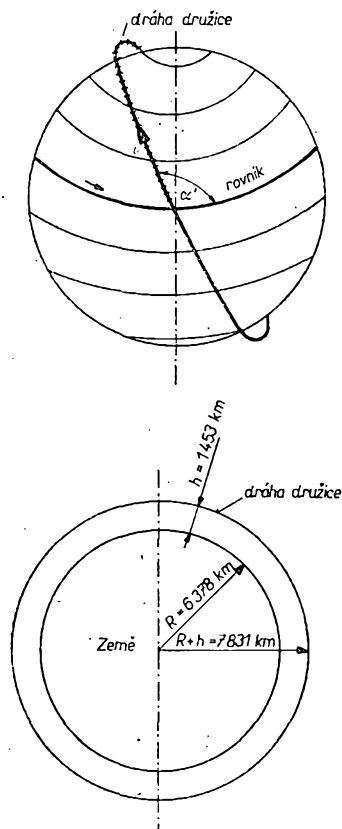


## Základní parametry dráhy

Družice AO-7 obíhá okolo Země po kruhové dráze ve výšce 1 453 km. Úhel, který svírá její dráha s rovníkem, je  $\alpha' = 101,73^\circ$  (viz obr. 1a). Doba jednoho oběhu je 114,9448 minut.

Vzhledem k tomu, že se Země otáčí okolo své osy jednou za 24 hodin, potočí se během každého oběhu družice a dráha družice „protíná“ rovník vždy o určitý počet stupňů zeměpisné délky západněji. Tomuto údaji se říká separace drah a určíme jej jednoduchým výpočtem – otočí-li se Země za 24 hodin o  $360^\circ$ , otočí se za 114,9448 minut o  $360^\circ \frac{114,9448}{24 \cdot 60} = 28,7362^\circ$ .

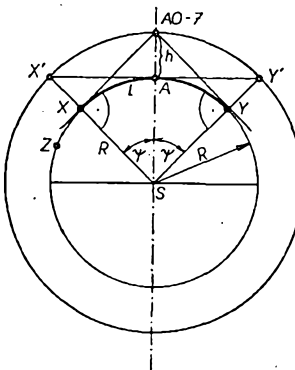
Ve všech následujících výpočtech zanedbáváme zploštění Země a považujeme ji za kouli o poloměru 6 378 km.



Obr. 1. K výkladu základních parametrů

## Dosah a využitelnost družice

Že družice obsahne kruh zhruba o poloměru 4 000 km a nejdéle uskutečnitelné spojení přes její převáděč je tedy asi 8 000 km jsme uvedli již v našich prvních článcích o radioamatérských družicích. Zdůvodníme si nyní, proč



Obr. 2. K výpočtu využitelnosti a dosahu družice

tomu tak je. Na obr. 2 je znázorněna situace při pohledu kolmo na rovinu dráhy družice. Je vyznačen poloměr Země  $R$ , výška dráhy družice nad Zemí  $h$  a další body. Vzhledem k tomu, že oba převáděče na družici vysílají na VKV, je předpokladem spojení mezi pozemní stanici a družicí „přímá viditelnost“. Jak je patrné z obr. 2, jsou nejvzdálenější body na povrchu Země, pro které je tato podmínka splněna, body  $X$  a  $Y$ . Jsou to dotykové body tečen k povrchu Země, vedený z bodu  $AO-7$ . Nyní vypočítáme vzájemnou vzdálenost bodů  $X$  a  $Y$  po povrchu Země. Body  $AO-7$ ,  $X$  a  $S$  (popř.  $AO-7$ ,  $Y$  a  $S$ ) jsou vrcholy pravoúhlého trojúhelníka, jehož dvě strany známe. Můžeme proto vypočítat velikost úhlu  $\psi$ . Použijeme základní geometrickou definici pro kosinus úhlu – kosinus úhlu se rovná poměru přilehlé odvěsně k přepoňce. Přilehlá odvěsna je strana  $X-S = R = 6 378$  km, přepona je strana  $AO-7-S = R+h = 7 831$  km. Platí tedy

$$\cos \psi = \frac{R}{R+h} = \frac{6 378}{6 378 + 1 453} = 0,814$$

a  $\psi = 35,45^\circ$ .

Obvod Země je přibližně 40 050 km a přísluší úhlu  $360^\circ$ . Část obvodu, tvořící vzdálenost mezi body  $X$  a  $A$  ( $Y$  a  $A$ ) přísluší úhlu  $35,45^\circ$  a měří tedy  $X-A = 40 050 \frac{35,45}{360} = 3 944$  km.

To je jednak poloměr oblasti na Zemi, v které lze v dané chvíli přijímat signály z družice, jednak polovina maximální možné vzdálenosti mezi dvěma stanicemi na povrchu Země, které spolu mohou přes družici AO-7 navázat spojení.

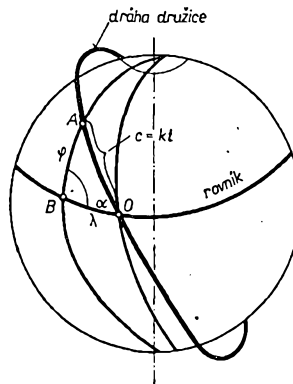
Z obr. 2 vyplývá, že spojení přes družici AO-7 lze navázat pouze tehdy, je-li družice z hlediska pozemní stanice „nad obzorem“. Krajní body dráhy družice v situaci na obr. 2, pro které tato podmínka z hlediska stanice  $A$  platí, jsou  $X'$  a  $Y'$ . Na dráze družice je určuje

průsečík s tečnou k povrchu Země v bodě  $A$ . Je vidět, že odpovídají krajním bodům  $X$  a  $Y$  na povrchu Země.

Z obr. 2 můžeme určit ještě jeden údaj – dobu, po kterou je družice v daném místě slyšitelná. Úhel mezi body  $X'$  a  $Y'$  na dráze družice je stejný jako úhel mezi body  $X$  a  $Y$  na povrchu Země, tj.  $2 \times 34,45^\circ = 70,9^\circ$ . Protože celou dráhu –  $360^\circ$  – proběhne družice za 114,9448 minut, proběhne část dráhy mezi body  $X'$  a  $Y'$  za  $114,9448 \frac{70,9}{360} = 22,6$  minut. To je přibližně nejdéle možná doba slyšitelnosti družice, procházející její dráhu přímo nad předpokládanou stanicí; přibližně proto, že v této úvaze byl zanedbán pohyb Země.

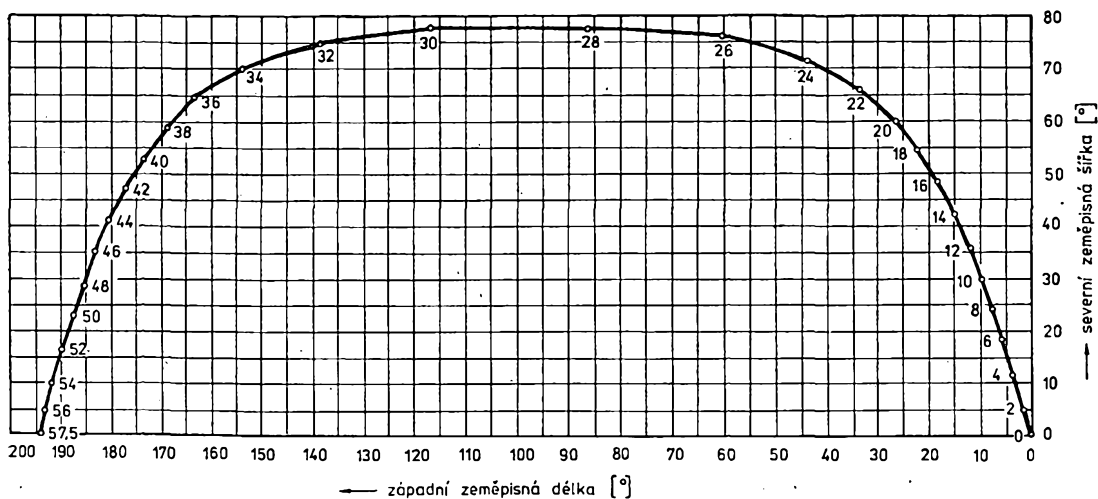
## Výpočet pohybu družice

K určení polohy družice v kterémkoli okamžiku použijeme zeměpisné souřadnice místa (bodu), ležícího pod družicí na povrchu Země. Zeměpisná délka se měří na rovníku jako délka oblouku (ve stupních) mezi nulovým poledníkem a poledníkem, procházejícím daným místem. Zeměpisná šířka je vzdálenost daného místa od rovníku, opět ve stupních.



Obr. 3. K výpočtu zeměpisných souřadnic

Vyjdeme z obr. 3. Pro jednoduchost předpokládáme, že dráha družice protíná rovník v místě nultého poledníku. Za určitou dobu  $t$  urazí družice vzdálenost  $c$  a dostane se nad bod  $A$ , jehož zeměpisná délka je  $\lambda$  a zeměpisná šířka  $\varphi$ . Protože kterýkoli poledník protíná rovník pod úhlem  $90^\circ$ , vytváří body  $O$ ,  $A$ ,  $B$  vrcholy pravoúhlého sférického trojúhelníka. Protože známe jeho dva úhly – úhel  $\alpha$  (je doplněkem úhlu  $\alpha'$ , udávaný



Obr. 4. Zeměpisné souřadnice družice v závislosti na čase

jícího sklon dráhy družice k rovníku) a pravý úhel ve vrcholu  $B$ , a jednu stranu ( $O-A = c$ , jednoznačně určenou dobou letu družice z bodu  $O$  do bodu  $A$ ), můžeme vypočítat zbyvající dvě strany  $\lambda$  a  $\varphi$ . Ze sférické trigonometrie pro ně platí

$$\varphi = \arcsin(\sin \alpha \sin c)$$

$$\lambda = \arccos \frac{\cos c}{\cos \varphi}$$

Na zeměpisnou šířku nemá otáčení Země vliv – je patrné z obrázku, že vzdálenost od rovníku se otáčením Země nemění. Na zeměpisnou délku ale otáčení Země má vliv. Během doby  $t$  se Země pootočí o úhel  $360 t / 24.60 = 0,25 t$  a k vypočítané zeměpisné délce musíme tento úhel přičíst. Do uvedených vzorců ještě dosadíme –  $\sin \alpha = \sin 78,37^\circ = 0,98$  a  $c = kt$ , kde  $t$  je čas a  $k$  je konstanta. Velikost konstanty  $k$  zjistíme dosazením za  $t = 114,9448$ , kdy  $c = 360^\circ$ .

$$k = \frac{c}{t} = \frac{360}{114,9448} = 3,132.$$

Definitivní vzorce pro zeměpisné souřadnice průmětu družice v čase  $t$  od protnutí rovníku v místě křížení s nultým poledníkem jsou potom

zeměpisná šířka

$$\varphi = \arcsin(0,98 \sin 3,132 t),$$

zeměpisná délka

$$\lambda = \arccos \frac{\cos 3,132 t}{\cos \varphi} + 0,25 t.$$

Vypočítáním zeměpisných souřadnic pro čas  $t$  odstupňovaný po dvou minutách vznikla tab. 1. Zeměpisná šířka je nezávislá na skutečném místě křížení dráhy družice s rovníkem, k vypočítané zeměpisné délce musíme přičíst zeměpisnou délku místa, v kterém dráha při daném oběhu křížila rovník.

Grafickým zpracováním tab. 1 vznikl obr. 4. Je univerzální pro libovolný oběh družice za předpokladu, že posuneme měřítko zeměpisné délky tak, aby v bodě  $0^\circ$  byl údaj konkrétní pro daný oběh. Přiložením grafu na mapu světa s lineárními souřadnicemi a stejným měřítkem zjistíme, nad kterým místem družice v určitou dobu prolétá.

#### Zaměření družice

Ke správnému zaměření antény na družici potřebujeme znát dva úhly – azimut a úhel naklonění antény nad

Tab. 1.

$t$	$\varphi [^\circ]$ severní šířky	$\lambda [^\circ]$ západní délky
0	0	0
2	6,138	1,752
4	12,273	3,533
6	18,402	5,374
8	24,521	7,314
10	30,625	9,402
12	36,706	11,709
14	42,756	14,323
16	48,759	17,392
18	54,689	21,158
20	60,501	26,033
22	66,108	32,784
24	71,323	42,922
26	75,710	59,364
28	78,295	85,561
30	77,867	116,672
32	74,576	140,182
34	70,003	154,581
36	64,657	163,614
38	58,983	169,761
40	53,134	174,290
42	47,181	177,839
44	41,164	180,771
46	35,105	183,294
48	29,017	185,535
50	22,908	187,576
52	16,786	189,486
54	10,656	191,313
56	4,519	193,079
58	-1,619	194,171

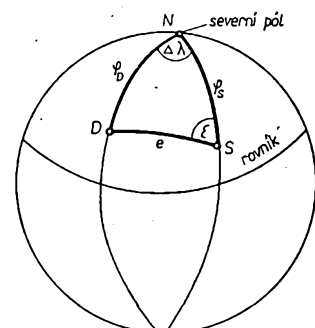
vodorovnou rovinu. K výpočtu azimutu využijeme opět sférické trigonometrie.

Na obr. 5 značí  $S$  umístění pozemní stanice,  $D$  místo, nad kterým se v daný moment nachází družice,  $e$  je pozemní vzdálenost mezi těmito mísity ve stupních a  $\epsilon$  úhel, kterým musíme směrovat anténu.  $\varphi_D$  je zeměpisná šířka průmětu družice a  $\varphi_S$  je zeměpisná šířka polohy pozemní stanice.  $\Delta \lambda$  je rozdíl zeměpisných délek umístění pozemní stanice a průmětu družice.

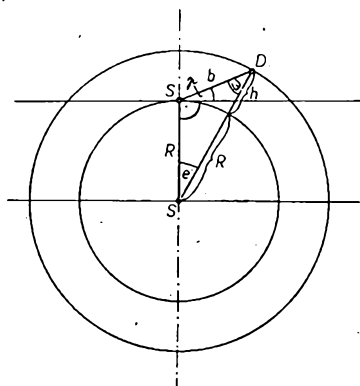
Pro nejkratší vzdálenost dvou bodů na povrchu koule, a tudíž pro nejkratší vzdálenost pozemní stanice a místa pod družicí platí

$$\cos e = \sin \varphi_S \sin \varphi_D + \\ + \cos \varphi_S \cos \varphi_D \cos \Delta \lambda,$$

přičemž  $e$  vyjde opět ve stupních.



Obr. 5. K výpočtu azimutu



Obr. 6. K výpočtu elevačního úhlu

Pro směrovací úhel  $\epsilon$  z bodu  $S$  do bodu  $D$  platí

$$\sin \epsilon = - \frac{\sin \Delta \lambda \cos \varphi_D}{\sin e}$$

Nyní se podíváme na obr. 6. Bod  $S$  značí umístění pozemní stanice, bod  $D$  značí okamžitou polohu družice. Z obrázku vidíme, že anténu musíme natočit směrem nahoru, a to o úhel  $\gamma$  proti vodorovné rovině (tečna v bodě  $S$ ). Říkáme mu elevační úhel. Úhlovou vzdálenost mezi body  $S$  a  $D$  již známe – vypočítali jsme ji při určování azimutu, je to  $e$ . Známe tedy dvě strany a jeden úhel obecného trojúhelníka, což nám skýtá možnost vypočítat kterýkoliv další úhel. Z kosinové věty

$$b = \sqrt{a^2 + c^2 - 2ac \cos e}$$

vypočítáme po dosazení vzdálenost bodů  $S$  a  $D$ :

$$b = \sqrt{R^2 + (R+h)^2 - 2R(R+h) \cos e},$$

$$b = \sqrt{102\,003\,445 - 99\,892\,236 \cos e} = \\ = 10\,000 \sqrt{1 - 0,9793 \cos e}$$

Dále potom ze sinové věty vypočítáme úhel  $\omega$  při vrcholu  $D$

$$\sin \omega = \frac{R}{b} \sin e,$$

a protože součet vnitřních úhlů trojúhelníka je  $180^\circ$ , vypočítáme hledaný úhel  $\gamma$  ze vztahu

$$\gamma = 180^\circ - 90^\circ - \omega - e.$$

#### Grafické znázornění vypočítaných úhlů

Z celého výpočtu vyplývá, že počítat potřebné úhyly je poměrně pracné, obzvláště při klasickém způsobu vyhledávání goniometrických funkcí v tabulkách. Výpočet na logaritmickém pravítku je velmi nepřesný a u úhlů blížících se  $0^\circ$  nebo  $90^\circ$  prakticky nepoužitelný. Poměrně rychle lze potřebné úhyly vypočítat na kapesních kalkulačkách s goniometrickými funkcemi.

Proto byly azimutální i elevační úhly pro různou zeměpisnou polohu družice (vlastně jejího průmětu) vypočítány a vyneseny do grafu. Jejich spojením vznikly křivky na obr. 7. Střed grafu – místo pozemní stanice – byl zvolen na  $50^\circ$  severní zeměpisné šířky a na  $15^\circ$  východní zeměpisná délka. Přibližně vyhoví pro celé území ČSSR; pro zvětšení přesnosti je možné posunout měřítko zeměpisné délky doleva nebo doprava tak, aby střed byl na zeměpisné délce vašeho QTH. V rozmezí  $\pm 1^\circ$  lze posunout i měřítko zeměpisné šířky.

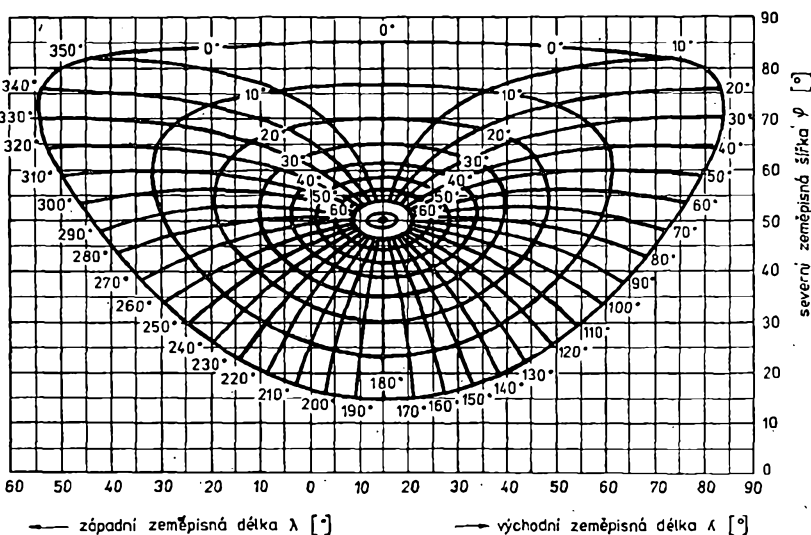
Pokud jde o azimut, lze tento graf využít pro zaměření libovolného místa na Zemi, nejen tedy družice AO-7.

Graf lze využívat pro zaměření družice ve spojení s tab. 1 – návod není jistě zapotřebí. Rychleji je společné použití grafů na obr. 4 a 7. Graf z obr. 4 překreslime na průsvitný papír (film) – musíme dodržet stejně měřítko, jaké má obr. 7. Potom jej přiložíme na obr. 7 tak, aby počátek dráhy (v čase  $t = 0$ ) byl na takové zeměpisné délce ve obr. 7, na které se v příslušném oběhu kříží dráha družice s rovníkem. Potom můžeme pro libovolný čas  $t$ , vyznačený na křivek dráhy, odečíst nejen zeměpisné souřadnice průmětu družice, ale i potřebný azimut a elevační úhel k jejímu zaměření.

#### Praktický příklad

Na závěr uvedeme praktický příklad uvedených výpočtů. Chceme navázat spojení přes AO-7. Je 16. 6. 20,05 SEČ, tj. 19,05 GMT. Poslední nám známý (referenční) oběh začal 14. 6. v 00,20,7 GMT, kdy dráha družice protínala rovník na  $55^\circ$  západní zeměpisné délky.

Musíme nejdříve zjistit, kdy nastane nejbližší přelet družice. Od referenčního oběhu uplynulo celkem 67 hodin a 25,7 minut. Uskutečnilo se tedy od té doby  $67,60 + 25,7 = 35,191$  obětů, což znamená, že poslední obět začal před  $0,191 \cdot 14,9448 = 22$  minutami. Jelikož separace dráh činí  $28,7362^\circ$ , posunulo se místo křížení dráhy družice s rovníkem o  $35 \cdot 28,7362 = 1005,77^\circ$ , tj. odečteme-li celé násobky  $360^\circ$  o  $285,77^\circ$  západněji. Protože při referenčním přeletu protínala dráha družice rovník na  $55^\circ$  západní zeměpisné délky, protínala jej při začátku stávajícího oběhu na  $285,77^\circ + 55^\circ = 340,77^\circ$  západní délky, tj. na  $19,23^\circ$  východní zeměpisné délky.



Obr. 7. Graf k určení azimutu a elevačního úhlu. Na uzavřených křivkách odečítáme elevační úhel, na do středu směřujících křivkách azimut

Máme teď oba potřebné údaje – místo protnutí dráhy družice s rovníkem,  $\lambda_0 = -19,23^\circ$ , a dobu od tohoto protnutí,  $t = 22$  min. Můžeme se dát do počítání.

Severně zeměpisná šířka průmětu družice je

$$\varphi = \arcsin (0,98 \sin 3,132,22) = \\ = \arcsin 0,91432 = 66,1^\circ.$$

Západní zeměpisná délka

$$\lambda = \arccos \cos 3,132,22 + \\ + 0,2522 - 19,23 = \\ = 27,3 - 13,73 = 13,57^\circ.$$

Výsledky jsou v dobré shodě s tab. 1.

Počítáme dále (pro umístění stanice na  $50^\circ$  severní šířky a  $15^\circ$  východní délky):

$$\cos e = \sin 50^\circ \sin 66,1^\circ + \\ + \cos 50^\circ \cos 66,1^\circ \cos 28,57^\circ = \\ = 0,929,$$

$$e = 21,7^\circ,$$

$$\sin e = \frac{\sin 28,57^\circ \cos 66,1^\circ}{\sin 21,7^\circ} = 0,524, \\ e = 31,6^\circ.$$

Tim jsme vypočítali azimut k zaměření antény. Zbývá určit elevační úhel.

$$b = 10\,100 \sqrt{1 - 0,9793 \cos 21,7^\circ} = \\ = 3\,031,7 \text{ km},$$

$$\sin \omega = \sin 21,7^\circ \frac{6\,378}{3\,031,7} = 0,778,$$

$$\omega = 51^\circ,$$

$$\gamma = 180^\circ - 90^\circ - 51^\circ - 21,7^\circ = 17,3^\circ.$$

Nyní zkonzolujeme výpočet pomocí grafů na obr. 4 a 7. Graf z obr. 4 na průhledném papíru přiložíme na obr. 7 tak, aby jeho pravý dolní roh (pro  $t = 0$ ) byl na  $19,24^\circ$  východní zeměpisná délka na přímce odpovídající rovníku v obr. 7. Pro polohu družice ve 22. minutě odečteme z obr. 7 azimut asi  $31^\circ$  a elevační úhel asi  $18^\circ$ . Vzhledem k průměrné přesnosti grafu je to velmi dobrá shoda s vypočítanými hodnotami. Z grafu dále vidíme, že za 5 minut (ve 27. minutě) se družice dostane pod obzor (elevační úhel je menší než  $0^\circ$ ) a přestane pro nás být použitelná.

#### Závěr

Článek si dal za úkol ukázat, že výpočet polohy družice a potřebných směrovacích úhlů nežádá „vysoká škola“

la“, že to je obyčejná geometrie, probíraná ve střední škole. Uvádí přesný výpočet polohy družice a směrovacích úhlů antény a grafické zpracování této výpočtu do rychle použitelné a poměrně přesné pomůcky k operativnímu určování parametrů při navazování spojení přes družici AO-7. Protože družice AO-6 má velmi podobné parametry dráhy, lze použít vše i pro ni. Grafické zpracování je odlišné od dosud publikovaných pomůcek, konstruovaných většinou v polárních souřadnicích.

—ra—

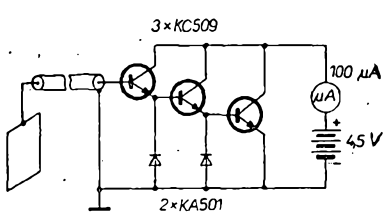
\* \* \*

#### Zajímavé zapojení zesilovače

Na obr. 1 je schéma jednoduchého stejnosměrného tranzistorového zesilovače, jehož proudové zesílení dosahuje rádově  $10^5$  až  $10^6 \beta$ . Zvláštností tohoto zapojení je extrémně velký vstupní odpor zesilovače, který je rádově  $10^2 \text{ M}\Omega$ .

Zajímavé zapojení může nalézt aplikaci všude tam, kde se pracuje s extrémně nízkými elektrickými potenciály. Zesilovač jsem prakticky vyzkoušel a byl jsem překvapen jeho citlivosti. Po připojení jeho vstupu na elektrodu velikosti  $20 \times 30 \text{ cm}$  jsem vybudoval proud  $100 \mu\text{A}$  elektrostatickým polem, které vzniklo pohybem ruky po elektrostaticky aktivním materiálu, vzdáleném asi 3 m od snímací elektrody. Způsob použití ponechávám na tvůrčí iniciativě každého čtenáře.

O. B.



Obr. 1. Zajímavé zapojení zesilovače

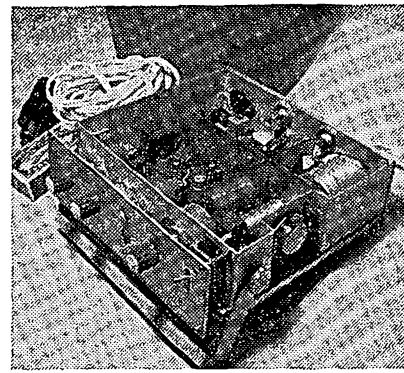
# Tranzistorový transceiver TRAMP 160

Již před uveřejněním článku „Tranzistorový transceiver CW“ v AR 6, 7/75 mi došla řada dotazů na variantu tohoto zařízení pro pásmo 160 m. Příkon koncového stupně 10 W a celkově nenáročná konstrukce předurčují využití transceiveru hlavně pro třídu mládeže. Tímto dodatekem k výše zmíněnému článku splácíme tedy dluh všem dotazovatelům.

Transceiver TRAMP 160 TOP se zapojením a konstrukcí v podstatě neliší od popsaného zařízení TRAMP 80. Používá stejnou spojovou desku J34 a i mechanická konstrukce je stejná. Při jeho výrobě jsem již plně vycházel z článku v AR 6, 7/75, takže byla ověřena reproducovatelnost po stránce elektrické i mechanické. Oba transceivery vypadají na první pohled úplně shodně. Změny jsou pouze v některých součástkách, které nyní probereme postupně od oscilátoru.

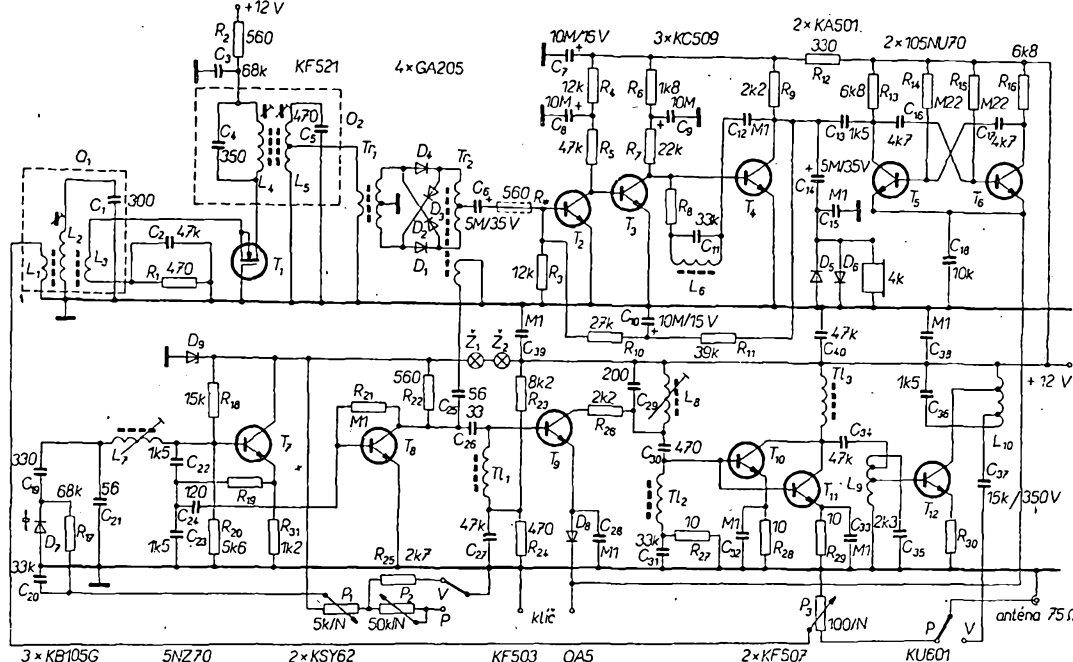
Vyřazené při opravách, nebo vymontované z „bazarových“ desek. Aby nebylo mýlky, jde o cívky z mf dílu pro 465 kHz, na jejich stínících krytech bývá označení QK86891-4. Označení QA26145 platí pro samo bakelitové tělesko.

Nejprve vyrovnáme stínici plech, zahnutý kolem těleska ze strany pájecích nožiček, aby šla cívka z krytu vysunout. Nyní kryt mírně nahřejeme, aby se uvolnila zalévací hmota, a nenáhlilně vytáhneme celou cívku z krytu tahem za pájecí vývody. V pořadí odspodu se



licnu pokud možno neporušenou uschováme.

Novou cívku pro oscilátor ( $L_7$ ) pro 160 m navineme získanou licnu – bude to 105 závitů. Vývody jemně očinujeme (pochopitelně na acylpyrinu) a celou cívku znova složíme obráceným způsobem do krytu (hrniček slepíme Super cementem). Neopomeňte nasadit na hrniček zelené pouzdroko od kondenzátoru (cívka pevněji sedí v krytu), izolovat znova vývody proužkem papíru a celou cívku znova zalít původní



Obr. 1. Schéma zapojení transceiveru Tramp 160

## Oscilátor

Vzhledem k většímu přeladění (činitel přeladění  $\rho = 1,25$ ) je nutné použít větší ladící napětí. Zenerova dioda  $D_9$  je proto 5NZ70 se změřeným napětím 10,5 V. Srážecí žárovka je 1,5 V ze svítílničky přívěsku na klíče, otázkou je, kde samu žárovku schnat. Dělič  $C_{22}$ ,  $C_{23}$  jsou typy TC212 1,5 nF. Ladící dioda  $D_7$  je složena ze 3 ks KB105G paralelně. Toto uspořádání vyuje sice dráž, zato ale není nutný výběr diod a hodnoty součástek vycházejí pěkně „kulaté“. Odpadá i výpočet, diody mají minimální tolerance. Kondenzátor  $C_{19}$  je TC211 330 pF,  $C_{21}$  TC210 56 pF,  $C_{24}$  TC210 120 pF.

Nyní k oscilátorové cívce a jak s cívkami z VZN zacházet. Je pravděpodobné, že se vám spíše podaří sehnat tyto cívky již navinuté, pro nějakou závadu

nám objeví hnědé bakelitové tělesko s vývody a otvorem pro šroubové jádro, na něm pak hrničkové jádro o Ø 8 mm, zakryté i s vývody proužkem kabelového papíru (izolace vývodů od krytu); na hrničku je pak nasazeno zelené tělesko z polyamidu, ve kterém se skrývá kondenzátor 470 pF. Odstraníme vše až na samotný hrniček, vývody z cívky odpájíme z pájecích nožiček a vše očistíme jak od přebytečného cínu, tak i od zalévací hmoty. Kondenzátor budeme využívat, nebo uschováme, záleží na našem smyslu pro hospodárnost. Nyní je nutno hrniček rozebrat, postavíme ho proto asi na čtvrt až půl hodiny do nitroředitla vývody nahoru, aby hladina nitroředitla přesahovala mírně polovinu hrnečku, kde jsou obě části splejeny dohromady. Po dokonalem změknutí lepidla již jde hrneček rozpůlit – nikdy to nezkoušejte násilně, aby se nepolámal. Nyní vyměníme z hrničku zelenou dvoukomárkou kostříku s původním vinutím. Původní vinutí opatrně odvineme a onu pěknou zelenou

hmotou (nebo vcelém voskem).

Znovu podotýkám, že cívky tohoto typu, pečlivě provedené, jsou naprostě vyhovující i z hlediska stability; v oblasti KV pak dosahují  $Q$  minimálně 100 až 120. Z hlediska mechanické stability se jeví ve srovnání s klasickými válcovými cívkami na keramických formech stabilnější. Cívku větších rozměrů nám totiž nepříznivě co do stability ovlivní právě její větší hmotnost, nebo i poměrně vzdálená stínici přepážka ze slabého plechu. Svědky vynikající mechanické stability zde uváděných oscilátorů jsou členové kolektivu OK1KV, kteří s jistou nedůvěrou sledovali dosti nešetrné zkoušky se zařízením (bouchání celým transceiverem do stolu), anž by oscilátor projednal nějakou změnu na kontrolním přijímači, sluchem na zázněji zjistitelnou. Svoji zásluhu zde má ovšem i použité varikapové ladění, rozehodně mechanicky stabilnější než chvějící se plechy sebedokonalejšího ladícího kondenzátoru.

Oscilátor a oddělovač TRAMPA 160

sou osazeny tranzistory KC508, stejně tak nf část. Pro nastavení správného pracovního bodu platí postup uvedený pro TRAMP 80.

#### Klíčovací stupeň

Cívka  $L_8$  má 65 závitů, navinutých stejným způsobem jako u oscilátorové cívky. Kapacitu  $C_{29}$  najdeme zkusmo pomocí otočného kondenzátoru s cejchovanou stupnicí (nebo změřením nastavené kapacity). To konečně platí i pro celý následující popis. V mém případě vyšel  $C_{29}$  200 pF. Tlumivka  $Tl_1$  a  $Tl_2$  je stejná jako u Trampa 80, použijeme pouze feritové jádro o  $\varnothing$  4 mm (může být i šroubové). V zapojení pro 160 m bylo možno při nastavování buzení pro další stupně zvětšit odpor  $R_{28}$  až na 2,2 k $\Omega$ , vzhledem k lepším kvalitám použitých polovodičů (TRAMP 80 používal téměř výhradně „pytlíčkové“ typy). Stejně tak se proti očekávanému  $C_{28}$  zmenší na 33 pF. Má to své výhody, neboť při dostatečném buzení klíčujeme daleko menší emitorový proud.

#### Budící stupeň

U tlumivky  $Tl_3$  změníme průměr jádra na 4 mm; navinutou tlumivku izolujeme vzhledem k stěsnané montáži navlečením kousku silnější bužírky z PVC. Cívka  $L_9$  je navinuta na novodurovou trubce o  $\varnothing$  15 mm; má 28 závitů cínovaného drátu o  $\varnothing$  0,8 mm, zavaceného izolace PVC, se stoupáním 1 mm. V posledním článku jsem neprozřetelně poradil těm, kteří nemohou použít soustruh, vinout cívku s distančním drátem. Sám jsem to nyní zkoušel a zjistil, že je velmi obtížné po odvinutí drátu zachovat stejně stoupání, aby nedocházelo ke zkratům mezi závity. Daleko pohodlnější je použít místo drátu nit příslušného průměru a v hotové cívce ji ponechat, a to i v případě, je-li trubka opatřena drážkou; usnadní to pájení odboček. V mém případě vyšla odbočka pro kolektor  $T_{10}$  na 10 z, pro bázi  $T_{12}$  na 13. z ovšem lze předpokládat, že při použití polovodičů s jinými parametry dojde ke změnám. Kondenzátor  $C_{35}$  vyšel 2 300 pF a byl složen ze slídových typů TC211, ovšem i ten je vhodné vyhledat nahradou otočným kondenzátem.

#### Koncový stupeň

Cívka  $L_{10}$  je na novodurovou trubce o  $\varnothing$  31 mm stejným drátem a stoupáním jako  $L_9$ , má 32 z, odbočka pro kolektor  $T_{12}$  je na 9. z, pro anténu na 28. z, kondenzátor  $C_{36}$  vyšel v mém případě přesně 1 500 pF, typ TC212. I zde lze doporučit laborování s odbočkami a kapacitou. Omlouvám se čtenářům za mnou způsobenou chybou v minulém článku v odporu  $R_{30}$ ; místo 1 až 2  $\Omega$  měl být 0,1 až 0,2  $\Omega$ . Zásady pro nastavení zůstávají stejné. Odbočky se počítají od studeného konce.

#### Demodulátor a nf část

Jsou zcela shodné jako u Trampa 80, pro nejlepší citlivost možná bude nutné změnit kondenzátor  $C_{25}$ .

#### Vstupní část

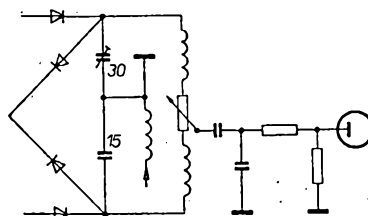
Pásmový filtr je navinut na stejném tělisku Q.A226146, obě cívky po 60 z křížově drátem 0,1 CuLH, vzdálenost středu vinutí 10 mm, jádra z práškového železa (z cívek televizorů) zkrácená lumenkovou pilkou na délku 5 mm. Odbočka  $L_5$  na 10. z. Doporučují opět příslušné kapacity vyhledat zkusmo na

nejlepší citlivost; v mém případě vyšel  $C_4$  350 a  $C_5$  470 pF.

U vstupní cívky jsem se rozhodoval mezi toroidním a hrničkovým provedením. Zvíťazilo hrničkové, a to vzhledem nejen k větší mechanické jednoduchosti, ale i díky úvaze, že činitel  $Q$  použitých hrničkových cívek není již o mnoho menší než u toroidů; krom toho je zde možnost doladění jádrem. Vstupní obvod je navinut na stejném hrničku jako oscilátor, a sice vinutí  $L_{11}$  10 z,  $L_2$  60 z,  $L_3$  10 z původní licou. Kondenzátor  $C_1$  je opět vhodné najít zkusmo na nejlepší citlivost, u mne vyšel 300 pF.

Ještě několik slov o vstupním tranzistoru FET. Byl zkoušen typ SM104 z NDR, naše KF521 a Siemens BF245 – bez podstatné změny v citlivosti. Neměl jsem možnost vyzkoušet FET s nějakou obzvlášť velkou strmostí, lze ale předpokládat, že nejlepším zesilovačem bude správně přizpůsobená a vyladěná anténa.

Přesto však při závěrečném měření citlivosti byla odhalena rezerva pro nastavení maxima. Předpokladem je správné vybalancování kruhového demodulátoru podobně, jako u SSB budičů, aby signál oscilátoru nepronikal nejen směrem k anténě, ale zvláště do nf zesilovače, kde může vzhledem k jeho širokopásmovosti nevhodně ovlivnit šumové poměry a nastavení pracovního bodu. Směšovač je vhodné vybalancovat jak odporově, tak kapacitně, nastavenou kapacitu pak nahradíme pevným kondenzátorem vzhledem k nedostatku místa. Demodulátor je vhodné osadit čtvrtiční diod 4-GAZ51, změna v zapojení obvodu  $T_{12}$  je na obr. 2.



Obr. 2. Změna v zapojení obvodu  $T_{12}$

Pokud je tedy splněn předpoklad vybalancování demodulátoru, nahradíme odpor  $R_{11}$  trimrem 0,22 M $\Omega$  a nastavíme pracovní bod nf zesilovače na největší citlivost, ale tak, aby zesilovač zůstal stabilní, bez sklonu k vlastním oscilačím; trimr opět nahradíme pevným odporem. Úprava samozřejmě platí i pro TRAMP 80.

Jako odpověď na dotaz, je-li koncový stupeň TRAMP 80 pro třídu C možno osadit výkonnéjším typem, např. KU607 apod., uvádíme, že to možné je, za předpokladu správného nastavení odboček, jak bylo uvedeno výše; rezerva buzení z tranzistorů  $T_{10}$  a  $T_{11}$  je více než dostačující. Pro 160 m tyto úpravy však nedoporučují vzhledem k rozporu sestávajícimi povolovacími podmínkami.

Stejně tak je možné místo válcových cívek v koncovém stupni použít modernější širokopásmové transformátory na toroidních jádřech; zmenší se tak rozptylové pole cívek a tím i možnost parazitních vazeb. Problém však vystane vzhledem k rozporu mezi výkonovým přizpůsobením a selektivitou vůči výšším harmonickým; to se však již vymyká z rámce tohoto článku.

Ještě malé vysvětlení k propojení anténního konektoru atd. Tyto spoje,

po kterých jde vf signál, nejsou vytvořeny ve spojové desce, ale provedeny obyčejným sedivým nízkým kablíkem  $\varnothing$  3 mm. Jde o spoj anténního konektoru s přepínačem, přepínače s kondenzátorem  $C_{37}$ ; dále přepínače s potenciometrem  $P_3$  a běžce potenciometru s cívkou  $L_1$ .

Závěrem přeji všem, zvláště OL, hodně zdaru v práci i v provozu na tomto jednoduchém zařízení. A ještě jednou: nezapomeňte na dobrou anténu!

#### Ověřeno v redakci AR

Tranzistorový transceiver TRAMP 160 jsme ověřili jenom po elektrické stránce – vestavěli jsme jej do větší skřínky spolu se síťovým zdrojem a místo tříčího převodu jsme k ladění použili desetiottáckový potenciometr se stupnicí. Zapojení součástek na desce s plošnými spoji jsme neměnili, drobné změny jsme udělali v pomocných a napájecích obvodech vně desky.

Vyzkoušeli jsme přesně podle návodu rozberat, navinout a znova složit miniaturní cívky s hrničkovými jádry a podařilo se nám to naprostě bez potíží.

Při uvádění do chodu nevznikaly žádné velké problémy. Nízkofrekvenční zesilovač je dobré i v původní verzi nastavit odporovým trimrem na místo odporu  $R_{11}$ . Je nutné jej definitivně nastavovat až s připojeným kruhovým modulátorem, protože samotný zesilovač s nepřipojeným vstupem se chová zcela odlišně. Při napájení z laboratorního zdroje (při uvádění do chodu) je vhodné zablokovat napájecí přívody na desce s plošnými spoji elektrolytickým kondenzátorem okolo 100  $\mu$ F.

Ani v původním článku, ani v tomto popisu nejsou uvedeny počty závitů transformátorů na toroidních feritových jádřech  $T_{11}$  a  $T_{12}$ . Jak jsme zjistili ze vzorku a jak dodatečně autor sdělil (s omluvou), mají oba transformátory  $3 \times$  po 15 závitů, vinutých současně. Přesný počet závitů ale není kritický.

Ověřili jsme i autorovo tvrzení, že ve vf zdrojovací bez velkých rozdílů fungovaly různé typy tranzistorů FET (vyzkoušen KF521, 2N3819 a BF245). Tranzistory FET nejsou tak choulostivé na slušné zacházení jako MOSFET KF521; nejen autorovi ale i nám se podařilo jeden kus „odpravit“ dříve, než jsme stačili zjistit, zda vf zesilovač funguje. Platí zde všeobecné zásady pro práci s těmito součástkami.

V původně prodávaných deskách s plošnými spoji J34 byla jedna chyba v obvodu multivibrátoru pro příposlech kličkování. Stalo dost času, než se zjistilo, proč základní zapojení multivibrátoru s dobrými součástkami ne a ne fungoval. Upozornili jsme na tuto závadu výrobce a předpokládáme, že se desky J34 nyní již vyrábějí bez této chyby.

Autor správně předpokládal, že zařízení svojí jednoduchostí zláká ke stavbě hlavně mladé radioamatéry. Mnoho jich již začalo shánět součástky, když se dovíděli, že bude popsána verze Trampa pro 160 m. Snad se tedy díky tomuto zařízení provoz na 160 m trochu oživi.

# Automatický klíčovač vysílače lišky

L. Winter

Dosavadní automatické klíčovače (v Minofoxu ap.) dávají pouze tečky a čárky, což je použitelné jen pro tréninky a soutěže nižších typů, zatímco ve vyšších soutěžích je nutná přítomnost obsluhy přímo u vysílatele. Popisovaný klíčovač tuto obsluhu nevyžaduje a automaticky vysílá znaky MO a jednu až pět teček podle čísla lišky.

Klíč jsem nejprve vyzkoušel s diskrétními součástkami, potom s integrovanými obvody. Popsaná je druhá verze.

Přístroj je napájen jednou plochou baterii. Výrobce však pro TTL obvody zaručuje činnost pro napájení  $5 \pm 0,25$  V. Zkoušel jsem tedy činnost klíče při menším napětí a pracoval spolehlivě ještě při napětí 3,3 V. Vzhledem k tomu považuji napájení z ploché baterie za vyhovující. Pokud by některé obvody nepracovaly spolehlivě při tomto napájení, lze použít baterie dvě a stabilizovat napětí Zenerovou diodou (INZ70).

Základem klíče je generátor dvojkódu, řízený multivibrátorem

(změnou jeho kmitočtu se řídí rychlosť klíčování). Na nejdélší značku - MO5 je třeba 39 bitů. Je tedy nutné generovat šestimístný kód (6 klopových obvodů -  $2^6 = 64 > 39 > 32 = 2^5$ ). Kombinační obvody pak vybírají vhodná čísla. Po zvážení různých možností výchozího stavu a směru čítání jsem vybral čítání vpřed ze stavu 000000 a generaci mezer (úroveň log. 1 na výstupu). Výstup je tedy negovaný (v případě potřeby jej lze snadno invertovat na přímý). Minimalizovaný tvar Booleovské funkce vyjadřující potřebný sled generovaných mezer je

$$Y = \bar{x}_6x_5\bar{x}_4x_3 + \bar{x}_5x_4\bar{x}_3x_2 + x_5x_4\bar{x}_3x_2 + \\ + \bar{x}_5x_2x_1 + x_4x_3x_1 + x_5x_2x_1 + \\ + x_6x_1.$$

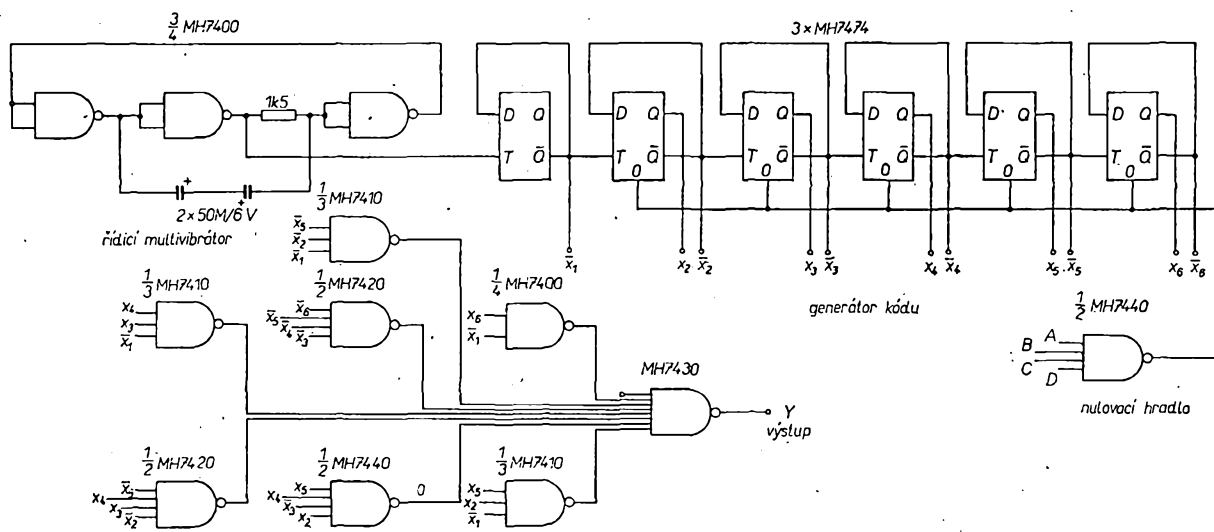
Protože obecně platí  $a + b = \overline{a} \cdot \overline{b}$ , lze celou funkci snadno realizovat hradly NAND:

$$Y = \overline{x_6x_5x_4x_3} \cdot \overline{x_5x_4x_3x_2} \cdot \overline{x_5x_4x_3x_2} \cdot \overline{x_5x_2x_1} \cdot \overline{x_6x_1}.$$

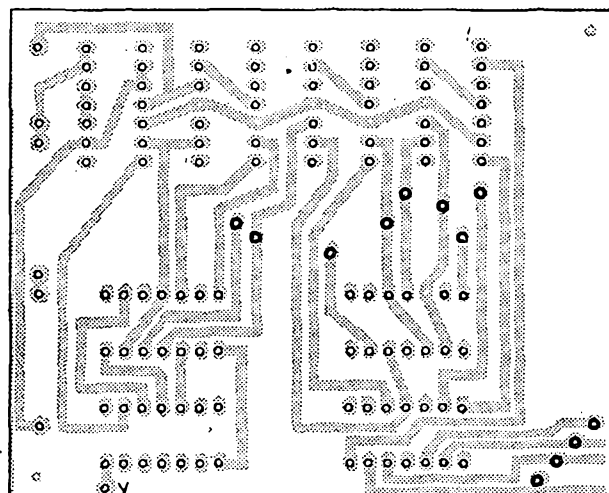
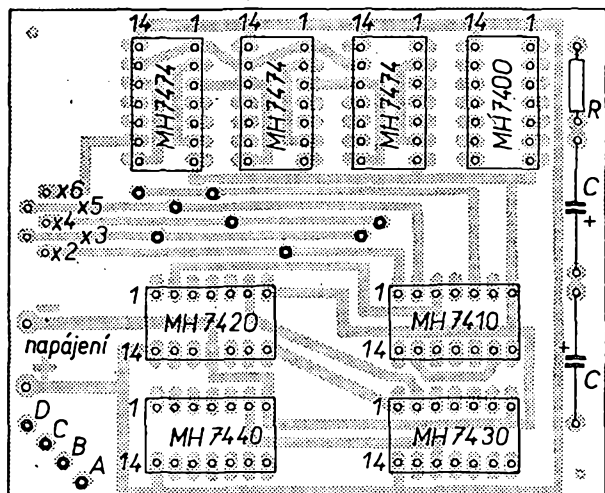
$$\overline{x_5x_2x_1} \cdot \overline{x_4x_3x_1} \cdot \overline{x_5x_2x_1} \cdot \overline{x_6x_1}.$$

Potřebný počet hradel: 1x dvouvstupové, 3x třívstupové, 3x čtyřvstupové a 1x osmivstupové.

K odlišení značky MO, MOE, MOI, MOS, MOH a MO5 využívám nulovacích vstupů klopových obvodů. Po došazení potřebné kombinace ve dvojkódu se klíč vráti do výchozího stavu a generuje od počátku znovu mezeru a značku MO... Nulování zajišťuje jedno čtyřvstupové hradlo NAND. Vzhledem k jeho zatížení (nulovací vstupy představují 2 vstupy hradla, logický zisk - počet připojených vstupů na výstup hradla - je u obyčejných hradel 10) je vhodné použít výkonové hradlo MH7440. První klopový obvod není nutno nulovat, v okamžiku nulo-



Obr. 1. Schéma zapojení automatického klíče vysílače pro hon na lišku



Obr. 2. Rozmístění součástek na desce s plošnými spoji J64

vání je na úrovni log. 0. Tím sice vyčází zatížení nulovacího hradla 10, ovšem vzhledem k menšímu napájecímu napětí by mohlo při tomto plném zatížení dojít k poklesu úrovně log. 1 pod dovolenou mez a tím k poruše činnosti klíče. Proto doporučují hradlo výkonové.

Připojení vstupů nulovacího hradla na výstupy klopňových obvodů (pořadí vstupů je libovolné) – přepíná se přepínačem podle volby MOE až MO5.

MO -  $x_5x_4x_2$  MOS -  $x_6x_2$   
MOE -  $x_5x_4x_3x_2$  MOH -  $x_6x_3$   
MOI -  $x_6$  MO5 -  $x_6x_3x_2$ .

Celá sestava klíče obsahuje 8 integro-

vaných obvodů: 3 × MH7474, 1 × MH7400, 1 × MH7410, 1 × MH7420, 1 × MH7430 a 1 × MH7440. Na výstup klice lze připojit polarizované relé přímo mezi výstup Ž a kladný pól napájecího napětí, nebo spínací tranzistor. Výstupem hradla smí téci proud maximálně 18 mA.

Nezapojené vstupy je možné nechat volné (úroveň log. 1), nebo je připojit na úrovňi log. 1 či na napájecí napětí (vždy  $\leq 5,5$  V, jak doporučuje výrobce s ohledem na rušivé signály).

Vzhledem k tomu, že klíč bude pracovat v silném vf poli a v obvodech by se indukovaly rušivé impulsy, je vhodné celý klíč pečlivě odstínit a výstup blokovat proti pronikání vf napětí.

bude vyhodnocen v kategoriích a) jednotlivci, b) kolektivní stanice, c) posluchači. Závodi se pouze provozem SSB a vyměňuje se kód složený z RS a čtverce QTH. Bodování podle všeobecných podmínek, násobičem je každá značka v každé etapě zvlášť. Konečný výsledek získáme vynášením součtu bodů z obou etap součtem násobičů z obou etap.

QX

## Závod míru

Závod se pořádá každoročně předposlední neděli v květnu, a to ve třech etapách: 00.00 až 01.59 SEC, 02.00 až 03.59 SEC a 04.00 až 05.59 SEC. Závodi se v pásmu 1,8 MHz a v kmitočtovém rozmezí 3 540 až 3 600 kHz. Samostatně budou vyhodnoceny kategorie: a) jednotlivci obě pásmá, b) jednotlivci 1,8 MHz, c) kolektivní stanice, d) posluchači. Závodi se pouze telegraficky a výzva do závodu je CQ M. Předává se kód složený z RST a čtverce QTH. Bodování podle všeobecných podmínek, násobičem jsou čtverce QTH mimo vlastního a v každé etapě a na každém pásmu zvlášť. Konečný výsledek získáme vynášením součtu bodů ze všech etap a ze všech pásem součtem násobičů ze všech etap a ze všech pásem.

QX

## Radiotelefonní závod

Závod se koná vždy třetí neděli v prosinci a to ve dvou etapách od 08.00 do 08.59 a od 09.00 do 09.59 SEC. Závodi se libovolným druhem fone provozu v rozmezí 3650 až 3750 kHz. Závod bude vyhodnocen v kategoriích: a) jednotlivci, b) kolektivní stanice, c) posluchači. Vyměňuje se kód složený z RS a čtverce QTH. Bodování podle všeobecných podmínek, násobičem je každá značka v každé etapě zvlášť. Konečný výsledek získáme vynášením součtu bodů ze všech etap a ze všech pásem součtem násobičů ze všech etap.

QX



Rubriku vede ing. V. Srdík, OK1SV, Havlíčkova 5  
539 01 Hlinsko v Čechách

Z ostrova Canton se ozvala další expedice. Pracoval tam Phill, WA6RLG/KB6 hlavně SSB na 14 MHz a koupodivu se i přes ne příliš dobré podmínky dal dobré udělat. QSL požadoval přes WA6OWM.

Z ostrova Wallis se krátkodobě ozývala stanice FW0LWP počátkem října t. r. a po týdnu odjela. Byl to WBSWRR a QSL požadoval na svůj domovský adresu. Škoda, že to nebylo předem oznámeno.

TU2EF podniká právě cestu po zajímavých Afrických zemích, a bude pracovat postupně z těchto zemí: TJ, TN, TT, TZ, XT, 5V a 6W8.

Expedice 3B9DA na Rodriguezu již skončila. Alex tam pracoval převážně telegraficky na 14 MHz.

Neoficiálně se dovidáme, že od 31. 8. 1975 byl vyhlášen zákaz amatérského vysílání v XW8.

Papua a New Guinea získaly dnem 16. 9. 1975 nezávislost a tvorí nyní společný stát Republika Papua-New Guinea, k němuž patří i ostrov Admirální, Bismarckový, část Salamounových a další. Od uvedeného data to bude zřejmě nová země DXCC a původní bude zrušena. Značka zůstává i nadále P29 a zatím tam pracuje hlavně P29WB, který bývá nabízen v Pacifické DX siti.

Z ostrovů Kerguelen se objevují v současné době hned dvě stanice, FB8XJ teď telegraficky, tak i SSB okolo 14 120 kHz kolem 17.00 GMT. QSL žádá na adresu: P.O. Box 5, Ste Clotilde, Réunion Isl. Platí za FR7/J pro DXCC.

Z ostrova Johnson pracuje nyní dvě stanice: W5TES/KJ6 teď telegraficky kolem kmitočtu 14 034 kHz (QSL na Tom J. Speed, 3129 South St., Santa Anna, Calif. 92707), a KJ6CF SSB kolem kmitočtu 14 305 kHz (QSL na WA6QFO, G. A. Cooper, 15861 Rose Ln., Westminster, Calif. 92683).

Lovcům prefixů: v poslední době se objevují na pásmech tyto nové prefixy: KO2MAP (QSL přes K2JOX), WG4NEP — z Neptunova festivalu ve Virginii, QSL na W4LRN, CH1AHV je v Kanadě, XO3EJO, 5L8F, 5L9C, U4SLET,

LB4B. Z Indonésie z ostrova Java začaly pracovat stanice s prefixem YC2 a najdete je deně na 21 MHz SSB.

Po delší době se objevil na pásmech ostrov Marion, ZS2MI, a to SSB na kmitočtu 14 304 kHz kolem 15.00 GMT.

Stanice ZS1AMB pracuje z Antarktidy, její QTH je Queen Maud Land bývá SSB na kmitočtu 14 300 kHz kolem 17.00 GMT. Pro naš diplom P75P platí za zónu č. 67.

Z Andamanských ostrovů mimo obligátního VU7GV (14 265 kHz SSB) pracuje další stanice pod značkou VU2ANI, rovněž SSB, na kmitočtu 14 215 kHz a požaduje QSL přes K6TWT.

Potvrzuje se, že stanice VP8OB má QTH S. Georgia, a pracuje na kmitočtu 14 328 kHz SSB. Čekací listinu obvykle sestavuje GM3ITN.

KC4AAC, který se objevuje SSB na kmitočtu 21 278 kHz, pracuje z ostrova Anvers a platí za Antarktidu. QSL přes K7ODK.

FR7ZL oznámil, že bude v době od 15. listopadu 1975 do 15. ledna 1976 opět pracovat z ostrova Glorieuse pod značkou FR7ZL/G.

FB8ZG se objevuje z ostrova New Amsterdam deně na kmitočtu 21 235 kHz kolem 11.00 GMT.

Několik nejnovějších OSL informací:

A9XBD na G. R. Smith, P. O. Box 14, Manama, FB8YC přes F9MD, HB0NL přes HB9NL, VP2MB přes WA8TDY, VR1AA přes JA0CUV/ / od 7. 8. 1975, VU7GV přes bureau, 3D2AJ přes W6SC, 3D2RM přes WB5MXO, 9QSSW přes JA8JN, EA9FE na P. O. Box 191, Melilla, F00R/FC přes DJ8RR, F0ATY/FC přes DK7MW, IV3VLS na Box 313, Trento, T75AA na TG bureau, UK1PAA, Franz Josef Land, na UW3HY, ZD9GE přes Box 8672, Johannesburg, Rep. of S. Africa, 3D6BD na P. O. Box 1158, Mbabane, Swazilandnd, 3D6BG na Box 21, Ezulwini tamtéž, 5L2FY přes JA1QQQ, 7P8AQ na W. C. Samson, Box 1266, Maseru, C21NI na Box 29, Nauru, FR7ZQ/E na P. B. Box 5, St. Clotilde, Réunion, KW6HI na Box 25, Wake Isl. 96798, KX8BCF přes W8BQV, PY0AJ na Segundo Ebling, P. O. Box 2, Fernando de Noronha, Brazil, VR4KD na Wes Elton, Box 332, Honiara, Guadalcanal, YV8AL/YV0 (Aves) přes KV4FZ, 5T5BJ na Box 121, Zouerate.

Do dnešní rubriky přispěli zejména: OK1ADM, OE1FF, OK1TA, OK2BO1, OK2-25618, OK2-14760, OK1-18865 a OK1MWN. Děkujeme a těšíme se na další DX-zprávy, které zasllete vzdály od osmého v měsíci na moji adresu:



## OK – SSB – závod

Závod se koná každoročně druhou neděli v dubnu a to ve dvou etapách: první etapa v pásmu 3,7 MHz od 07.00 do 08.00 SEC, druhá etapa v pásmu 7 MHz od 13.00 do 14.00 SEC. Závod



## XXVII. Čs. Polní den 1975

### 144 MHz — 1 Watt:

	QSO	odůd
1. OK2KEZ	IK77g	229
2. OK1KNH	IK65h	222
3. OK3KJF	II57h	190
4. OK1KHK	IK52b	196
5. OK3KII	KJ61g	147
6. OK3KGX	II19a	174
7. OK3ZM	II47i	176
8. OK3KAP	J124f	156
9. OK3KMW	JJ66g	151
10. OK2KAU	JJ33b	155
11. OK1KKH	IK52c	159
12. OK3KVL	II37d	150
13. OK1KKS	HK37d	175
14. OK2KJT	IK66j	171
15. OK1KVR	HK49j	156
16. OK1KCS	GJ79g	134
17. OK1IM	IJ32b	168
18. OK2KBM	JI11f	150
19. OK3KCM	JJ34d	138
20. OK1KKT	HK27b	146

Hodnoceno 91 stanic.

### 144 MHz — 5 Watt:

	QSO	bodů
1. OK1KTL	GI10h	53 717
2. OK3KAG	KJ62g	46 203
3. OK1AGE	GK45d	45 724
4. OK3KTR	JI21g	39 777
5. OK1KWH	HK02c	36 812
6. OK1KIR	GK55h	36 002
7. OK1KKD	GJ15j	35 661
8. OK1KOK	IK74j	35 437
9. OK2BDS	HJ67b	35 346
10. OK2KZT	JJ24e	32 720
11. OK1XN	HK29d	30 146
12. OK1DC	GJ44d	29 244
13. OK1KLV	HK18e	28 962
14. OK1KQN	HJ39g	27 938
15. OK2KLF	IJ49d	27 404
16. OK1KPU	GK29a	27 217
17. OK1KKL	HK37h	26 924
18. OK3KMY	II47g	26 482
19. OK1KVK	GK44d	26 244
20. OK2KLK	IJ22e	25 775

Hodnoceno 156 stanic.

#### 432 MHz — 5 Wattů:

	QSO	bodů
1. OK1KPL	GJ67g	66
2. OK2KEZ	IK77g	66
3. OK1AIB	GK45d	56
4. OK1KNH	IK65h	61
5. OK1AIY	HK18d	49
6. OK1KPR	GJ67g	47
7. OK1OFE	HJ34j	53
8. OK1QI	IK77h	46
9. OK1KSD	HJ04g	51
10. OK1KUO	IK63h	41
11. OK1KUT	HJ04d	46
12. OK1KPU	GK29a	38
13. OK1KKH	IK52c	32
14. OK1KKD	GJ15j	31
15. OK1KCR	HJ19d	29
16. OK1KJB	GK79g	30
17. OK3KFV	JJ75h	24
18. OK3KMB	JJ71c	24
19. OK1AZ	HJ04a	20
20. OK2KVS	JJ52c	26

Hodnoceno 32 stanic.

#### 432 MHz — nad 5 Wattů:

	QSO	bodů
1. OK1KIR	GK55h	68
2. OK1KTL	G110h	57
3. OK1KKL	HK37h	55
4. OK2KJU	IJ49e	46
5. OK1KJA	HK27h	26
6. OK1AIK	HK29d	30
7. OK3HO	J08c	18
8. SP6LB	HK29b	21
9. OK2BDS	HJ67b	17
10. DJ4KW	FI60j	19
11. OK1AAZ	GJ40b	5

#### 1 296 MHz:

	QSO	bodů
1. OK1AIY	HK18d	13
2. OK1KTL	G110h	13
3. OK1AIB	GK45d	10
4. OK1KIR	GK55h	10
5. OK1KKL	HK37h	9
6. OK1KPL	GJ67g	6
7. OK2KJU	IJ49e	2
8. OK1OFG	HJ33e	3

#### 2 304 MHz:

	QSO	bodů
1. OK1KKL	HK37h	4
2. OK1KTL	G110h	4
3. OK1KIR	GK55h	6
4. OK1AIB	GK45d	2

#### Posluchači — 144 MHz:

	22 775 bodů
1. OK1-15835	5 424
2. OK1-11591	4 657
3. OK1-15689	2 364
4. OK2-19389	2 178

Tento největší branný VKV závod byl po několika letech opět jako národní závod s mezinárodní účastí. Byly přizváni radioamatéři ze všech zemí socialistického tábora a mnoha dalších evropských zemí. Termín k odeslání deníku od zahraničních stanic byl konec července, proto i vyhodnocení PD 1975 bylo oproti minulým zpozděno. Toto vyhodnocení bylo provedeno v Šumperku a bylo po všech stránkách dokonale zajištěno, od ubytování až po vynikající péči o občerstvení členů hodnotící komise během její práce. Práce s hodnocením PD bylo letos podstatně více, zejména při hodnocení prvek a druhé kategorie pásmu 144 MHz, kde bylo třeba překontrolovat téměř 300 deníků a proto komise musela pracovat vždy do pozdních nočních hodin. Práce s kontrolou vzdáleností byla tentokrát značně ulehčena, neboť poprvé při hodnocení Polního dne bylo použito samočinného počítadla, což by v příštích letech mělo být již samozřejmostí.

OK1MG

#### Poznámky:

- Na výstupních kanálech převáděčů mohou být zavedeny kmitočty ponechány.
- Je-li požadováno, lze úsek 145,250 až 145,500 MHz přidělit pro provoz FM (kanály).
- Majáky pod 50 W jsou regionálně plánovány.
- Majáky nad 50 W jsou regionálně plánovány.
- Telegrafní provoz je dovolen v celém pásmu, v části 144,000 až 144,150 výhradně.
- Místní sitě by nikdy neměly pracovat v této části pásmá.
- Místní provoz by se měl odbývat nad 145 MHz obzvláště v době závodů a mimořádných podmínek.

#### Pásmo 435 MHz

432,000 — 432,010 spojení odrazem od Měsice (EME)  
 432,050 volání CW  
 432,100 náhodná spojení CW odrazem  
 432,200 náhodná spojení SSB odrazem  
 432,300 volání SSB  
 432,500 volání SSTV  
 432,600 volání RTTY  
 432,700 volání FAX  
 432,900 majáky regionální (střední kmitočet)

433,000 — 433,225 vstup převáděčů, kanály RU0 až RU9  
 433,250 zvuk TV (odstup 6 MHz)  
 433,300 RTTY  
 433,400 — 433,575 simplex FM kanály SU16 až SU23  
 433,750 zvuk TV (odstup 5,5 MHz)  
 434,600 — 434,825 výstup převáděčů  
 439,250 TV vision (Vestigial sideband system)

#### Poznámky:

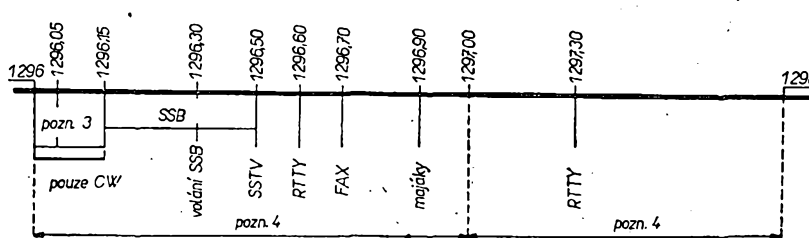
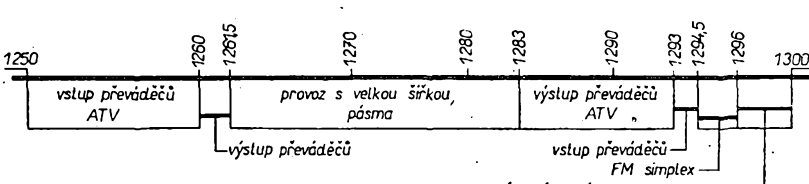
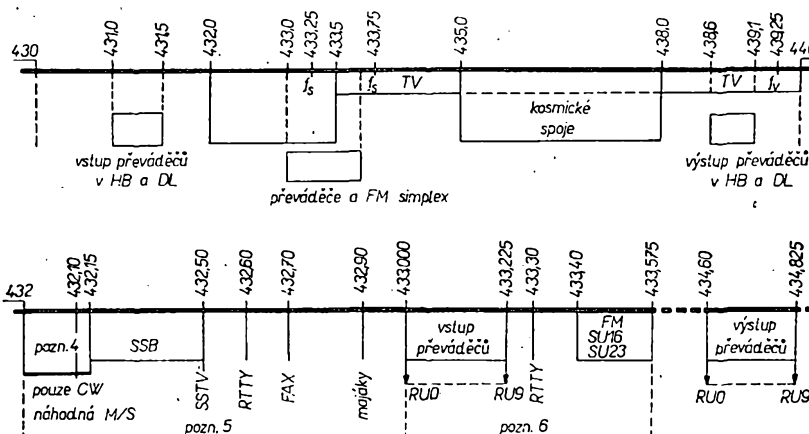
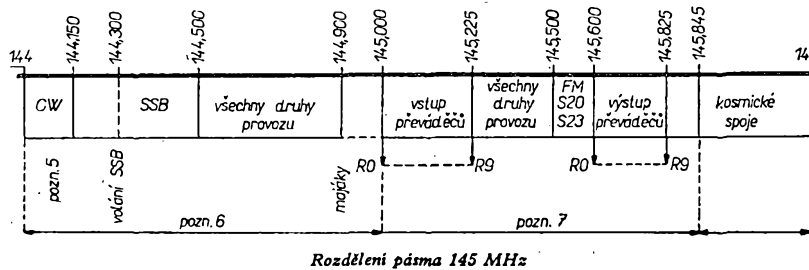
- Švýcarský a německý systém převáděčů má vstupy na 431,0 — 431,5 a výstupy na 438,6 až 439,1 MHz.
- Majáky pod 50 W jsou regionálně plánovány.
- Majáky nad 50 W jsou regionálně plánovány.
- Telegrafní provoz je dovolen v celém pásmu, v části 142,00 — 142,15 MHz výhradně.
- Místní sitě by nikdy neměly pracovat v této části pásmá.
- Místní provoz by se měl odbývat nad 433 MHz obzvláště v době závodů a mimořádných podmínek.

#### Pásmo 1 296 MHz

1 296,000 — 1 296,010 spojení odrazem od Měsice (EME)  
 1 296,050 volání CW  
 1 296,300 volání SSB  
 1 296,500 volání SSTV  
 1 296,600 volání RTTY  
 1 296,700 volání FAX  
 1 296,900 střední kmitočet regionální majáky RTTY

#### Poznámky:

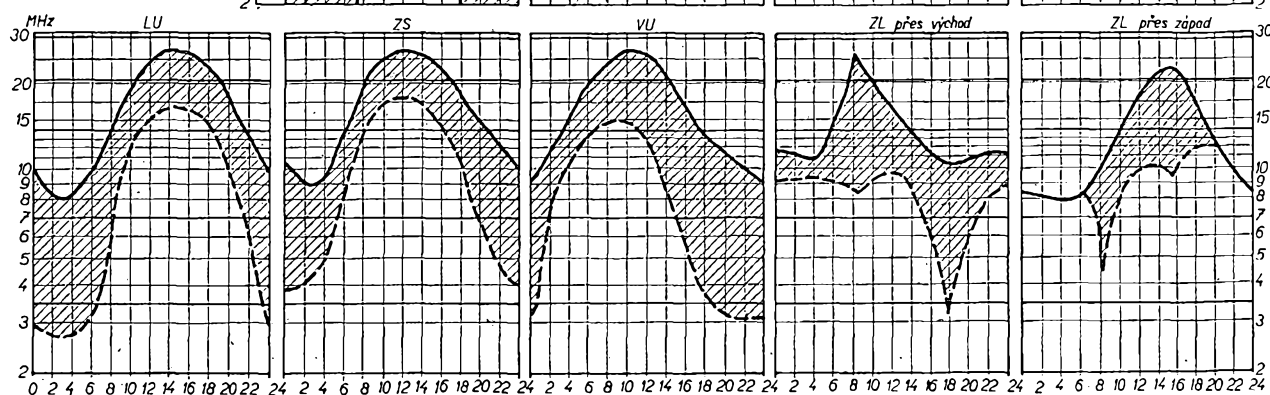
- Majáky pod 50 W jsou regionálně plánovány.
- Majáky nad 50 W jsou regionálně plánovány.
- Telegrafní provoz je dovolen v celém pásmu, v části 1 296,00 až 1 296,15 výhradně.
- Místní provoz by se měl odbývat nad 1 297 MHz obzvláště v době závodů a mimořádných podmínek.
- Ve Francii není přiděleno amatérům pásmo 1 296 až 1 298 MHz. Se stejným rozdělením je používáno pásmo 1 238 až 1 240 MHz.





na leden 1976

Rubriku vede  
dr. J. Mrázek, CSc.,  
OK1GM



### Co nás čeká v roce 1976?

Než se zamyslíme nad podmínkami krátkovlnného šíření v roce 1976, podrobíme rozboru dosavadní sluneční aktivity. Jak známo, kolisá ve známé jedenáctileté periodě, přičemž poslední maximum připadlo na rok 1968; od té doby průměrná sluneční činnost neustále klesá. Zkušenost z dřívějších cyklů (které jsou pod odbornou kontrolou již od roku 1755) ukazuje, že pokles od maxima k minimu je povolnější než následný vzestup od minima k maximu. Zhruba lze uvést, že od maxima k minimu trvá obvykle šest až sedm let, vzestup od minima k maximu čtyři až pět let. Nyní jsme tedy spolehlivě v minimu sluneční aktivity, což přehledně ukazuje také následující tabulka.

Přibližný průběh posledního slunečního cyklu			
Rok	průměrná hodnota relativního čísla	Rok	průměrná hodnota relativního čísla
1965,0	8	1970,5	80
1965,5	10	1971,0	70
1966,0	20	1971,5	61
1966,5	38	1972,0	50
1967,0	62	1972,5	42
1967,5	78	1973,0	35
1968,0	91	1973,5	31
1968,5	90	1974,0	24
1969,0	96	1974,5	20
1969,5	89	1975,0	15
1970,0	87	1975,5	10

V této tabulce uvedené hodnoty relativního čísla jsou „vyhlašené“, tj. jsou zobrazeny přechodných zvýšení či poklesů, které se obvykle nijak výrazně do komplexně pojatých podmínek krátkovlnného šíření nepromítají. Ve skutečnosti sluneční aktivity v posledních letech dost kolisala způsobem, který budil pozornost i u odborníků. Tak např. poslední maximum sluneční aktivity vykazovalo hned tři samostatné relativní vrcholy: první nastalo začátkem roku 1968, druhý k jeho konci a třetí na podzim roku 1969. Když se pak zdálo, že sluneční činnost definitivně klesá, přišlo velké překvapení: v první třetině roku 1970 začala sluneční činnost nečekaně vzrůstat a dosáhla

absolutní maxima o hodnotě téměř 120, takže se všechny předpovědi šíření musely od základu přeředit. Pak sice po celý rok byl zaznamenán prudký pokles průměrných hodnot relativního čísla, načež nastal další nečekaný vzestup na hodnotu přes 20 v polovině roku 1972; do třetiny se tato situace opakovala ještě jednou ve druhé polovině roku 1974, kdy relativní číslo vystoupilo krátkodobě nad 40. Teprve letošní rok přinesl celkové uklidnění situace: sluneční číslo se pohybovalo kolem 10 až 20, takže snad lze konečně zodpovědět prohlášit, že rok 1975 je skutečně rokem slunečního minima. Přesto „sluneční odbornici“ soudí, že ještě v první polovině následujícího roku nebude situace podstatně jiná.

Zmínili jsme se o tom, že sluneční cykly jsou pod pravidelnou kontrolou od roku 1755, takže je pro srovnání k dispozici nejméně 20 po sobě jdoucích cyklů. I to však je stále ještě málo, chcemeli-li řešit tak složité problém jak např. otázku, zda se přes zmíněnou jedenáctiletou periodu nepřekládají ještě další periody dlouhodobější. Existují názory, že základní cyklus není jedenáctiletý, nýbrž dvaadvacetiletý; některí autoři si dali práci s hledáním ještě dalších period, např. periody osmdesáti let. Nalezli bychom také studii, že po další letech s vysokým maximem následuje několikakové období, kdy tato maxima jsou relativně nízká. Podle tohoto názoru to vypadá téměř tak, jakoby se přes jednatříčasové rozvinutá maxima překládala jakási pilová křivka, přičemž prý pravé maximum v roce 1968 bylo posledním maximum s vysokou sluneční aktivitou a nyní až do konce století prý zažijeme jí pouze maxima „nízká“. Všechny tyto a podobné studie se ovšem opírají pouze o nedlouhý časový úsek zmíněných 220 let pravidelného sledování sluneční aktivity a budou nám útěchou, že skutečnost příštích let k nám nebude snad tak krutá. Kdyby totiž příští maximum bylo výrazně menší, sovra by nastaly pří dřívějších maximech obvyklé dálkové podmínky na desetimetrovém pásmu ve stejném rozsahu a také šíření vln nízkých krátkovlnných pásem by bylo nepříznivě ovlivněno. Toto vše jsou však dnes pouze „akademické“ úvahy protože teprve za několik let se dozvímme, jak se bude příští sluneční maximum vyvijet.

Dostali jsme se však k otázce, jak souvisí průměrná sluneční aktivity se situací v ionosféře. Podle měření z období několika posledních slunečních cyklů byly vypracovány diagramy, znázorňující vztah mezi sluneční činností a průměrnou hodnotou elektronové koncentrace vrstvy F2 resp. E. Tyto diagramy především ukazují, že závislost uvedených veličin je nejpřesnější v případě, že máme na mysli statistický průměrné, tj. „vyhlašené“ hodnoty těchto veličin. Krátkodobé zvětšení či změnění tu tedy obvykle nehráje pozorovatelnu roli. V letech se slunečním minimem (což nás teď zajímá nejvíce) bývají průměrné

hodnoty elektronové koncentrace vrstvy F2 zřetelně menší než kdykoli jindy; jsou tedy nízké kritické kmitočty (zejména v případě vrstvy F2) nejvyšší kmitočty, které se při šíření dopadu na ionosféru od ní ještě odrážejí nazpět k zemskému povrchu. Prakticky to znamená, že v období slunečního minima jsou dálkové signály na desetimetrovém pásmu značně vzdálené, i když nikoli zcela vyložené.

Je to tím, že přes dlouhodobě průměrnou (vypočítanou) hodnotu elektronové koncentrace se překládají ještě další vlivy, které jsou sezónního charakteru; tyto vlivy bývají rok od roku dosti podobní a krátkovlnní amatérům je dobré znát ze své každodenní praxe: během zimy bývají DX podmínky, jestliže se vyskytnou, průměrně lepší než během léta a vůbec nejlepšími měsíci v tomto ohledu bývají měsíce únor—března a říjen—listopad. Zejména kolem obou rovnodenností se i v letech kolem slunečního minima mohou tu a tam objevit DX signály z míst, do nichž se šíří vlny nad Sluncem osvětlenou částí Země.

Vezmemel i tyto závislosti na zřetel, můžeme již docela dobré odhadnout, jak se budou dálkové krátkovlnné podmínky během roku vyvíjet. Během zimního období budou v našich krajinách nejlepší DX podmínky odpoledne a časně večer v pásmech 14 a 21 MHz; navečer budou rychle končit, protože se obě pásmá vlivem klesající elektronové koncentrace vrstvy F2 brzy uzavřou. V noci zůstane otevřeno pásmo 7 MHz i obě pásmá nižší a ve všech se v magneticky klidných dnech mohou objevit dobré DX podmínky ve směrech, které nejsou Sluncem osvětleny. Avšak v osmdesátmetrovém pásmu se bude večer a zejména k ránu vyskytovat zřetelné pásmo ticha, vznikající tehdy, když elektronová koncentrace vrstvy F2 nestáčí k odrážení nejstrémnejších paprsků. Na čtyřiceti metrech je takové pásmo ticha každodenně samozřejmostí, zatímco na stošedesáti metrech je to dochází pouze zřídka.

V letním období je ráz DX podmínek zcela jiný. Denní maxima elektronové koncentrace vrstvy F2 jsou sice dvě, žádné z nich však nedosahují hodnotu ze zimního období. Následkem toho desetimetrové pásmo (a často i pásmo 21 MHz) je bez výrazných DX podmínek. Kromě toho vadi významný útlum, působený daleko rozvinutější nízkou ionosférou. To má za následek silně zhoršení denní situace na stošedesáti a osmdesáti metrech. Tepře k večeru nastává rychlé zlepšení, na dvacet a čtrnácti metrech mohou být dobré podmínky a

mohou se udržet dokonce po velkou části noci, i když co do kvality obvykle nedosahují podmínky ze zimního období.

Zbyvající měsíce předjarní a podzimní, kdy — zejména v březnu a říjnu — jsou maxima elektronové koncentrace vrstvy F2 nad severní polokouli tak vysoká, že pásma 21 MHz a někdy i 28 MHz ožijí DX signály — zejména odpoledne a brzy navečer. V letech slunečního maxima bývaly DX podmínky v desetimetrovém pásmu téměř denně a vydržely vždy do konce i nějakou dobu po západu Slunce. Zhruba lze přirovnat chování desetimetrového pásmá z období slunečního maxima k vlastnostem pásmá 21 MHz v období slunečního minima, avšak útlum v desetimetrovém pásmu je až čtyřikrát menší než v pásmu čtrnáctimetrovém, takže s tímto význameným výkonem docílíme při maximu sluneční aktivity v desetimetrovém pásmu mnohem lepších výsledků.

Ti nejmladší mezi námi si sotva dovedou představit situaci, kdy na 28, 21 i 14 MHz trvalo výborné současné DX podmínky. A přece tomu tak v období slunečního maxima bývalo a ještě si na něco podobného budeme muset několik let počkat. Letos a napřesor budeme mnohem skromnejší a budeme se rádotavat i z malé; nyní v zimě to ještě nebude nejhorší, ale v této se budeme muset obrnit velkou trpělivostí.

Rok 1976 bude asi možno rozdělit na dvě období: poněkud odlišného charakteru; v první polovině roku bude celková situace v ionosféře dosti podobná loňské. Soutě budeme moci počítat s vyhlazeným relativním číslem větším než 20, spíše bude o pozorní menší. Ve druhé polovině roku by se již měly projevit první známky nového slunečního cyklu, avšak ani tehdynec nečekajte v ionosféře zázraky. Už jsme si tu vysvětlili, že základními veličinami, které navzájem souvisejí, jsou nikoli okamžité, nýbrž vyhlazené hodnoty, a tak zlepšování

ionosférické situace nebude ve druhé polovině roku ještě příliš patrné. Avšak prožili jsme — pokud jde o dálkové šíření krátkých vln — několik „hubených“ let a vydržíme ještě jeden rok navíc, a to tím spíše, že už asi opravdu bude (co do té „hubenosti“) poslední.

Zbývá něco dodat k ostatním vlastnostem šíření krátkých vln v roce 1976. Tak např. mimořádná vrstva E se bude vyskytovat ve větší míře stejně jako loni asi od 20. května do poloviny srpna. Stále zřetelněji vystupují v dlouhodobých statistikách maxima kolem 25. května, 10. a 27. června a 11. července. Co mimořádná vrstva E dokáže, jistě již víte: umožňuje short-skipová spojení na 28 MHz a ovšem i rekordy v dálkovém příjmu televize a VKV rozhlasu až do kmitočtu 80 až 100 MHz. V ostatních částeček roku je výskyt této zajímavé vrstvy mnohem menší a jediné při setkání Země s některým větším meteorickým rojem či alespoň s meteorickým prachem může i v zimním období (např. pravidelně začátkem ledna) nastat alespoň krátkodobě nějaké to VKV-DX překvapení.

Hladina atmosféry (QRN) sleduje rovněž výrazný roční průběh, který je totičný s průměrným výskytem bouřek. V létě to bývají bouřky nad Evropou, v zimě spíše bouřky tropické v době, kdy se odtdívají krátké vlny; naleznete-li např. časně ráno v zimním období zvýšenou hladinu bouřkových výbojů na pásmu 3,5 MHz, bude určitě stát za to pátrat po DX signálech z některé tropické oblasti.

Co nám tedy přinese — pokud jde o DX možnosti — rok 1976? Stále ještě ne to, co bychom chtěli, ale slibuju vám, že letos to bude naposled. Jeho „zimní“ polovina bude lepší než letní, nejlepší situace nastane pravděpodobně v říjnu a listopadu.

### ... a jaká bude situace v lednu 1976

Zde již můžeme být konkrétnější. Výrazná

pásma ticha na osmdesát metrech budou nastávat vždy kolem 18.00 hodin a pak ve druhé polovině noci, zejména v době, kdy většina lidí ráno vstává. Proto pozor při závodcích, kdy bude často v blízkém provozu lépe přecházet v uvedené doby na pásmo stošedesátimetrové. Zajímavé je, že po 21. hodině a zejména okolo půlnoci pásmo ticha na osmdesát metrech zcela vymizí.

Leden bývá měsícem, kdy se v některých dnech vyskytne na nižších krátkovlnných pásmech nečekaně značný útlum, takže signály jsou ve dne téměř nečitelné a i po západu Slunce zůstávají slabé. Fyzikálně jde o podobný jev, jaký bývá v létě výskyt mimofádné vrstvy E nad Evropou; tentokrát se však celá situace odehrává nikoli v oblasti vrstvy E, nýbrž vrstvy D, kterou radiové vlny nižších kmitočtových prochází vždy s velkými ztrátami.

Na výšších krátkovlnných kmitočtech se s tímto jevem již tak výrazně nešetříme a v klidných dnech nalezneme DX signály zejména odpoledne a časně večer v pásmech 21 a 14 MHz. Rychlé poklesy elektronové koncentrace však často podmínky ukončí dříve než nám je milé a pak nezbude než přejít na pásmo 7 MHz, které bude mít během noci své obvyklé podmínky šíření na neosvětlené části Země. Pásma desetimetrová bude prakticky i ve dne zcela uzavřeno, a objeví-li se na něm přece jen vzácné zámořské signály, pak to vždy bude neklamnou známkou blížící se geomagnetické povrchy. Její původní fáze se totiž vyznačuje tím, že na několik málo hodin výrazně vzrosté elektronová koncentrace vrstvy F2, takže nejvýší použitelné kmitočty se v některých směrech na nějakou dobu zvýší.

Ještě jednou upozorňuji na dálkové možnosti short-skipovým šířením v prvních dnech ledna a na DX podmínky na nejnižších krátkovlnných pásmech (tj. na 160 a 80 metrech); mají se během ledna postupně zlepšovat, aby zhruba v polovině února dosáhly svého optimu.

## SSTV AMATÉRSKÁ TELEVIZE

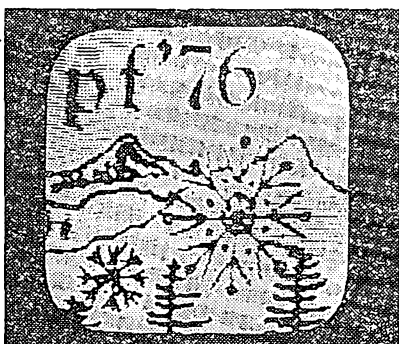
Rubriku vede A. Glanc, OKIGW, Purkyňova 13, 411 17 Libochovice

První polovina října nepřinesla očekávané zlepšení podmínek na výšších krátkovlnných pásmech. Přesto však ubyl evropských stanic a objevily se stanice z USA, Japonska, Brazílie, Jihoafrické republiky, Ománu atd. Tak např. OK3ZAS piše: „... mnohá se dali utrobit velmi lahko, iné som volal i hodinu! Urobil som následovné stn.: W3DJZ, WA2IPX, který má robit ako první svoju OK stn., WB2LTS, W2PQC, 9X5AV-Hadelin, 9K2DO s 1 kW a malo kontrastním obrazem je skoro denne na 14 230 kHz, PY7APS/1 – Gerso, 4Z4NL – Eyal, GB3TCF, ZS6AQQ – Art, VE3PT stále na 14 180 kHz, JA7UIQ, JA0AXT. Videl som A4XFW, ale ani po jednodinovém volání sa mi ho nepodarilo utrobit. G3WW – Richard, mi sdělil, že má urobených 75 zemí, GD3IAD 93 (!) zemí.“

OK3ZAS až dosud pracoval se 46 zeměmi a 147 prefixy.

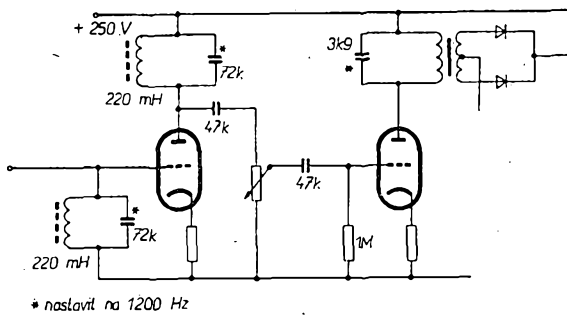
Na konec roku bych rád touto cestou poděkoval všem dopisovatelům a příznivcům rubriky SSTV za celoroční zájem. Do nového roku 1976 přeji všem čtenářům dobrý obraz na monitorech.

OKIGW



V technické části dnešní rubriky popíšeme několik obvodů, o které si často píšete. Na adresu rubriky docházejí velmi zajímavé dopisy z různých částí světa. Z dopisů je patrné, že velmi populární se stala elektronková verze monitoru, publikovaného

Obr. 1.



v roce 1971 (OKIGW). Tak např. posluchač z Jižního Sachalinu v SSSR na tento monitor poslouchá s úspěchem naše stanice SSTV. Je pravidelným čtenářem Amatérského rádia.

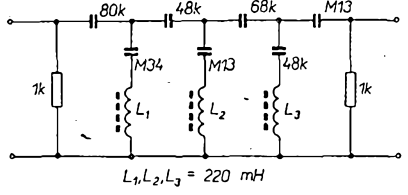
Pro ty, kteří si postavili elektronkovou verzi tohoto monitoru, zaslal OKIACS úpravu obvodu synchronizace použitím dostupných toroidních cívek 220 mH, pro selektivní výběr impulsu knítočtu 1 200 Hz (obr. 1).

Pomocí stejných indukčností navrhl filtr, jehož schéma je na obr. 2. Útlumovou charakteristiku udávají tyto naměřené hodnoty:

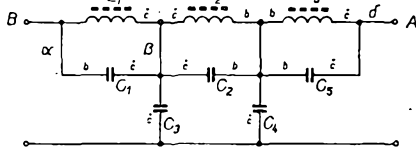
900 Hz	-55 dB
1 000 Hz	-45 dB
1 100 Hz	-35 dB
1 150 Hz	-3 dB
1 200 Hz	0 dB
1 500 Hz	+2 dB
1 600 Hz	0 dB
1 700 až 3 000 Hz	0 dB

Další čtenář naší rubriky, dr. Jožka Holakovský, nám dal k dispozici zapojení nf filtru, který se objevil ve výrobně (obr. 3). Hodnoty kapacit a indukčnosti jsou:

C <sub>1</sub>	57,2 nF
C <sub>2</sub>	8,71 nF
C <sub>3</sub>	142,8 nF
C <sub>4</sub>	131,8 nF
C <sub>5</sub>	93,4 nF
L <sub>1</sub>	25,2 mH
L <sub>2</sub>	62,9 mH
L <sub>3</sub>	20,8 mH

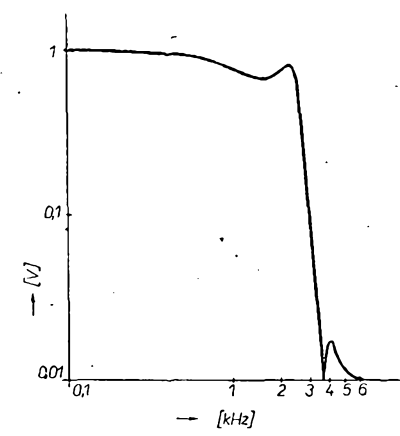


Obr. 2.



Obr. 3.

Obr. 4 ukazuje závislost výstupního napětí na kmitočtu pro filtr z obr. 4. Oba uvedené filtry najdou uplatnění jako mezičlen přijímač-monitoru nebo kamera-vysílač.



Obr. 4.

## INZERCE



**V LEDNU 1976**

se konají tyto soutěže a závody (čas v GMT):

Datum, čas Závod

- 5. 1.  
19.00—20.00 TEST 160
- 10. a 11. 1.  
21.00—21.00 YU DX Contest
- 16. 1.  
19.00—20.00 TEST 160
- 18. 1.  
05.00—07.00 Závod třídy C
- 23. až 25. 1.  
22.00—22.00 CQ WW 160 m Contest
- 21. 1. a 1. 2.  
14.00—22.00 REF Contest, část CW



**přečteme  
si**

Svoboda, J.: STAVEBNICE TRANZISTOROVÝCH ZESILOVÁCŮ A PŘIJÍMACŮ. SNTL: Praha 1975. Druhé, upravené a doplněné vydání. 216 stran, 135 obr., 29 tabulek, 23 příloh. Cena váz. Kčs 17.—.

V knize je popisována stavebnice, určená pro amatérské konstruktéry v oboru nf techniky, popř. radiotechniky, která se skládá z jednotlivých samostatných modulů, obsahujících vždy jeden funkční celek, jejichž spojení lze vytvořit nf zařízení k různým účelům. Při konceptu stavebnice vycházel autor jednak ze zkušenosti s profesionálními zařízeními podobného druhu, jednak z podmínek a potřeb amatérské výroby a použití zařízení. Pro moduly jsou využívány desky s plošnými spoji jednotných rozměrů, všechny potřebné součástky jsou tuzemské výrobky. Kromě nf dílů obsahuje stavebnice moduly pro stavbu přijímačů AM i FM, v nichž se využívají vstupní části komerčních přijímačů.

Závduodně zvolené koncepcie a stručné poučení o jednotlivých součástkách i o technologiích photování plošných spojů je v úvodní kapitole. V hlavní části knihy (kap. 2 až 15) jsou popisovány jednotlivé moduly a některé jejich sestry.

Druhé vydání bylo doplněno popisem dalších modulů s integrovanými obvodami, které jsou uvedeny v kapitole 17. V závěru knihy jsou zapojení několika přístrojů s integrovanými obvodami (tónový generátor, nf milivoltmetr a přijímač pro FM).

Popis jednotlivých modulů je stručný a výstižný, obsahuje technické údaje, popis činnosti, popis konstrukce a postupu při montáži a konečné pokynky pro uvádění modulu do chodu. Příslušné obrazce pro fotování plošných spojů jsou přiloženy knihy.

Publikace je určena vyspělejším amatérům. Její druhé vydání se jistě setká u všech, a zvláště u těch, na které se první vydání nedostalo, s velkým zájmem.

-jb-

**četli  
jsme**

Radio, Fernsehen, Elektronik (NDR), č. 15/1975

Princip a použití techniky získávání signálů akumulaci – Základní zapojení s integrovanými obvody MOS – Voltmetr s velkým vstupním odporem, lineární stupnice a tranzistory MOSFET – Krátké informace o integrovaných obodech D174C, D122C – Pro servis – Informace o elektron-

kách 21 – Použití zdroje konstantního proudu s tranzistory MOSFET – Zkušenosti se stereofonickým magnetofonem TESLA B 100 – Energie ze slunečního záření.

Radio, Fernsehen, Elektronik (NDR), č. 16/1975

Přechod na Mezinárodní soustavu jednotek SI – Telemetrický stavebnicový systém – Demodulátor PLL k měření změny úhlové rychlosti – Zkoušení viceverských závazných jednotek zkoušecem (1) – Krátké informace o integrovaných obodech D146C – Pro servis – Univerzální čítač, stavebnicová jednotka – Zlepšení šířky pásmu pro velké signály integrovaného obvodu A109 – Optoelektronické měření mechanických kmitů – Zkušenosti s kapesním přijímačem Quarz 402 – Kabelová televize.

Radioamater (Jug.), č. 9/1975

Amatérský transceiver „F-2“ pro 144 MHz – Hledač elektrických vedení – Přefidelný nf pásmový filtr – Jednoduché zapojení AOS (automatic over sound) – Chlazení polovodičových součástek (1) – Jednoduchý oscilátor – Mikropresory (2) – Lineární integrované obvody (12) – Zkoušec obvodu TTL s diodami LED – Škola radiového konstruktéra (4) – Stabilizátor síťového napětí BCF 33 – Rubriky – Zprávy z IARU.

Radio, televizija, elektronika (BLR), č. 5/1975

Použití varistoru v reléových zapojeních – Elektronický zvonok – Jednoduchý zkoušec tranzistoru – Zdroj regulovatelného napěti s týristory – Elektronický regulátor teploty – Elektronické sirény – Ochrana napájecích transformátorů – Nový typ nf zesilovací – Basoreflexové skříně – Vicefázové multivibrátory – Zapojení čítače s číslicovou indikací – Číslicový displej s tekutými krystaly – Dvě zapojení s dvoubázovými diodami – TVP Elektronika VL-100 (2) – Tranzistorový přijímač Selga – Operační zesilováče (2) – Zapojení pro kontrolu napěti – Stereofonní přijímač Rapsodia – Novinky ze zahraničí – Praktické pomůcky – Současná diagnostika TVP – Měrová soustava SI – Reproduktory.

Funktechnik (NSR), č. 13/1975

Základní koncepce zapojení lineárních monolitických IO – Nové součástky – Nf výkonové zesilovací v technice IO – Vlastnosti a použití dielektrika Mylar – Evropské výzkumné středisko ITT pro sdělovací techniku – Profesionální technika – Zapojení pro praxi – Laboratorní a servisní zkoušec číslicových IO – Kmitočtové pásmo pro občanské rádiostanice – Přijímač se synchronní demodulací – Novinky pro techniku – Dva nové typy reproduktoru – Test: kombinace přijímače s magnetofonem (17 typů) a přenosných přijímačů pro černobilou TV (22 typů) – Nové výrobky na trhu.

Funktechnik (NSR), č. 14/1975

Směrové spoje v družicovém spojovacím systému – Zajímavosti o rozhlasové technice – Nové součástky – Videozáklad TED – Elektronický přepínač k osciloskopu se zv. zesilovací – Zkušební TVP pro měření antén – Programové řízení osvětlení – Zapojení s lineárními integrovanými obvody – Dálkové ovládání přijímače barevné TV ultrazvukem – Indikace přesného času na televizní obrazovce – Nové přístroje – Hospodářské zprávy.

První tučný řádek 20,40 Kčs, další 10,20 Kčs. Príslušnou částku poukážte na účet č. 300/036 SBCS Praha, správa 611 pro Vydavatelství MAGNET, inzerce AR, 113 66 Praha 1, Vladislavova 26. Uzávěrka 10 týdnů před uveřejněním, tj. 20. v měsíci. Neopomněte uvést prodejní cenu, jinak inzerát neuvěřitelný.

Upozorňujeme všechny zájemce o inzeraci, aby nezapomněli v objednávkách inzerce uvést poštovní směrovací číslo.

### PRODEJ

Barevnou hudbu, světelní panel 47 x 33 cm, 16 žárovek za 1 (500) 2 ks repro ARV261, nové (à 40). J. Kminek, Plačice 90, 500 02 Hradec Králové 2.

Mf zesilovač AFS podle AR 5/75 (400), kanál volič KP25 (200), ant. předzesil. VKV CCIR neb OIRT 1 tr. (à 130), 2 tr. 20 dB (200), VKV konv. 1 tr. (à 130) 3 tr. (à 230), vstupní jed. VKV OIRT nebo CCIR 3 tr. bez lad. „C“ (300), nf stereo zesil. podle AR 5/73 (450), nf zesil. 3 W (150) + korekce (250), pist. páječka 50 VA starší (40), 2 repro box. 20 l, 2 pás. 4 Ω i jednotlivé (520, à 260). Koupim ker. filtry 10, 7, výtr. BXF59A, BFW16, BFY90 a AF279S. P. Kraus, Kašparova 10/2926, 733 01 Karviná 8.

MGF B70 nový (2 200), komplet, zes. z mgf B70 (600), mgf B100 (2 700). M. Rajchl, Gottwaldova 330, 411 56 Bohušovice nad Ohří.

Gramo Thorens TD 165 (6 000). Rok výroby 1974. Originál balenie. Popis zašlem. G. Kovér, Sverdlovova 40, 040 01 Košice.

Hifi gramo Sony PS 1800 A (7 000) pohon opásanou gumíkem, elektr. riadenie otáčok. L. Gianini, Stará prešovská cesta 8, 040 01 Košice.

Amatér. osciloskop AR 7/69 (1 600) osaz. deska plos. spoj nf, gen. otoč. kon. a trafo AR 6/71 (450). RE125C (300) 6150 (19). Koupim obrazovku SSSR 6J01N, RX Lambda 5 nebo podob., pružinu hal, Kottek 1. a 2. díl. V. Bělohlávek, Zelený pruh 99, blok B 233/2, 146 26 Praha 4.

Chladidlo pro budítko typu KF povrch upr. (8) mgf. Sonet Duo bez zes. (400), měnič 1,5/220 V 65 mW (20), 10TA9 (8), ANP908 (50). Též dobríkou. P. Homolka, Klášter 1, 582 83 Vilemov.

Hi-Fi přijímač Blaupunkt, předvolba, UKV, AFC, 2 x 15 W, všechny rozsahy (8 900), magnetofoon Sony kazet. stereo Hifi (6 000), autorádio Blaupunkt Frankfurt stereo 2 x 10 W + stereomagn. (6 700) televizor Junost 2 p. (2 100). L. Kopečný, Barum, 796 01 Prostějov.

Dual MOS FET 40673 (à 130), 2N3866 (à 100), rám plechový, lakovaný s bočnicemi, rozměr 600 x 485 x 220 mm (à 50). S. Chmelík, 338 08 Zbiroh 395.

Oscil. BM370 (2 300). A. Sehnal, L. Pokorného 29, 674 01 Třebíč.

Hliník. Ingoty 12 a 15 kg (360 a 450) vhod. na chladiče výk. tranz. Rozměry asi 60 x 11 x 7 cm.

P. Hochmut, Meziříčí 22, 147 00 Praha 4 – Braník.

Tranzistory RCA 2N6472/6247 (Si) 4 kompl. páry 125 W/90 V (290 pár), 12 ks Si zahr. tranzist. na osazení výkon. zesil. 2 x 50 W (600) + schéma, SONY TC377 (10 500) Hi-Fi stereomagn. ferrit. hlavy. P. Rum, Argentinská 8, 170 00 Praha 7.

SN7472, 74, 75, 93, 165, 175, 49704 (po 50 až 100), LM741 (60), optoisolátor 4N25 (50). Objedn. jen písemně na: J. Doležal, Chlumova 5, 130 00 Praha 3.

TIP3055/5530 NPN/PNP, 90 W, UCBO = 100 V, změněné, dvojice (280). Ing. J. Jenček, Frýčová 13, 120 00 Praha 2.

Stereos. TW30G (1 000) a dvě polystyrénové repro soustavy RS 20 P (900). P. Kubík, Střelnici 1185, 180 00 Praha 8 – Kobylisy.

RC soupravu amat. (1 400) – 4kanál. vysílač. přijímač (tranz. sp.) + 2 serva. J. Müller, Pod Petříninou 60/24, 160 00 Praha 6 – Veleslavín.

2N3055 (85), BFR90, 91 (100, 120), BFR38 (50), FET BF244B (50), BC307 p-n-p (28), SN7420 (25), 7460 (19), LED Ø 5 č. z. z. (40–50), tantal kapka 10 M/35 V (25). J. Hájek, Černá 7, 110 00 Praha 1.

DHR 8 2 k 100 μA (a 100) a obrazovky 12QR51 (100), B1051 (130), DG13/34 (200) a 18QQ86 (220). K. Basl, sídl. Dáblice, Kurkova 1209, 182 00 Praha 8.

Diody LED, žlut., zel., červ., 2 V max. 3 mA. T. Tůmová, 9 Cibulkách 9, 150 00 Praha 5 – Košíře, tel. 52 39 79 večer.

Stereodekodér MC1310P (360), keram. filtr 10,7 SFE (60) 3 ks, LED dioda červ. (25) 4 ks, ant. zesil. (az 500 MHz 20 dB, 2 x AF239 (250), 2N3055 (85) 2 ks. J. Sklenička, Husitská 70, 130 00 Praha 3.

Hviezdicové chladidlo k tranzist. s púzdom K505 (15). Ing. Suchoň, Podjavorinskej 15, 917 00 Trnava.

2 páry tranzistorů 2N3055 (600). M. Helan, Mojmírová 26, 709 00 Ostrava – Mar. Hory, tel. 578 08.

Minicalculátor – USA, 8 mist. (1 350). P. Filip, Okrouhlická 8/191, 180 00 Praha 8.

KF504, 7, 8 (18, 10, 15), KF521, 552 (30, 45), KFY34, 46 (18, 22), KD602 pář (100), PCC85, EM80 (5), RE65A (60), RE400F + sokl (125), rád. 12 pól. konektory pro plos. spoje, zlacené pář. (15). M. Vondra, S. K. Neumannova 766, 180 00 Praha 8.

**Konv. IV-V. TV pás.** Tesla 4950A – jen lad. jedn. (250), lad. kond. z RM31 (50), tiš. spojov na TW 3 (60), na konv. pro FM podle HaZ 3, 4/70 (20), sov. digitrony IN-1 (120), IN-2 (100), sov. Si výk. vf tranz. KT802A (100), KT803A (120), KT805B (100), P702 (50), elky GU29 (50), GU32 (40), GU50 + sokl (50), clyty 800 M/300 V (40), 1300 M/300 V (60), star. čísla AR roč. 52–62 (3). Potřebují AR 8/53 a obsah roč. 53, příp. odpov. čísla. AR. J. Černý, ps. 13, 160 00 Praha 6.

**Nové I. jakost:** MAA0403 (70), MAA661 (88), TBA120, 120S(130, 120), MC1310P výběr na separ. (450), 4x BB105G, 105A (130, 150), filtry Murata SFC10, 7MA st. (75) – mono (65) – výběr (85) – II. jak. (58), KC507 (11), KFY34, 46, 16, 18 (18, 23, 28, 38) GF507, 5 (27, 20), BFX89 (120) výběr (140), KF521 (35) – pář (100), KCZ59 (80), KY705, 725 (8, 9), RV12P2000 (10) – použití (7). Párované: KU605 (125), 5NU74 (110), 101NU71/OC72 (18), 103NU71/GC509 (22). J. Pecka, Kafkova 19/s 98, 160 00 Praha 6, dotazy na 24 29 562.

#### KOUPĚ

**Radiokompas** asi od 200 kHz, kom. přijimač nejraději od 150 kHz, může být i R5-A nebo lehčí. P. Vávra, 267 62 Komárov 378, okr. Beroun.

**TCVR AM/CW/SSB 3,5 až 28 MHz.** Odpovedám na seriozne ponuky, osobný odber nutný. Ing. Z. Medňanský, sídl. Medvedzie 118/5/45, 027 44 Tvrdošín, okr. Dolný Kubin.

**PU 120 (110, 160 či podobné)** i vrak nebo vyměním za souč. seznam zašlu. M. Vlk, 735 03 Karviná 3 303.

**Selsyn - vysílač typ V 50–55 V/50 Hz.** P. Mojžíšek, gen. Hruška 2/1197, 709 00 Ostrava – Mar. Hory. Izomet v dobrém stavu, grid-dip metr i amat. konstrukce, AR 1965–70 i vázání, jen úplné ročníky. V. Fišer, Švermová ul. 386, 588 56 Telč IV, okr. Jihlava.

**Přijimač E10aK n. EK10.** Oznamte cenu a techn. stav. V. Jiřinec, 364 52 Žlutice 400.

**DU10** – cena nerozhoduje. A. Lochner. Mezibofi č. 283, 435 13, okr. Most.

**Stereofonní přijimač Capriola – G 6013/2.** M. Jurášek, Janáčkova 15, 680 01 Boskovice.

**DU10 nebo AVOMET II** – jen poškozený. J. Dříza, U plynárny 24, 145 00 Praha 4.

**MH7475, 90, 93, 141,** digitrony, displeje, X-tal 5 až 50 kHz, poškoz. kalkulačku. Prodám osciloskop Křížik v bezv. stavu, vylepšený vest. TG 8 Hz až 150 kHz (2 500). Pouze písemně. J. Horáček, Poděbradova 283, 284 01 Kutná Hora.

#### VÝMĚNA

**Pent six TL + přísluš.** Sonnar 2,8/180 ant. cl. za soupravu Varioprop. K. Čapík, Čapkova 772, 357 35 Chodov, okr. Sokolov tel. 906119. 2 diody 200 A/100 V za 2 x MC1310 P – se soklem nebo tranz. nf. osciloskop + dopl., též prod. a koup. Koupím mgf ZK 246 nebo pod. bezvadný. J. Zima, Mělník III 732, psč. 276 01.

#### RŮZNÉ

**Kdo mi pomůže při stavbě zesilovače a natočit různé transfi.** třum. ajo. Zvuk. M. Šimánek, Na Krocincích 68/19, 190 00 Praha 9.

**Pozor!** Výhodná nabídka! Kdo opraví různé elektronkové, případně tranzistorové zařízení (komerční i studiové zařízení, MGF, zesilovače a rádia). Platí hotově, nejruději profesionál. P. Šrámk, Na Strážničci 186, 549 02 Nové Město nad Metují II, okr. Náchod.



**KOVOSLUŽBA** otevřela specializovaný servis pro

**STEREO - MAGNETOFONY**  
**B 43, B 46, B 56, B 100 apod.**

**GRAMOFONY i mono**  
(přemístěn ze Žižkova,  
Kalininova 16)

**PRAHA — NUSLE,**  
V Podluží 5, tel. 43 35 89  
(500 m z náměstí  
Bratří Synků, druhá ulice vpravo,  
směrem do Michle)

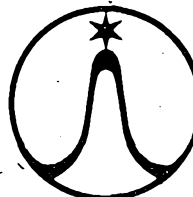
**KOVOSLUŽBA**

#### Radiomechanika a mechanika přenosových zařízení

pro údržbu vysílačů radiostanic  
a přenosových zařízení energetiky  
ve Středočeském kraji přijmu v  
organizovaném náboru

**STŘEDOČESKÉ  
ENERGETICKÉ ZÁVODY,**  
n. p., **PRAHA 2,**  
Káteřinská 9.

Zájemci z Prahy, hlaste se  
na telefonním čísle 29 27 64.



*služby*  
**TESLA**

**nabízejí**

## **SOUČÁSTKY**

### **a měřicí přístroje**

**PRO PODNIKY A ORGANIZACE** prodej za velkoobchodní ceny – na faktury. Pište nebo navštivte tato oddělení:

- Praha 1, Karlova ul. 27 (roh Malého nám.), tel. 26 21 14.  
Radiomateriál: potenciometry, kondenzátory, odpory.  
Měřicí přístroje pro elektroniku — tel. 26 29 41.
- Praha 2, Karlovo nám. 6 (Václavská pasáž), tel. 29 28 51-8, linka 329. Vakuová technika a polovodiče: obrazovky, elektronky, diody, tyristory, diaky, triaky, tranzistory a integrované obvody.

**PRO JEDNOTLIVCE – RADIOAMATÉRY A KUTILY**, ale i pro podniky a organizace prodej též za maloobchodní ceny, za hotové, šeky a faktury. Široký sortiment součástek a náhradních dílů obdržíte ve specializovaných prodejnách TESLA:

- Praha 1, Martinská 3 ● Praha 1, Dlouhá 36 ● Pardubice, Palackého 580 (i na dobírku) ● Hradec Králové, Dukelská 7 ● Č. Budějovice, Jírovcova 5 ● Plzeň, Rooseweltova 20 ● Cheb, tř. ČSSP 26.